

ZÁPADNÍ STRANA OPEVNĚNÍ KRÁLOVSKÉHO MĚSTA ZE 13. STOLETÍ NA DNEŠNÍ MALÉ STRANĚ NA ZÁKLADĚ POZNATKŮ ARCHEOLOGICKÉHO VÝZKUMU

JARMILA ČIHÁKOVÁ — MARTIN MÜLLER

Po dokončení fortifikace Starého města pražského na pravém břehu Vltavy (30.–50. léta 13. století) vytvořil Přemysl Otakar II. roku 1257 podmínky pro založení středověkého právního města na území pod Pražským hradem. Opevňovací stavební činnost mohla na výstavbu staroměstského opevnění plynule navázat. Plocha raně gotického města je historickým jádrem dnešní městské čtvrti Malá Strana. Při pozdějším rozšiřování města ztratilo opevnění význam a zanikalo. Jeho nepatrné pozůstatky jsou velmi vzácně nalézány stavebněhistorickým a archeologickým průzkumem při přestavbách domů na území pražské památkové rezervace. Při takové příležitosti byly v letech 2011–2018 poprvé získány ucelené poznatky o profilu a vzhledu fortifikačního pásu v podobě z roku 1278. Podařilo se to záchranným archeologickým výzkumem na pozemcích domu čp. 192/III v Thunovské ulici na západní straně tehdejšího města. Předkládaný text je doprovázen poprvé zveřejněnými výstupy z autorské terénní dokumentace. Důraz je kladen nejen na deskripci ojediněle zachovaných jednotlivých složek fortifikace – hradba, věž, parkán, parkánová zeď, příkop, most přes příkop –, ale také na poznávání technologických postupů při jejich stavbě. Zejména se autoři snažili zdokumentovat demolované partie vyzděného příkopu, neboť povolení k likvidaci fortifikace ze 13. století je ve střední Evropě v 21. století jev zcela ojedinělý.

THE WESTERN SIDE OF THE 13TH CENTURY FORTIFICATIONS OF PRAGUE ROYAL CITY IN TODAY'S MALÁ STRANA IN THE PERSPECTIVE OF ARCHAEOLOGICAL RESEARCH

After the fortification of Prague Old Town on the right Vltava bank was completed in 1230s–1250s, Ottokar II of Bohemia issued in 1257 the establishment of a medieval legal city in the area below Prague Castle. Fortifying building activities could evenly follow the Old Town fortification construction. The area of the early Gothic town corresponds with the historical centre of today's Malá Strana district. With the later expansion of the city, the fortifications lost their significance and disappeared. Its fractional remains are very rarely revealed by building history surveys and archaeological excavations during the reconstruction of houses in the Prague Heritage Reserve area. Comprehensive knowledge of the profile and appearance of the 1278 fortification segment was obtained for the first time during the rescue archaeological excavation on the house plot no. 192/III in Thunovská Street on the west side of the medieval town in 2011–2018. Presented text offers the primary publication of the interpretations based on the author's original documentation. Emphasis is placed not only on the description of uniquely preserved individual components of the fortification – rampart, tower, *Zwinger*, *Zwinger wall*, moat, bridge over the moat – but also on the technological procedures in their construction. In great detail, the authors documented especially parts of the stone lined ditch, destined to demolition. Permission to liquidate this 13th century fortification appears bizarre in 21st century Central Europe.

Klíčová slova — Praha – Malá Strana – 13. století – fortifikace – vyzděný příkop – věž – brána – hradba – parkán – komunikace – *cubitus* – stavební technologie

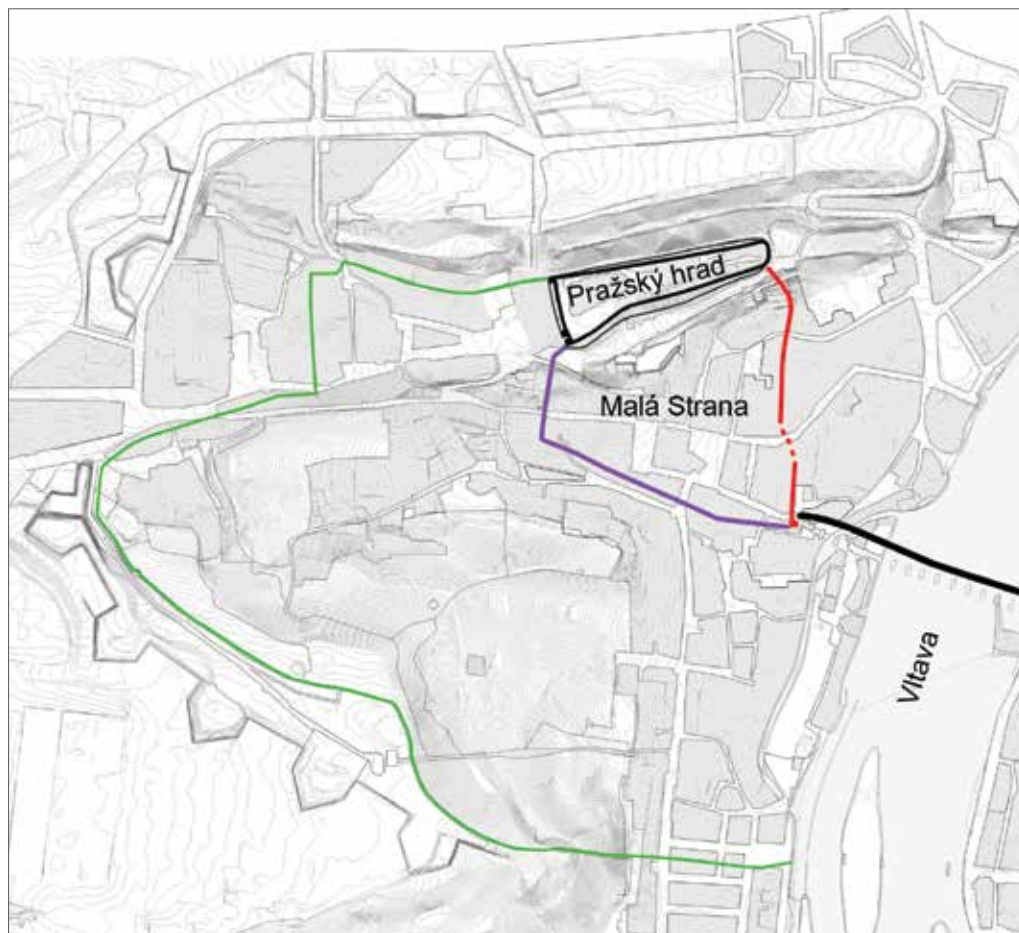
Key words — Prague – Malá Strana – 13th century – fortification – stone lined ditch – tower – gate – rampart – *Zwinger* – road – *cubitus* – construction technology

Po vzniku všeobecně náročné sakrální i profánní kamenné výstavby na pravém břehu Vltavy ve 12. a na počátku 13. století přikročil král Václav I. k jejímu opevňování. Probíhalo nejspíše od 30. let, oproti říšským městům poměrně pozdě. Bylo tak vymezeno pražské město, které dnes známe jako Staré. V 50. letech byla výstavba jeho opevnění dokončována hradbou podél řeky, a rozsáhlý strategický vícegenerační podnik si tak mohl vytknout další cíl. Stalo se jím pražské levobřeží. Již v roce 1253 si zde akutní hrozba vpádu „Kumánů a jiných cizích nepřátel“ vynutila obranu předmostí, vyřešenou opevněním biskupského dvora a johanitské komendy (FRB II – LET. ČES., 290–291). Ohrazení levobřežní aglomerace bylo však již dílem Václavova syna. Král Přemysl Otakar II. k tomuto úkolu přistoupil komplexně a rozhodl se nejen opevnit osídlení pod svým sídelním hradem, ale zdejší území s velmi dlouhou sídelní tradicí zcela změnit a proměnit je v bohaté soudobé moderní město. V roce 1257 proto podle slov jednoho z českých letopisců „zapudil Čechy z podhradí a vsadil cizozemce“ (FRB II – LET. ČES., 294). Tímto aktem pod svým sídelním hradem uvolnil prostor pro vysazení nového královského města, spravovaného magdeburským právem. Název města se v průběhu věků měnil, jeho zakladatel ho však obdařil jménem *Nové město pod hradem Pražským* (Nova civitas sub castro Pragensi).¹

Podle zmínky letopiscovy by se mohlo zdát, že nový subjekt vznikl zcela nezávisle na předchozím dlouhotrvajícím osídlení, které bylo nejpozději od počátku 9. století (či okolo roku 800)

1 Od doby Karla IV. se po založení Nového města pražského prosadil název *Menší město Pražské*, souběžně pak od začátku 15. století bylo užíváno označení Malá Strana (Praha).

minimálně do konce 10. století sevěro dřevohliněnými hradbami (ČIHÁKOVÁ 2001; 2009; BOHÁČOVÁ/HAVRDA 2017; ČIHÁKOVÁ/MÜLLER 2020, 293–299). Oproti očekávání archeologické výzkumy přinesly doklady proslavení některých raně středověkých urbanistických struktur do půdorysu raně gotického města vrcholného středověku, jehož základní dispozice přetrvala dodnes. Nyní víme, že takovými strukturami byla minimálně místa vstupu do města v dnešních čp. 259 a 158/III, průběh některých komunikací a ústřední místo křesťanského kultu. Zaujmout jednoznačné stanovisko k rozsahu raně středověké tradice k vymezení trasy raně gotického opevnění královského města dosud nemůžeme. Překáží nám v tom neznalost fortifikačního systému pražského levobřeží v 11. a 12. století, i když jeho existenci lze důvodně předpokládat. Snad jsme takovouto předlo-



Obr. 1. Gotická opevnění malo-stranského královského města. **Fialové** raně gotické z doby Přemysla Otakara II.; **červeně** východní rameno, které může být románské; **zeleně** rozšíření opevněné plochy z doby Karla IV. jako důsledek pokroku ve vojenské technice. Přes Vltavu vede románský Juditin most.

kační stavbu v podobě dřevohliněného tělesa (předběžně) z konce 11. či 1. poloviny 12. století zkoumali před třemi lety v areálu Thunovská čp. 192/III v prostoru hradby a parkánu západního ramene Přemyslovy fortifikace (ČIHÁKOVÁ/MÜLLER 2019)² a s jistou mírou pravděpodobnosti také v linii východního ramene opevnění v podobě románské kamenné hradby, o níž bude řeč příště. Jako v ostatních královských městech, byla i pro ochranu Nového města pod hradem Pražským po jeho založení vybudována fortifikace. Písemné zprávy o její stavbě mlčí. Z mladších archivních a ikonografických pramenů byl přibližný průběh opevnění znám, jeho hmotné pozůstatky však po dlouhou dobu scházely a historikům nezbývalo než retrospektivní metodou rekonstruovat trasu hradby podle průběhu parcelních linií, leckdy také podle věžových staveb pokládaných za věže opevnění (např. JANSKÁ 1973, 46; HLAVSA/VANČURA 1983, 28, zejména pozn. 2; aj.). Teprve stavebněhistorický průzkum (syntézu viz SOVINOVÁ 1985),³ a zejména archeologický výzkum realizovaný na Malé Straně v posledních 40 letech poskytly několik intaktních pozůstatků fortifikačního systému používaného ve 2. polovině 13. století. Po jejich prvním krátkém shrnutí (ČIHÁKOVÁ 1999, 113–114) se pasáž ve studii o fortifikačních systémech na jižní hranici historického jádra

² Situace z konce raného středověku není zatím zpracována. Předběžná charakteristika nálezové situace viz ČIHÁKOVÁ/MÜLLER 2019.

³ Pro diplomovou práci Yveta Sovinová vedle literatury bohatě využila a zhodnotila poznatky získané pasportizací SÚRPMO.

Malé Strany soustředila na technologický rozdíl mezi úseky hradby románského⁴ a gotického rázu (ČIHÁKOVÁ 2001, 47–52). Při příležitosti publikace fragmentu jednoznačně raně gotické hradební zdi nově objevené v čp. 249/III byl stav poznání rekapitulován, poprvé s celkovou mapkou předpokládané trasy hradby i s místy, kde se podle historiků a historiček architektury měly zachovat její fragmenty (PODLISKA/HAVRDA/KOVÁŘ 2003, 45–52). Další stručný přehled poznání raně gotické fortifikace následoval v roce 2009 (ČIHÁKOVÁ 2009, 15–24), poprvé s názorným obrazovým doprovodem. Krátké kapitoly se dostalo malostranskému raně gotickému opevnění v přehledné práci o pražské architektuře do roku 1310 (DRAGOUN 2002, 60–61, 156). Výrazné rozšíření archeologické pramenné základny bylo využito pro další syntézu, sepsanou pro potřeby konference *Město a jeho hradby* v roce 2017, doprovázenou však jen minimální obrazovou přílohou (ČIHÁKOVÁ 2019). Tématu malostranského gotického opevnění se s erudiicí zhostil Vladislav Razím ve svém díle *Středověká opevnění českých měst* (RAZÍM 2020, 705–712, 732–754), ne vždy však s autory příspěvku nachází shodu.

Výsledky výzkumných sezon 2017 a 2018 z několikaletého záchranného archeologického výzkumu na pozemcích náležejících k čp. 192/III v Thunovské ulici, spolu s nutností rozšířit konferenční příspěvek z roku 2017 o nezbytnou plánovou dokumentaci jako stěžejní součást záznamu archeologického pramene, dodaly podklady pro nový, právě předkládaný příspěvek. Vychází zejména z archeologických pramenů získaných standardními odbornými postupy používanými pracovníky odboru archeologie NPÚ v Praze, s reflektováním starších stavebněhistorických průzkumů a ojedinělých archivních zpráv.



Raně gotické Nové město pod hradem Pražským mělo tvar nepravidelného lichoběžníka o ploše přibližně 20 hektarů. Město vymezovaly kamenné hradby, které na východě měly délku 494 m, na jihu 534 m a na západě 152 m, na severu se pak krajní křídla napojovala na opevnění Hradu (obr. 1). Délky ramen fortifikace jsou měřeny na mapě, ve skutečnosti, na prudce se svažujícím terénu, však bylo opevnění delší (přepona trojúhelníka). Fortifikační pás se skládal z městské zdi/hradby, příkopu a bermy či parkánu, nejpozději od roku 1278 s parkánovou zdí.

Západní rameno fortifikace z 13. století

V současné době je kompletní skladba fortifikace známa na západním rameni opevnění právě díky výzkumu v Thunovské ul. čp. 192/III, v areálu, který mezi lety 1672–1783 náležel theatinské koleji. Areál se rozkládá na sedmi parcelách mezi Zámeckými schody a Nerudovou ulicí (obr. 2). Je výrazně svažité – výškový rozdíl současného terénu v celé délce areálu mezi schody a ulicí činí 35,4 m, svah je reálně dlouhý 104 m s průměrným sklonem 19,8°. ⁵ Stručné dějiny objektu již byly publikovány (ČIHÁKOVÁ/MÜLLER 2013, 120–122). Archeologickému výzkumu byly dosud podrobeny stavební zásahy v severní části areálu související s přestavbou domu a výstavbou bazénu na zahradě ppč. 512. ⁶ Z pásu opevnění byl nejdříve, v roce 2011, objeven na severní zahrádce (ppč. 503) příkop, v roce 2014 uvnitř domu hradba a až roku 2017 byl učiněn na zahradě ppč. 512 nález parkánové zdi. Z hlediska vzniku byla v souvislosti se založením města cca roku 1257 vystavěna hradba. Dochovaná podoba příkopu s parkánem je výsledkem až přestavby z roku 1278.

Hradební zeď byla hledána dlouhou dobu, nepodařilo se ji najít stavebněhistorickým průzkumem v roce 2001 ani v roce 2011. Teprve v únoru roku 2014 byla archeologicky objevena při vybírání prostoru pod podlahami nepodsklepených místností 1. patra sondou označenou jako sonda XVIII (obr. 3), ⁷ která odkryla západní – vnější – líc hradby a severní napojení přilehlé věže (obr. 4). Dodatečně se ukázalo, že báze hradby byla zastižena již v roce 2011 sondou XII (vr. 177) v podobě nepravidelné plochy posázené jednotlivými opukovými kameny s velice pevnou

4 Poprvé byly nálezy hradební zdi s kvádřikovým lícem zveřejněny v roce 1954 (KUBIČEK 1954). Do roku 1996 byly z východního ramene fortifikace známy další úseky v čp. 17/III ve Vojanových sadech ppč. 148, v čp. 58+59/III, 60/III, brána v čp. 158/III; na jižním rameni v čp. 292/III.

5 U schodů byl jako výchozí brán nejvyšší odkrytý bod můstku (viz níže) na kótě 253,53/Bpv, kóta v Nerudově ulici 218,1/Bpv; na mapě vzdálenost Zámecké schody–Nerudova ulice činí 98 metrů.

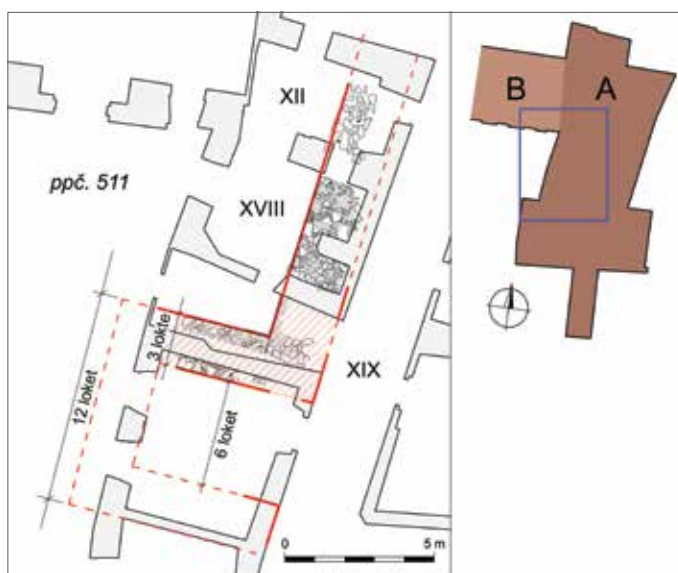
6 Archeologický záchranný výzkum (ZAV) v průběhu stavby provádělo NPÚ v Praze pod vedením autorů příspěvku v letech 2001 a takřka souvisle 2011–2018. Stavba a výzkum dosud nebyly ukončeny. Stavebněhistorická operativní dokumentace (OPD) v průběhu stavby neprobíhala, nikdo jejím výkonem nebyl pověřen a nebyla mezi podmínkami v závazném stanovisku vydaném OPP Magistrátu HMP. V průběhu realizace ZAV prošel několikrát staveništěm a pořídil výběr fotografických záběrů Ing. arch. Matouš Semerád (NPÚ v Praze, odbor archeologie). Koordinovaná spolupráce stavby s archeologickým výzkumem by jistě přinesla historických informací podstatně více. Při stavu, jaký byl, jsou některá zjištění neúplná a u výkopových akcí, o kterých se výzkum dozvěděl až ex post či vůbec ne, v terénech obsažené informace zanikly zcela.

7 Pod průchodem na zahradu a pod sousední severní místností.



malto, naléhajícími na jílovitohlinité starší souvrství.⁸ Když se později, v říjnu 2014, vyměřovaly klenební zásypy pod chodbou v 1. patře (sonda XIX), pečlivá prohlídka stěn přinesla i identifikaci východního líce hradby obráceného do města (obr. 6). Oba líce zdiva hradby jsou z lomové opuky pojené maltou. Západní líc se dochoval v podstatně lepším stavu než ohořelý a oprýskaný líc východní.

Hradební zeď byla odkryta sondami XII, XVIII a XIX v celkové délce 15,5 m, z toho nejlépe je dochován 6 metrů dlouhý úsek západního líce hradby (vr. 1289) v sondě XVIII (obr. 4, 5). Mocnost hradební zdi (obr. 7) se pohybuje mezi 1,92–1,96 m (3,3 lokte). Její východní líc (vr. 1630) se podařilo zastihnout jen v 1 m širokém úseku (obr. 6), severní zbytek východního líce hradby mezi přízemím a prvním patrem je částečně obestavěn, částečně zničen. Předzáklad nebyl na západním lici registrován, třebaže spodní část zdi byla maximálně do výšky 0,4 m zapuštěna do starších mladohradištních terénů. Západní rameno městského opevnění je vystavěno v příkrém svahu, což se odrazilo v technice zakládání hradební zdi. Severojižní svažité povrch byl pro tyto účely schodovitě upraven, ať byla základová spára vsazena do historických terénů jako v sondě XII, nebo vytesána do skály jako v sondách XVIII a XIX (obr. 4). Základová spára hradby výrazně klesala nejen k jihu, ale i k východu. Východním směrem v šířce zdi 1,9 m klesla o 0,80 m, nejspíše také po stupních (obr. 8).⁹ Souvislý intaktní profil základové spáry jsme nezískali. Východní konec základové spáry byl objeven v sondě

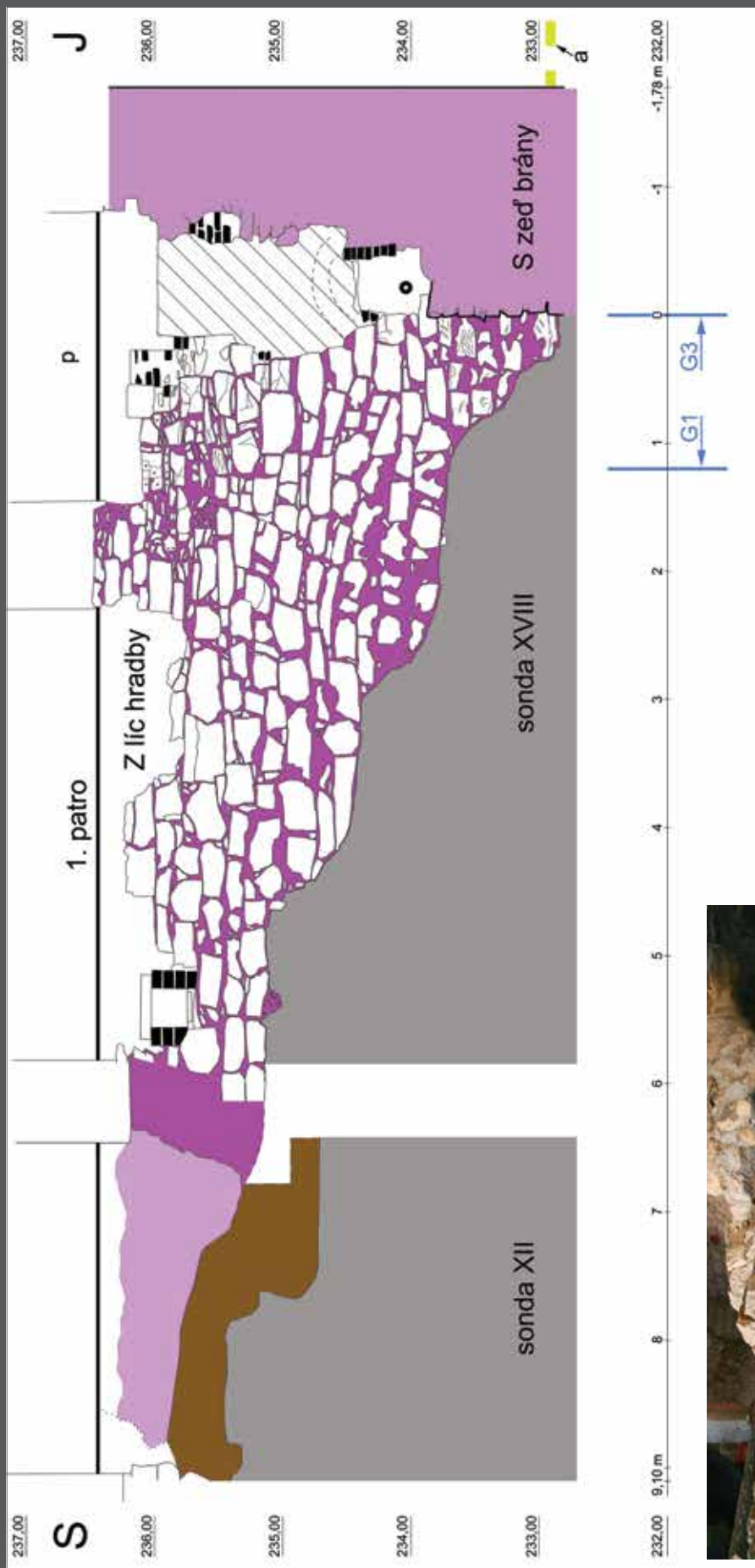


Obr. 2. Praha 1–Malá Strana, areál Thunovská čp. 192/III – jeho situování a členění. **A+B+C** – zastavěná plocha domu, z toho **B** je severní křídlo s refektářem v 1. patře, **C** je východní sanitární křídlo s barokní jímkou (ČIHÁKOVÁ/MÜLLER 2013); **D** – (vstupní) dvůr; **E** – severní „zahrádka“ se sondou VII, ppč. 503; **F** – severní, zvýšená část zahrady, ppč. 511; **G** – jižní, nižší rovná část zahrady ppč. 512. **Bílý pás** v zelené ploše G zobrazuje bývalý skleník, **bíle** též jižní partie zahrady na strmém svahu ppč. 501 a 513 (do podkladů z veřejných zdrojů zobrazil M. Ďurica).

Obr. 3. Thunovská čp. 192/III. Lokalizace a půdorys nově objeveného fragmentu hradby a branské věže v půdorysu 1. patra, se zaměřením půdorysů koruny zdiva. Čísla sond (římsky) jsou společná pro 1. patro i přízemí. Rozměry branské věže v českých loktech a návrh její rekonstrukce (půdorys domu INRECO Společnost pro rekonstrukci památek, 2001, zaměření hradby autoři, digitalizace M. Ďurica).

⁸ V počátcích výzkumu zde hradba nebyla očekávána. Sonda byla rozebírána nejdříve na východě, dokumentováno bylo jádro zbytku (jednoho řádku) zdiva nasedajícího na historické terény. Po statickém zajištění východní betonovou stěnou stavba opět vyklízela zbývající prostor sondy a přitom odstranila i kameny vrstvy 177 (hradby). Vybraný negativ „jámy“ s kameny byl zaměřen a v interpretačních plánech je použit jako základová spára hradby založená do historických terénů.

⁹ Kóta základové spáry u západního líce v koutě s věží 232,85, u protilehlého východního líce na řezu 138 pak 232,10/Bpv.



Obr. 4. Thunovská čp. 192/III. Hradební městská zeď v maximálním souvislém rozsahu. Pohled na západní – vnější – líce hradby (vr. 1289) se stupňovitou základovou spárou na prudkém svahu, dochované v sondách XII a XVIII (složeno z řezů 31+35 v sondě XII a 120+158 v sondě XVIII). Ve spodní části pod úrovní 234,2/Bpv ve velkém rozsahu zůstala na líci rozetřená malta (omítka?). V sondě XII (dnes výtahová šachta) byly kameny rozebrány od východu (červenec 2011 řez 31, listopad 2011 řez 35).

Legenda: **šedě** – ve všech plánech znázorňuje skálu jako intaktní geologický podklad; **vpravo plně fialové** – průřez severním zdířem přilehlé věže; **vlevo plně fialové** – dochovaná hmota hradby, líce nedostupný; **vlevo slabě fialové** – negativ hradby nad základovou spárou v linii západního líce hradby v sondě XII; **hnědé** – souvrstí mladohradistních situací; **a (žlutě)** – rekonstruovaná výška valounkové dlažby v průřezu branské věže (viz níže); **p** – průchod na zahradu. Situování viz obr. 3, 17 (zaměření a kresba M. Müller, digitální úprava M. Ďuricea).

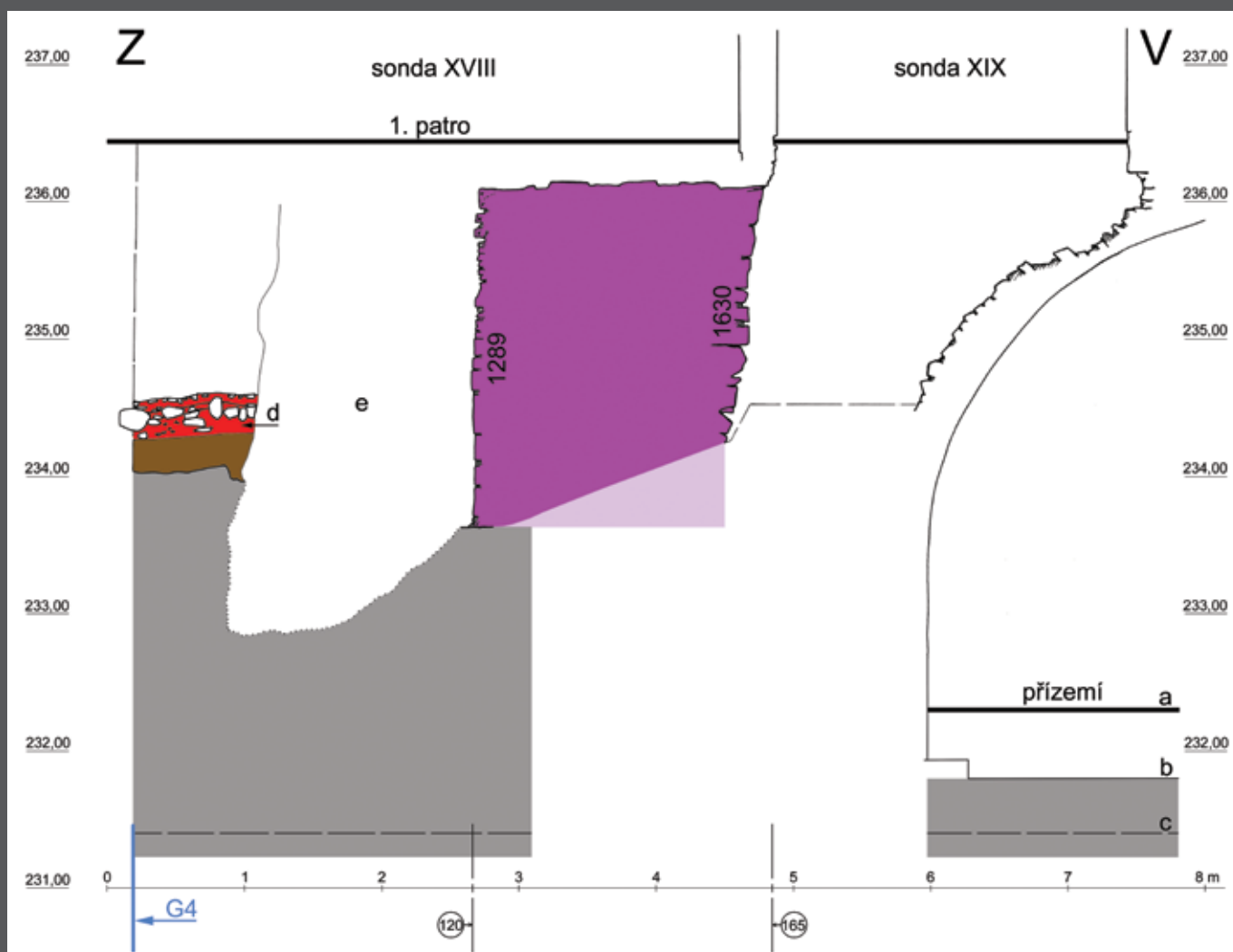


Obr. 5. Thunovská čp. 192/III. Fotografie západního líce hradby (od JZ, foto F5373, M. Müller, 19. 5. 2015).

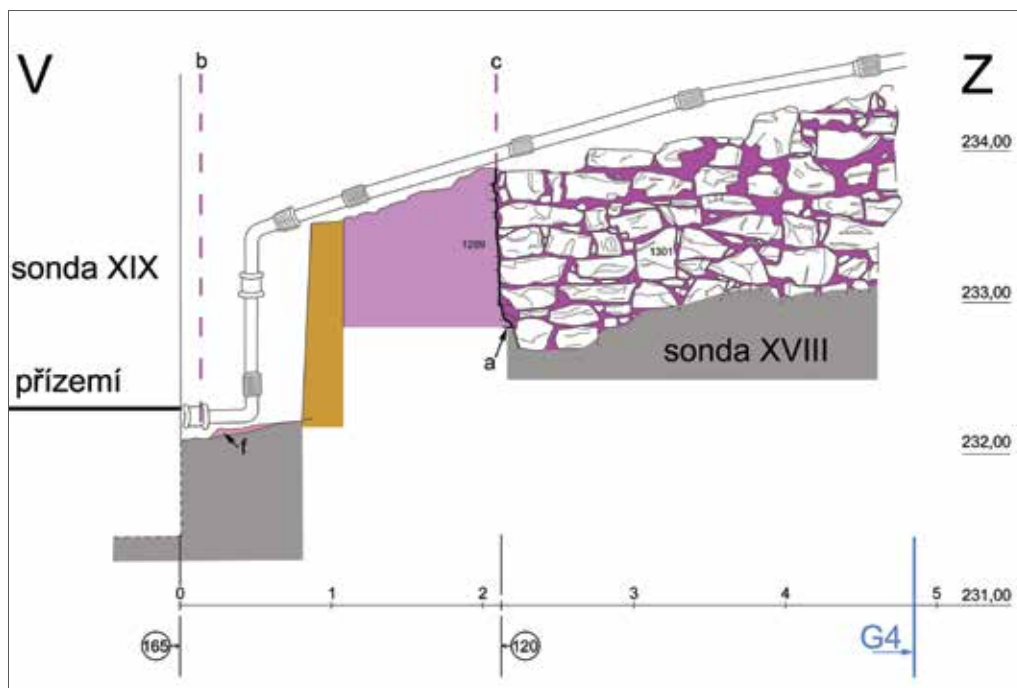


◀▲ Obr. 6. Thunovská čp. 192/III. Pohled na nepatrný fragment východního líce hradby orientovaného do města. Situování viz obr. 10: a1 – vedle průchodu na zahradu (obr. 10: p). Legenda: a – východní líc hradby (vr. 1630); b – plomba; c – mladší obezdění líce hradby při stavbě domu; d – příčná zeď na spáru pro čelo klenby přízemí; p – průchod na zahradu (B – foto F4559 od JV, C – foto F4564 od V, M. Müller, 8. 10. 2014).

▼ Obr. 7. Generalizovaný řez G1. Mocnost hradební zdi (vr. 1289, vr. 1630), řez situovaný pod podlahou 1. patra mezi sondou XVIII a klenbou přízemí v sondě XIX (viz obr. 17). Legenda: a – podlaha přízemí před nástupem stavby (232,30); b – plánovaná snížená podlaha; c – dno výkopů pro plánovanou podlahu (231,40); d – kamenitá úprava terénu v okolí věže; e – zničeno odpadní jámkou. V místě křížení s řezem 120 křížení s obr. 4, v místě křížení s řezem 165 křížení s obr. 10 (zaměření autoři, digitalizace M. Ďurica).



Obr. 8. Thunovská čp. 192/III. **Generalizovaný profil G3.** Pohled na severní vnější líc věže, v sondě XVIII tvoří kout s hradbou – **linie c** (hradba v roce 1289 **plně**). Na východě zdivo hradby osekáno, jádro zdiva zarovnáno plentou (**okrově**) kvůli vedení vodovodu procházejícího průrazem (viz obr. 10: m). V místě křížení s pohledem na východní stěnu v řezu 165 křížení s obr. 10, v místě křížení s řezem 120 křížení s obr. 4. Stupňovitá Z–V základová spára hradby vyplývá z rozdílu výšky na západě (**a**; 232,84/Bpv) a na východě (**f**; 232,10/Bpv). Další legenda: **b** – linie východního líce hradby, tj. obr. 10 (řez 165); **c** – linie západního líce hradby a spáry mezi hradbou a věží. Složeno z řezů 138, 120, 169 a půdorysů (zaměření autoři, digitální úprava M. Ďurica).



XIX v přízemí, v průrazu pro vodovod z 19. století (viz níže obr. 10: m, f). Ze dna a stěn průrazu také známe jádro 1,95 m silného zdiva, sestávajícího z opukových balvanů někdy až 0,5 m dlouhých, místy spojených maltou, s četnými vzduchovými mezerami (obr. 9). Původní výšku hradby nedokážeme určit. V nejvyšším odkrytém úseku západního líce, v koutě se stěnou věže, její torzo včetně základu dosahuje 3,1 metru, koruna dochovaného fragmentu je v západní části dána

konstrukcí podlahy 1. patra. Východní líc hradby se dochoval do větší výšky (obr. 10: a2). Byl registrován ještě nad průchodem do zahrady (obr. 10: p) pod stropem 1. patra na kótě 240,4 a snad pokračuje pod podlahu patra druhého.¹⁰ V případě, že poukázaný úsek „a2“ opravdu náleží hradbě, její minimální výška by zde byla 8,15 m od základové spáry.

Obr. 9. Thunovská čp. 192/III. Jádro zdiva hradby na severní stěně průrazu pro vodovod, umístění viz obr. 10: m (od V, foto F3484, M. Müller, 21. 3. 2014).



Věž (branská?)

V sondě XVIII pod průchodem na zahradu bylo objeveno místo, kde se ze západní strany na hradbu napojuje hranolová věž. Konkrétně se dochoval severní kout styku hradby s předstupující věží, z níž zbyl půdorys severní a východní zdi. Věž je z vnější (západní) strany přiložena k hradbě na spáru (obr. 11), podobně jako hradební věž za čp. 310/I na Starém Městě (RAŽÍM 2020, 726). Protilehlý východní líc hradby se v úseku napojení nezachoval. Podle skladby balvanů v jádru hradby a věže, zastížené na dně průrazu pro litinový vodovod na výšce 233,6/Bpv, od místa severního napojení věže pokračuje hradba dále k jihu, kde je přerušena armovaným otvorem (obr. 10: mezi liniemi b–c). Vedle otvoru je přistavěna severní zeď věže.¹¹ Dolní část hranolu věže tak v rozsahu přízemí využívá jako svou východní obvodovou zeď samotnou hradbu. Západní (vnější) líc hradby (obr. 4) i severní (vnější) stěna věže (obr. 8) jsou z lomové opuky pojené shodnou maltou, mezi líci není rozdíl (obr. 12). Stejně jako u hradby není v severním líci věže patrný

10 Ve 2. patře se arch. M. Semerádovi nepodařilo najít ani zdivo hradby, ani věže.

11 Jižní zeď věže ani její napojení na hradbu se nedochovaly.



Obr. 11. Thunovská čp. 192/III. Spára dokládající přisazení severní zdi věže k průběžnému zdivu hradby (od S, foto F4958, M. Müller, 23. 2. 2015).

Obr. 12. Thunovská čp. 192/III. Pohled na severní vnější líc věže (kresba na obr. 8); **a** – nově postavená zeď roku 2018 geotextilií separovaná od zdiva věže (od S, foto F5357 (A); od Z shora F5366 (B), M. Müller, 19. 5. 2015).



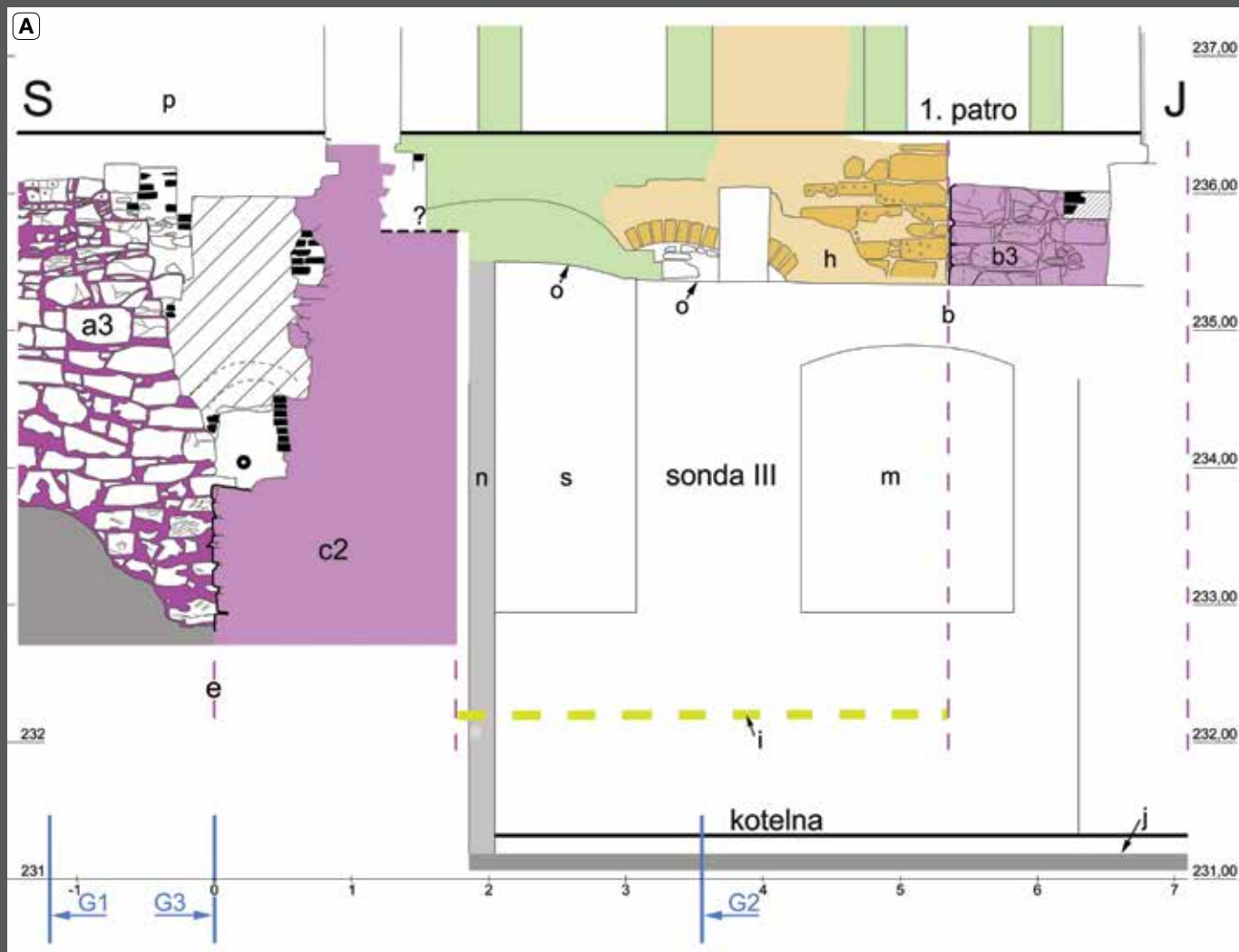
předzáklad ani rozdíl mezi základovým a nadzemním zdivem, půdorysná linie je přímá a líc je pečlivě zarovnán.¹² Kromě vnějšího líce věže je u severní zdi doložen i průběh líce vnitřního (jižního), zastížený v 1. patře pod podlahou sousední jižní místnosti (sonda III).¹³ Zde byly na západní stěně východní zdi (vnitřní stěna věže) dokumentovány rovněž pozůstatky jádra hradby u jižního nároží průjezdu (obr. 13A: b3). Jádro zdiva bylo zřetelné také v celé délce severní zdi věže, neboť do ní byl v 19. století založen již zmíněný vodovod ze zahrady do domu, a tak líc zdiva byl kvůli vodovodnímu vylámán. Jako v hradbě, i zde byly opukové balvany spojeny maltou nesouvisle, četné vzduchové mezery umožňovaly pracovníkům stavby místy rozebírání zdi rukama či krumpáčem (obr. 14).

Několik kusých fragmentů vnějšího – východního – líce hradby a věže bylo v průběhu let registrováno v sondě XIX, zahrnující chodbu 1. patra a přízemní prostory pod touto chodbou (obr. 3). Po zanesení zaměřených jednotlivostí do společného formátu (obr. 10) vyplynulo, že části východní stěny hradby a brány obrácené do města dokážeme zhruba rekonstruovat. Ve výšce mezi 3. a 4. metrem nad základovou spárou, 'f' bylo pod podlahou chodby 1. patra zastíženo svislé **jižní nároží** otvoru opatřené pečlivým armováním (vr. 1680; obr. 10: b1, b2, b; 15). Nároží spolu se stěnou v severním sousedství prošly výrazným požárem, jehož účinkem se povrch armovacích kamenů na jižním nároží velmi poškodil a oprýskal se. Pouze na kameni K510 zůstala část oprýskaných úlomků na místě a podle jejich povrchu na severní a východní straně pečlivě opracovaného nástrojem se zubatým ostřím můžeme soudit na původní ozdobný vzhled armování (obr. 15, 16). Protější **severní nároží** je doloženo nad podlahou 1. patra spárou zaměřenou v roce 2011 vedle průchodu na zahradu, v době objevu hradby již omítnutou (obr. 10: c). Pokračuje pod strop 1. patra, kde byla obnažena roku 2015. Obě nároží vymezila rozestup (otvor?) o šířce 3,6 metru (6 loket).¹⁴ Interpretační problémy působí výška svislých spár/nároží, která je od úrovně cesty v bezprostředním sousedství značná. Výška jižní spáry (obr. 10: b) byla registrována v intervalu 3,12–7,81 m nad cestou (235,24–239,93/Bpv) a severní spáry v intervalu 5,0–8,2 m nad cestou (obr. 10: i). Se severním nárožím otvoru v hradbě se nachází na společné linii jižní stěna severní zdi věže, která podle naší interpretace představuje vnitřní severní stěnu průjezdu věží. Ve výšce 7,15–7,90 m (239,30–240,05) se ve východním líci objevila nová svislá spára (obr. 10: d; 13B), která odděluje vnější severní líc věže od zdiva pokračujícího k severu, interpretovaného jako hradební zeď 'a2'. Oproti situaci v přízemí, známé z průrazu pro vodovod, není v horní části severní strana věže k hradbě od západu přisazena, nýbrž severní zeď věže zde prostupuje skrz hradbu až do východního líce hradby. Oproti západnímu napojení v přízemí (obr. 10: e) je spára v patře o 0,2 m posunuta dovnitř věže.

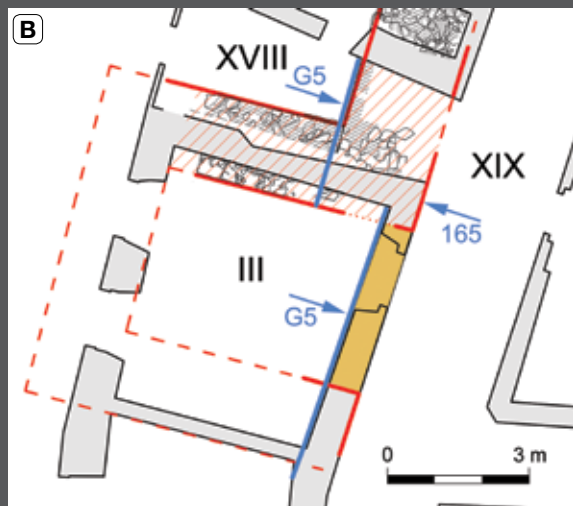
¹² Západní líc hradby a severní vnější líc věže zůstaly zachovány, po přestavbě domu však již nejsou přístupné, neboť byly obezděny kompaktním černým izolačním materiálem, od hradby separovaným geotextilií. Stavebník se zavázal, že obě tyto obezděné intaktní zdi hradby a věže (s výjimkou zapuštění jedné traverzy) nebudou narušeny.

¹³ V přízemí je jižní líc severní zdi věže (severní stěna průjezdu) skrytý v severní obvodové zdi sondy III, kde je obezděný železobetonovou plentou z doby, kdy v severní části sondy III byla kotelna. Stavba udělala mezi sondami III a XVIII zjišťovací vrtaný průraz pro určení síly zdi, v jeho místě byla mezi plentou a zdí vzduchová mezera. Za plentou patrně zůstal líc průjezdu zachován.

¹⁴ Stejná šířka 3,6 m byla zjištěna jako světlá šířka portálu mladší fáze Valentinské brány na Starém Městě. Dendrochronologická analýza dvou oddělených částí dubového prahu tam přinesla data 1260+ a 1272+ (DRAGOUN/PODLISKA/STAREC 2019, 31).



Obr. 13. Thunovská čp. 192/III. **A** – generalizovaný řez G5 od západu zobrazuje pohled na pozůstatky hradby, věže (oboje fialově) a vyzdívky (okrově) a jejich výškové a prostorové souvislosti v sondách III (řez 136) a XVIII (řez 120), a to pod podlahou místností 1. patra. **Legenda:** **a3** – západní líc hradby v řezu 120; **b** – jižní nároží otvoru v hradbě; **b3** – jádro zdiva hradby (vr. 1621) v sousedství jižní stěny vjezdu ve vzdálenosti cca 0,7 m od východního líce hradby (viz obr. 10: b1); **c2** – řez S zdi věže před lícem hradby (na západ); **e** – S líc věže; **h** – od Z pohled na Z líc vyzdívky s vynásecím pasem (vr. 1622), tvořící vnitřní východní stěnu věže; **i** – rekonstruovaná úroveň dlážděné vozovky ve vzdálenosti 0,7 m od východního vnějšího líce brány; **j** – drutný povrch skály snížený podlahou kotelny; **p** – průchod na zahradu v 1. patře; **s** – nika po zaniklém schodišti (dosud značení svázané s obr. 10). **m** – vstupní otvor z přízemí do bývalé kotelny (sestup po schodech); **n** – železobetonová plenta před severní vnitřní stěnou věže, tvoří severní stěnu kotelny; **o** – rub klenby kotelny a bývalého schodiště. **B** – situování řezu G5 na půdorysu branské věže a 1. patra domu. **Plnou červenou linií** odkryté části půdorysu, **čárkovaně** rekonstrukce. **C** – spára mezi jádrem hradby **b3** (vpravo) a lícem vyzdívky **h** (od Z, foto F3606, M. Müller, 28. 3. 2014).

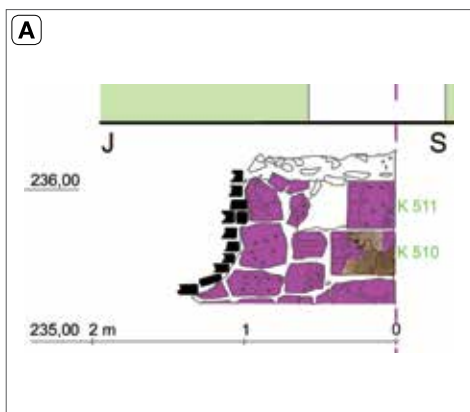




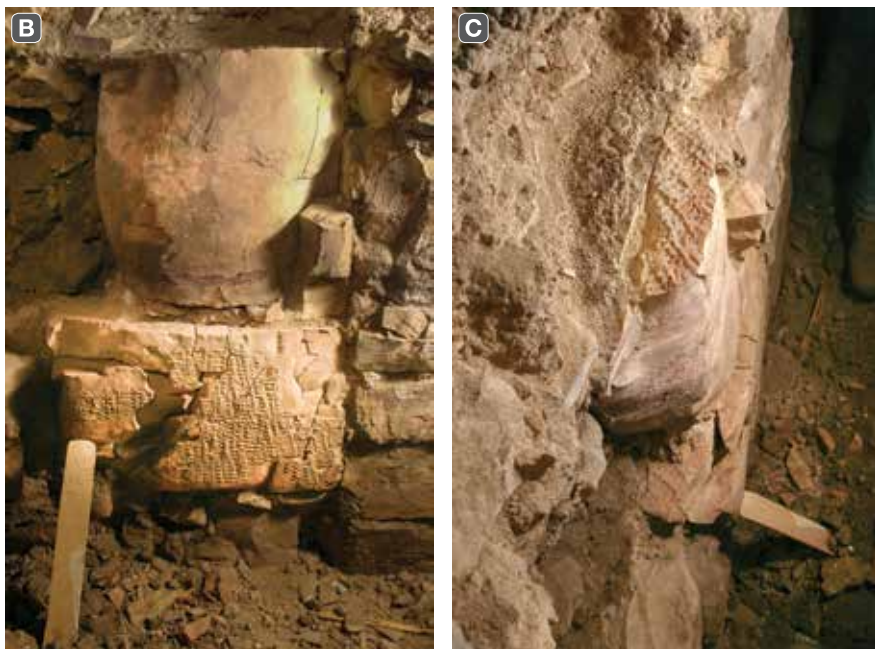
Obr. 14. Thunovská čp. 192/III. Jádru severní zdi branské věže. Opukové balvany jsou spojeny maltou nesouvisle, absence malty vytváří četné vzduchové meze-ry, velké části povrchu kamenů zůstaly čisté, bez pojiva. **Vlevo dole** zjišťovací otvor do cihlové klenby nad litinovým potrubím vodovodu z 19. století (od S, foto F3201 (A), F3215 (B), M. Müller, 11. 2. 2014).

Prostor mezi severním a jižním armovalým nárožím je v hradbě vyplněn zdivem silným 0,6 m (1 lo- ket) z opukových kamenů menšího formátu než sousední zdivo hradby; pracovně jsme ho ozna- čili jako tzv. vyzdívkou. Zachovaly se oba její líce – západní (obr. 10: h) i východní (obr. 13A: h) –, oba byly ohořelé. Půdorysně je východní stěna vyzdívkou v souvislé přímé linii s lícem jižní arma- tury otvoru v hradbě, nejedná se o vpadlinu. Spodní část prostoru mezi nárožím – uvažovaný prostor vjezdu – je do výšky 3,2 m zničen. Na vnitřní stěně uvnitř věže je ve vyzdívkě, ve výšce 3,40 m nad rekonstruovanou úrovní dlažby, v rovině stěny zřetelný pas z opukových klenáků menší velikosti, také propálených – nejspíše vynášecí oblouk (obr. 13). Vůči nárožím v hradbě je jeho poloha mírně asymetrická (osa oblouku posunuta o 0,2 m k severu). Pod klenáky je patrná mladší zazdívká, do východního líce se však oblouk ze západního líce nepropisuje.

Jednoznačná základová spára byla v půdorysu věže zastížena pouze v přízemí sondy XIX (obr. 10: f), v jižní stěně průrazu pro vodovod, 0,13 m od přízemní linie severního líce věže a 1,67 m od severní stěny vjezdu, na kótě 232,10/Bpv.¹⁵ U jižní zdi věže je nálezová situace základové spá- ry sporná. Linie jižního nároží otvoru ve východním líci hradby, jak byla zastížena pod podlahou 1. patra (obr. 10: b), v přízemí zanikla při bourání jednoho z nových vstupů do místnosti se sondou III.¹⁶ V jeho jižním sousedství byly registrovány dvě vodorovné řady velkých kamenů (vr. 1627; obr. 10: g), třetí řada již byla z velké části zakryta omítkou (obr. 10: n). Oproti lícům hradby a věže



Obr. 15. Thunovská čp. 192/III. Jihovýchodní nároží otvoru (A) v branské věži opatřené pečlivým armovalím, označeným vr. 1680 (kameny K510 a K511), které je silně poškozené požárem. Zubákem opracovány čelní i ložné plochy. Lokalizaci viz obr. 10: b1 (terénní foto od V, F4638 (B), F4642 (C), M. Müller, 15. 10. 2014).



¹⁵ Základová spára na protější, severní stěně průrazu pro vodovod v sondě XIX půdorysně již náleží hradbě, výškově se shodují.

¹⁶ Stavba dodržovala schválený projekt jen vágně, dveřní otvory se často po probourání zazdívaly a posouvaly jinam. Pro nalezení definitivního místa pro dveře leckde padly za obětí metry historického zdiva.



ze zarovnaných kamenů pojených maltou na západní straně, se popisovaný úsek (obr. 10: g) jevil jako pojený hlínou; také skladba kamenů není podobná skladbě na západním líci hradby. Jejich víceméně vodorovná základová spára na kótě 231,54 překrývala kompaktní výplň středohradištního žlabu (obr. 10: o). Ve směru S–J musel základ věže překonat jistý výškový rozdíl, jehož hodnota není jasná – buď minimálně 0,6 nebo 1,16 metru.¹⁷ Protože výšku skály známe těsně před lícem severní stěny, nikoli pod ní, a protože minimálně dva kameny líce pokračovaly pod tuto linii skály, jednoznačnou základovou spáru severní stěny neznáme. Nemůžeme vyloučit, že pro věž mohly být vytesány do skály základové pasy s jednotnou úrovní základové spáry.

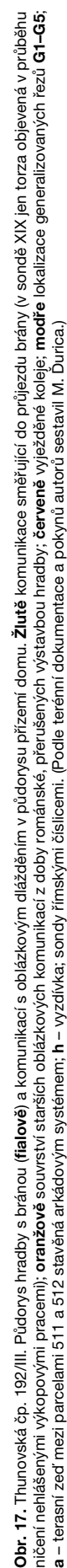
Svislá nároží a náročnější úprava minimálně jižního z nich dokládají, že spodní část věže byla do města otevřená. Utemovaná dlážděná plocha východně i západně od ní indikuje, že věž byla průjezdná, jak poukazují i stopy po kolejích vozů, a mohla tak plnit funkci brány. Rozteč nároží, podle nás patrně šířka otvoru vjezdu, činí 3,6 m (6 loket = 3,548 m), tloušťka severní zdi 1,8 m (3 lokte = 1,77 m), předpokládané rozměry vnějšího půdorysu hranolové branské věže by mohly být 7,1 × 7,1 m (12 × 12 loket). Západní zeď zanikla výstavbou raně novověké západní obvodové zdi domu a zřízením přilehlého anglického dvorku okolo roku 2011, jižní zeď zmizela historickými přestavbami domu, stejně jako plocha průjezdu.¹⁸ Předpokládaný půdorys se nepodařilo potvrdit, jihozápadní roh nebyl v terénu objeven. Nejvyšší zdokumentovaná výška hradby i věže je odečtena z fotografií v kombinaci s projektovou dokumentací na kótě 240,3/Bpv. Zastížené místo je tak ve výšce 8 metrů nad základovou spárou severovýchodního nároží věže (viz obr. 10: f) a rekonstruovanou úrovní dlažby ve vjezdu ve východním portálu.

Pro interpretaci věže jako brány slouží objev oblázky dlážděných, utemovaných ploch na několika místech v okolí věže, dokládajících přítomnost **komunikace**. V intravilánu města se podařilo zdokumentovat dláždění v sondě XI na dvoře, zejména však později v sondě XIX v přízemí domu (obr. 17). Při práci v jiném místě areálu jsme zaregistrovali nehlášené bourací práce pro snížení podlahy přízemí až v plném proudu, takže na většině plochy již byly terény odkopány až na skálu. Vedle zbylé kompaktní souvislé plochy dláždění (obr. 18) se dochovala jen drobounká torza dlažby převážně z opukových valounů, nejčastěji na stěnách výkopů podél zdí, ev. pod jejich základovou spárou. Souvislá dlážděná plocha byla velice pevná, poměrně tenká o síle 5–8 cm, v místech vyjetých kolejí až 18 cm (vr. 1309 a 1351). Podařilo se vypreparovat i kolej a podkovu ležící ve směru této koleje. Protože pokračování dlažby k jihu bylo již odkopáno, celkovou šířku dlažby se nepodařilo zjistit, souvislou plochu se podařilo zdokumentovat pouze v šířce 5,5 m situované před průjezdem brány (obr. 17). Na severu je okraj dlážděné plochy intaktní, ohraničený skalním stupněm vysokým minimálně 0,34 m od dlažby, jeho původní výška a povrch se nedochovaly (obr. 19). Po průjezdu bránou, vně města, byla v trase průjezdu rovněž zastížena oblázková, velmi pevná dlažba v šachtě pro kanalizaci (obr. 17: sonda XIV/511; obr. 20). Spojením polohopisných a výškových souřadnic všech úseků dokumentovaných na Z–V linii vznikl rekonstruovaný profil přímé, od města šikmo se zvedající vozovky procházející průjezdem

Obr. 16. Thunovská čp. 192/III. Armovací kámen K510 z věže, polovina 13. století. Umístění kamene cf. obr. 10: b1, obr. 15 a 17. Způsob opracování kamene: stezka na hranách sekyrou a plochy zubatým nástrojem. Rozpraskané úlomky opracovaného povrchu postupně opadaly na dno výkopu v klenebním zásypu. Byly sesbírány, slepeny a adjustovány, ev. č. 2011/3-2038 (slepení a adjustace kamených úlomků Jana Křemenáková; foto F. Malý, 2015).

17 Hodnota rozdílu je sporná – buď 0,6 m (k povrchu dlažby), nebo 1,16 m (k základové spáře kamenů vr. 1627). Nejhlubší dosažené místo na severní stěně věže je 232,70; dlažba přiléhá ke kamenům vrstvy 1627 v úrovni 232,10; základová spára kamenů 231,54/Bpv.

18 Celá uvažovaná plocha průjezdu byla v místě kotelny (severní část sondy III) zapuštěna do skály na kótu 231,15/Bpv. Místo vjezdu bylo zničeno při bourání nového dveřního otvoru vedle nově objeveného zasypaného schodiště do podzemí.



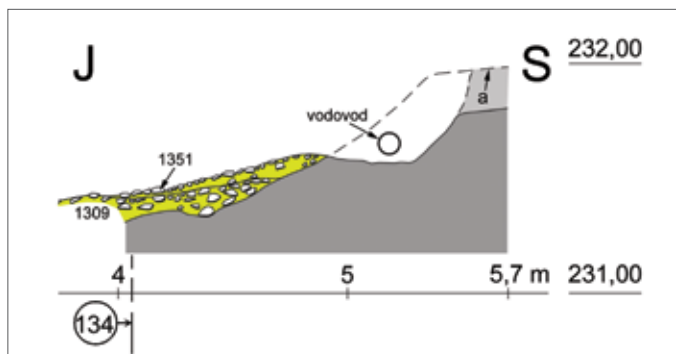


Obr. 18. Thunovská čp. 192/III, sonda XIX. **A** – část dlažby vr. 1309 v průběhu odkrývání, na detailu (**B**) podkova (šipkou). Lokalizaci viz velká žlutá plocha na obr. 17 (od Z, foto F3573, F3575, M. Müller, 26. 3. 2014).

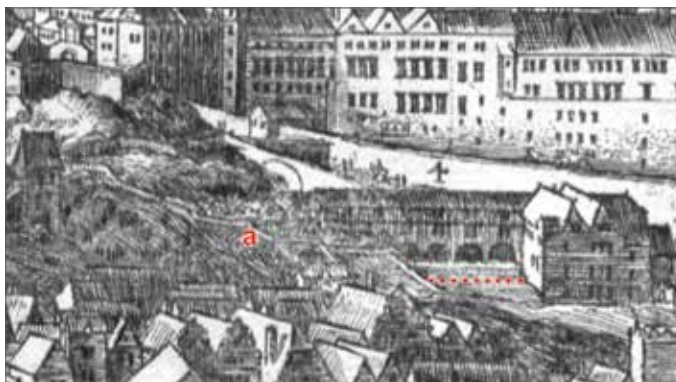
brány na dnešní ppč. 511 (obr. 21).¹⁹ Ve městě vedla komunikace po skále, při průchodu bránou a západně od ní po svahových hlínách intaktního geologického podkladu (obr. 21: světle šedá). Přímý stoupající profil vozovky je dokladem pro interpretaci věže jako branské. Cesta směřuje proti dodnes vysoké terase ppč. 510, v níž je skryt velký skalní blok známý z vedut, který cesta nemohla překonat (obr. 20). Je zřejmé, že musela pokračovat zabočením vlevo, k jihu (obr. 23). Ztížení přístupu k bráně mohlo být strategickým záměrem nebo mohlo prodloužit cestu do brány, a snížit tak prudkost stoupání/klesání. Podle našich představ cesta navázala na snížený skalní stupeň dochovaný parcelou ppč. 509 s dnešním povrchem 237,20/Bpv, kam tradičně směřovala cesta již před stavbou hradeb.

Komunikace starší než vznik Přemyslova města a jeho kamenné hradby byla objevena v roce 2012 na zahradě ppč. 512 nedaleko hranice parcel 512/511 (obr. 17: sonda XIV; obr. 22). Na rozdíl od cesty procházející bránou, zdejší cesta vytvořila 0,20, místy 0,26 m vysoké souvrství několika oblázkových dlažeb. V nánosů na nejmladší z nich se podařilo vypreparovat koleje, které se propsaly i do kamenů dlažby. Také i zde odpovídala orientace ztracené podkovy orientaci kolejí, směřujících do hradební zdi v těsném jižním sousedství brány. Podle předběžných terénních pozorování cesta nevznikla dříve než ve 2. polovině 12. století a podle našeho mínění tvořila v době románské spojnici hradu a malostranské aglomerace, určenou zejména pro povoz. Od zaměřeného úseku v areálu theatinské koleje pokračovala k východu nejspíše jižním sousedstvím Thunovské ulice přes severní křídlo paláce čp. 193/III (obr. 23).

Účel objevené branské věže byl veskrze utilitární, nenáležela mezi hlavní vstupní brány a mezi její funkce patrně nepatřilo být ozdobou města. Směřovala do prostoru Hradčan, z něhož se vstupovalo i do Hradu. Umožnila



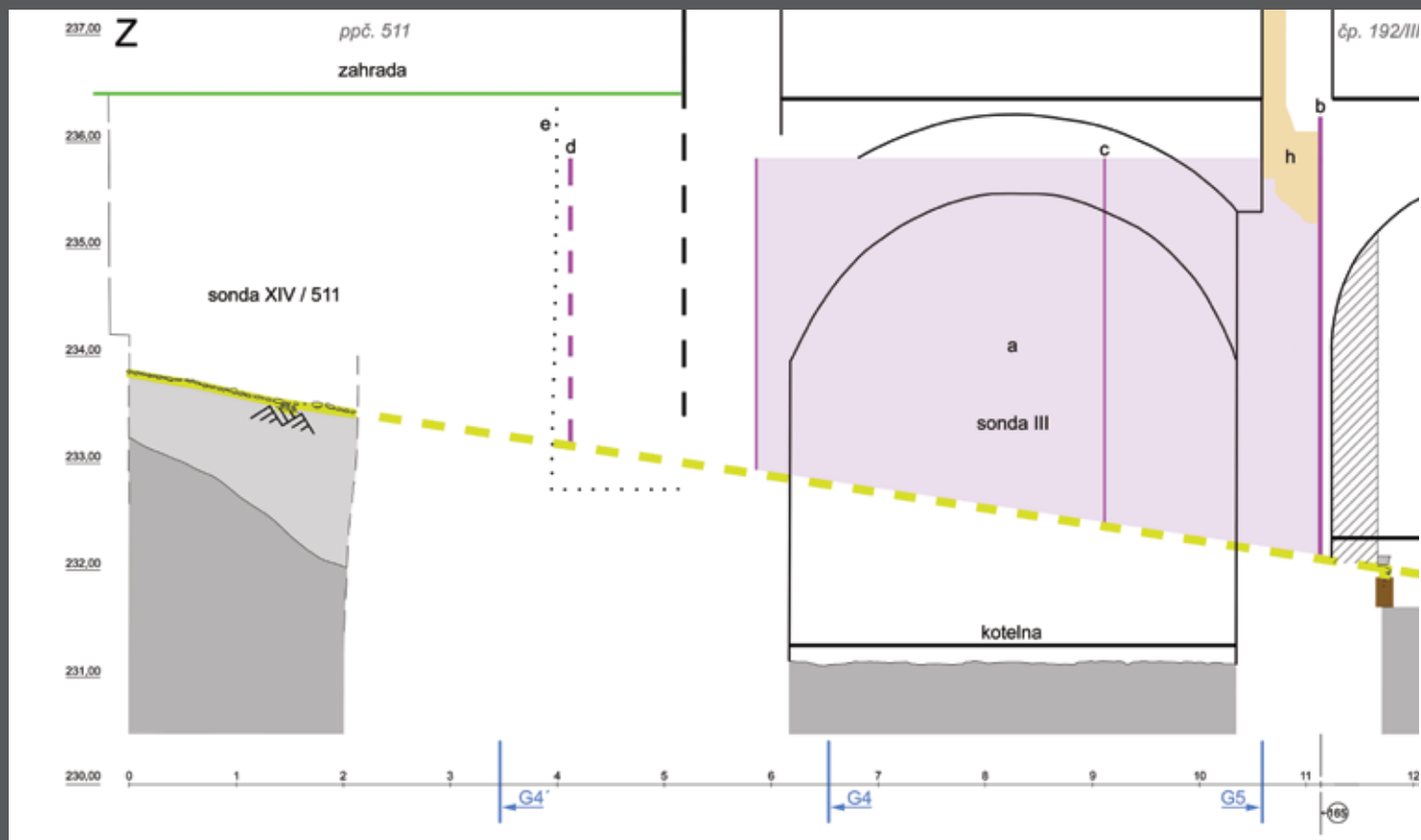
Obr. 19. Thunovská čp. 192/III, řez 135. Profil severní části cesty zapuštěné do skály. Profil stěny poškozen výkopem pro vodovod z 19. století pokračující z průrazu ve hradbě. Zřetelné ohraničení cesty intaktním skalním stupněm (šedě), jehož původní míra zahloubení se nedochovala. Na řezu 133 v blízkém sousedství byla skála vyšší a dosahovala úrovně 231,98/Bpv (úroveň a), což znamená převýšení 0,34 m nad povrchem dlažby (zaměření autoři, grafická úprava M. Ďurica).



Obr. 20. Václav Hollar, 1649 (dle předlohy z roku 1636): PRAGA. Velký prospekt Prahy. Výřez – areál domu čp. 192/III a jeho okolí. Na pohledu od jihu je na západě vidět převýšení skalního bloku pod dnešní parcelou 510 (a) vůči trase cesty (červené tečky) procházející bývalou branou z 50.–60. let 13. století, postupně obestavěnou domem čp. 192/III. Lept, 325 × 1144 mm (© Archiv hl. m. Prahy, Sbirka grafiky, sign. G 27 a).

¹⁹ Od města k bráně ve sklonu 6,6°, od brány ven z města pod úhlem 8,9 stupňů.

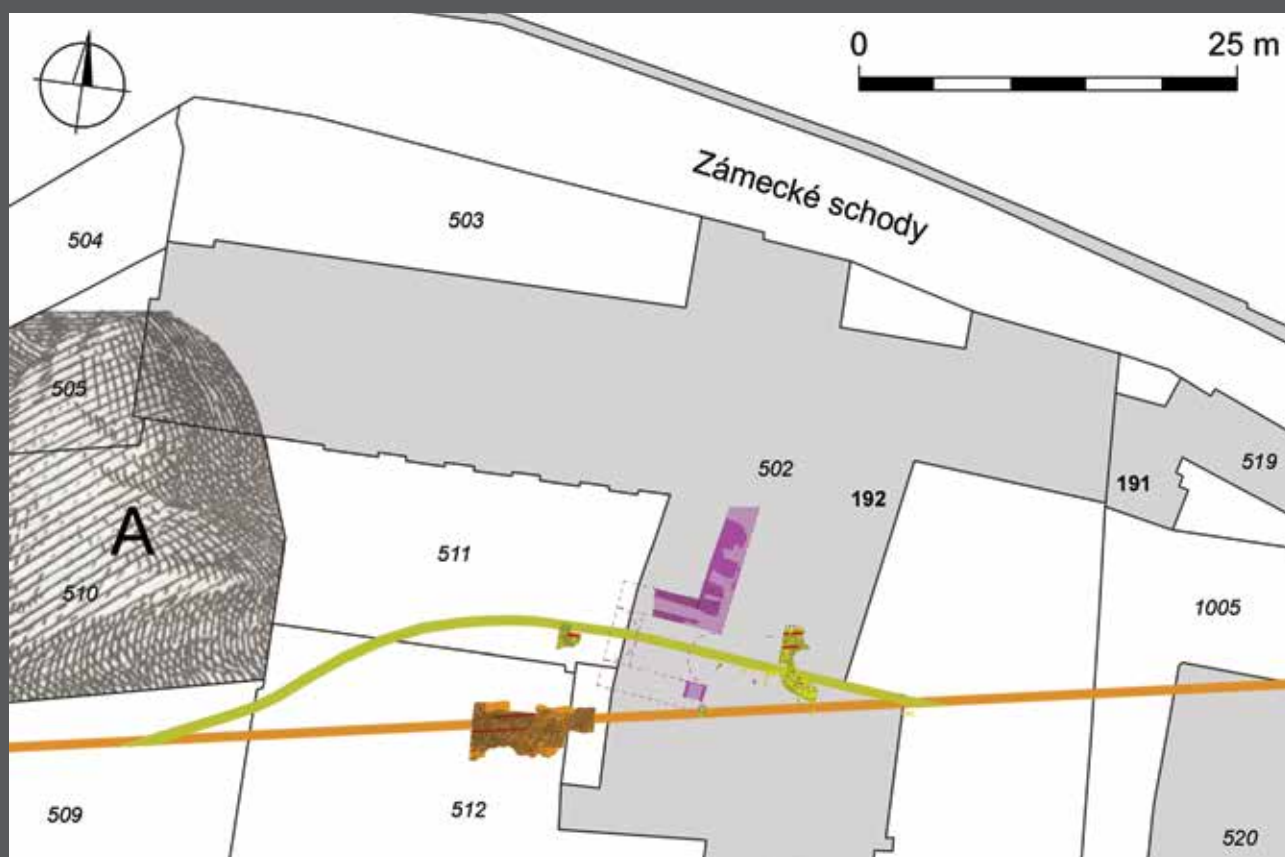
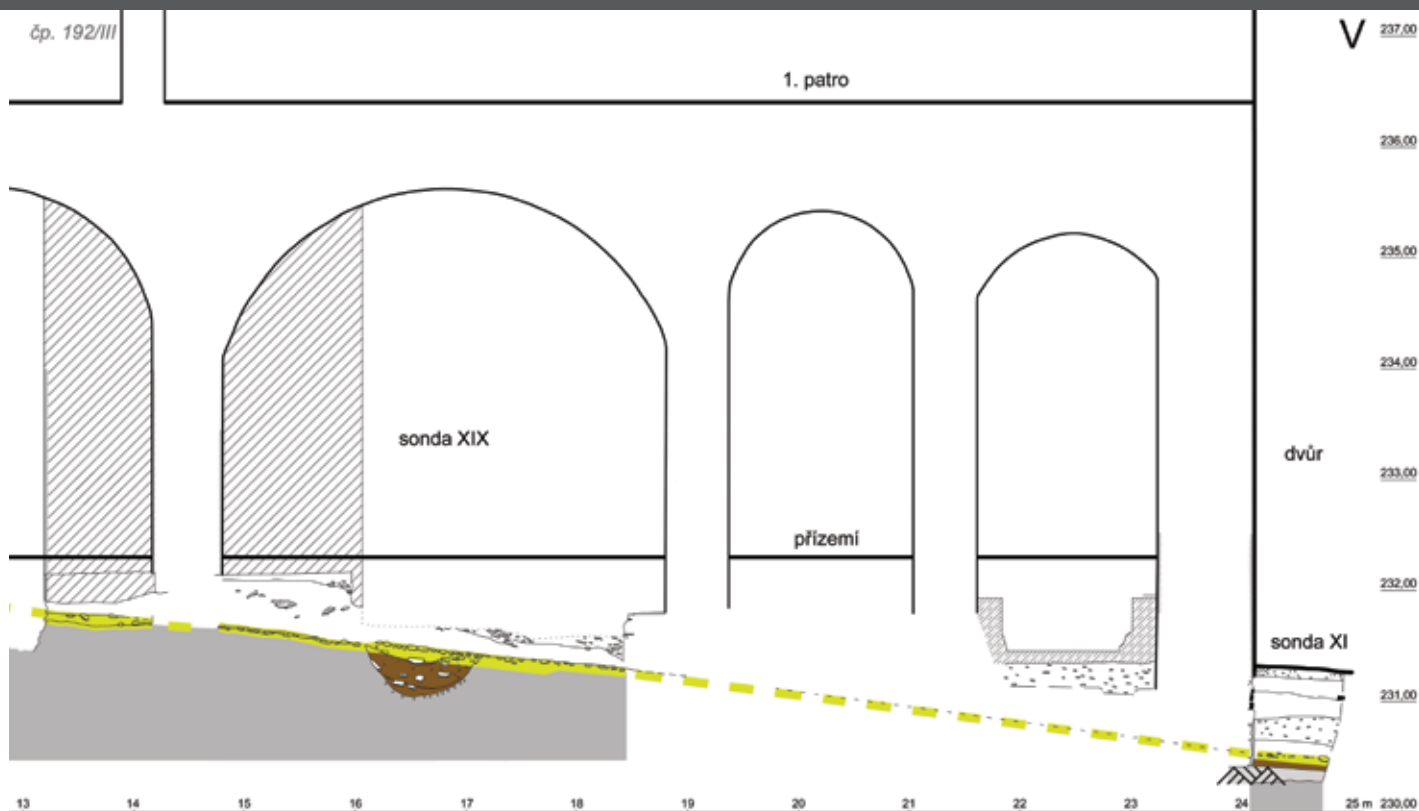
²⁰ Nejmladší kamenitá úprava románské cesty byla originálním náročným restaurátorským postupem v rozsahu 20 m² sejmuta a transferována ateliérem akad. mal. Tomáše Rafla.



Obr. 21. Thunovská čp. 192/III. **Generalizovaný řez G2** od vstupního dvora (sonda XI) k parcele ppč. 511 (sonda XIV). Půdorys řezu G2 viz obr. 17. Spojnice úseků dlažby (žlutě) dokumentovaných v linii řezu G2 vytváří rekonstrukci profilu vozovky procházející průjezdem brány. Výsledkem je plynulá přímka stoupající k západu. Na dvoře v sondě XI a na zahradě v sondě XIV/511 je nad skálou (šedě) dochována intaktní svahová hlína geologického podkladu (světle šedě, se symbolem podloží). Ve vzdálenosti 2,0–7,3 m od brány (na metrů 13,2–18,5 m) leží dlažba přímo na skále, před bránou leží na výplni objektu (hnědě).
 Legenda: **a** – růžově stěna průjezdu v dokumentované délce; **b** – východní líc hradby; **c** – místo napojení věže na hradbu; **d** – předpokládaný západní líc věže; **e** – obrys anglického dvorku (hloubka odhadem); **s** – zničeno stavbou. Křížení s řezem G4 viz obr. 46, v místě křížení s linií **c** prochází obr. 4, v místě křížení s linií **b** prochází obr. 10. (Podle terénní dokumentace a pokynů autorů sestavil M. Ďurica.)



Obr. 22. Thunovská čp. 192/III, sondy VI a XIV. Část románské dlažby vr. 1825, lokalizaci viz oranžová plocha na obr. 17 (od V, A – M. Frouz, 20. 7. 2017; B – F6586, M. Müller, 19. 7. 2017).



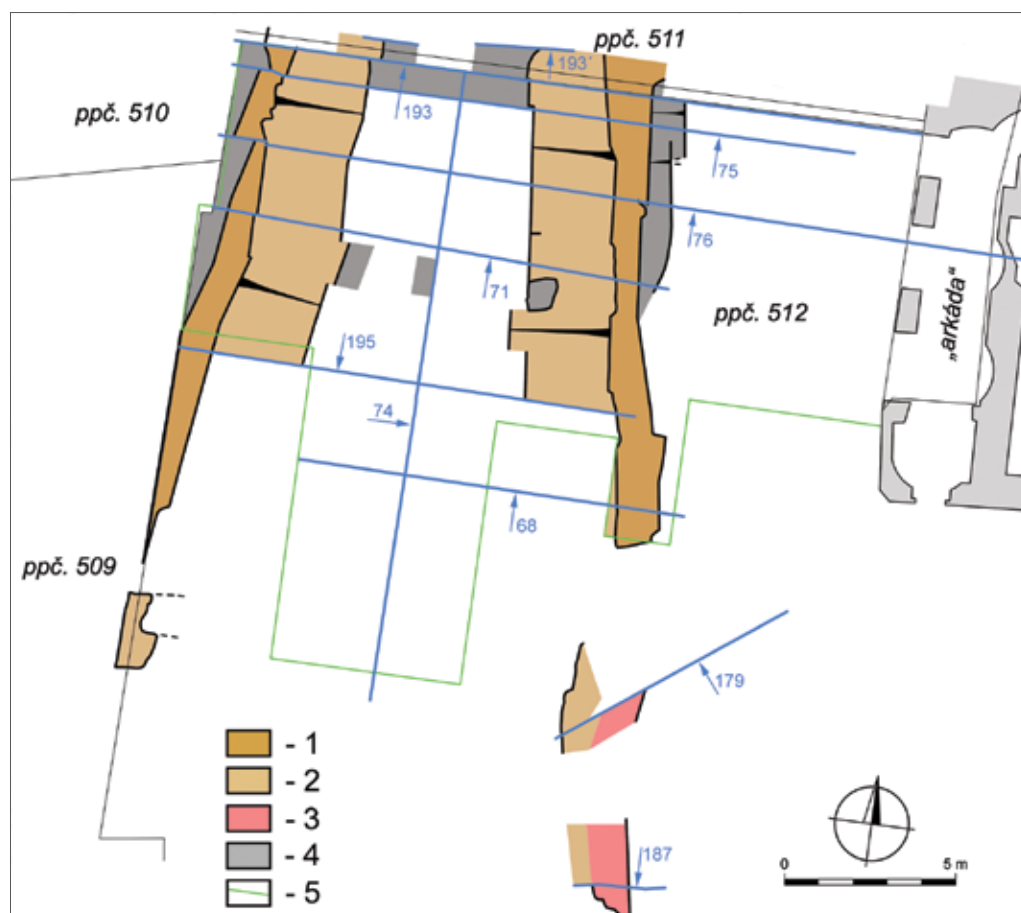
Obr. 23. Thunovská čp. 192/III. Situace hradby a průjezdné věže spolu s předpokládaným průběhem cesty románské (oranžově) a raně gotické (zeleně), vycházejícím ze zastížených úseků. **A** – skalní blok pod dnešní parcelou 510, zobrazený výřezem ze Sadelerova prospektu (viz obr. 53A). Obě cesty pokračovaly k východu přes severní křídlo paláce čp. 193/III a dříve či později se napojily na Thunovskou ulici. K západu pokračovaly nejspíše přes dnes nižší parcelu 509 (do Mapy evidence nemovitostí podle pokynů autorů vložil M. Ďurica).

zachovat provoz do té doby probíhající na oblázkové cestě funkční v 1. polovině 13. století, a je tak dalším příkladem propsání předlokačního urbanistického prvku do půdorysu královského města. Funkce věže jako brány zanikla nejspíše zřízením příkopu v roce 1278, aniž by zanechala stopu v písemných pramenech. Její portály byly nejspíše zazděny a věž je pak zmiňována jako stojící ruina ještě v roce 1592 (NOVOSADOVÁ 1970, 2).

Hradební příkop

Příkop z doby opevňování města cca v 60. letech 13. století se nedochoval, objevený příkop je mladší – z roku 1278. O dvou stavebních fázích příkopu mluví jeden z letopisců *Druhého pokračování Kosmova* (*Letopisy české 1196–1278*), když uvádí, že roku 1278 „obnoven je také starý [rozuměj příkop – pozn. autora], který je blíže zdi hradské“ (FRB II – LET. ČES., 302). Z textu vyplývá, že starý příkop byl na jedné straně přestavěn.²¹ Z rozsahu plochy archeologicky zkoumané sondou XIV mezi linií hradby a příkopem plyne, že v tomto intervalu žádný jiný příkop nikdy neexistoval. Příkop, který jsme objevili, je nejbližší hradbě i hradu, a je to tak příkop z roku 1278 zachovávající trasu příkopu z doby založení města.

Obr. 24. Thunovská čp. 192/III. Půdorys pozůstatků příkopu v sondě XIV na parcele ppč. 512 s řezy příkopem, na které je v článku poukázáno. Šipka ve směru reálného pohledu v terénu; pro potřeby článku pohledy jednotně orientovány k severu. Legenda: 1 – druhotně snížená koruna vyzdívky příkopu; 2 – svah vyzdívky příkopu; 3 – parkánová zeď; 4 – skála na stěnách a na dně příkopu; 5 – obrys stavební jámy pro bazén, strojovnu a další technické zázemí.



V letopiscově záznamu se praví, že roku 1278 král původní příkop nejbliže k hradu opravil, jednu stranu opatřil vápennou zdí, druhá strana nebyla obnovena (FRB II – LET. ČES., 302). Prokazatelně je zamýšlen příkop v areálu Thunovská čp. 192, avšak námi zkoumaný příkop má dodnes kvalitně a shodně obozděné obě dvě strany, jak eskarpu, tak kontreskarpu. Kronikářovu informaci si mohl ve své době snadno každý ověřit pohledem do příkopu. Domníváme se proto, že se mohlo jednat o strany vzhledem k hradu – původní příkop mohl vést od Brusnice přes hradčanský hřbet dolů k jihu, kde se napojil na příkop městský. Oproti původnímu by v takovém případě byl nový příkop zkrácen a upraven pouze příkop na jižním svahu chránící město, zatímco druhá strana

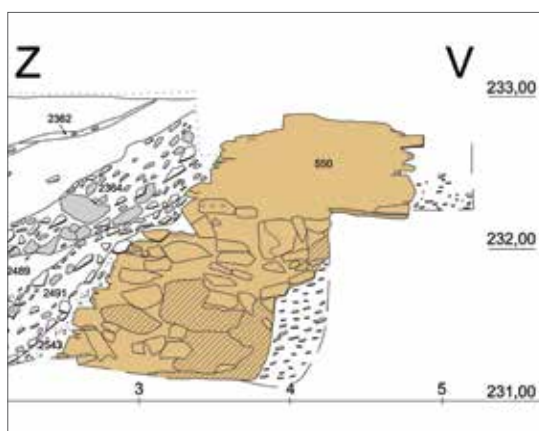
²¹ Zápis k roku 1278: „Také toho roku udělány jsou dva příkopy před hradem Pražským, jeden s kamenem a druhý větší bez kamene v šířce 40 loket a hloubce 30. Délka obou vztahovala se od potůčku Brusnice až k Oboře. Obnoven jest také starý, který jest blíže zdi hradské. S jedné strany vystaven jest se zdí vápennou; druhá strana jeho nebyla obnovena; šířka jeho byla 40 loket, a hloubka 50. S druhé strany hradu, kdež se říká u menší brány, vykopán příkop od potůčku Brusky, a veden přes horu Opyš až ke dvoru páně biskupovu za řekou Vltavou.“ (FRB II – LET. ČES., 302, 303).



Obr. 25. Thunovská čp. 192/III, son-
da XIV. Rychlý postup degradace
břidlicové skály je ilustrován stavem
strmé stěny objektu ve skále, na
podzim odkryté a začistěné, po
jedné zimní sezoně. Vlevo intaktní
zbytky rozetřené malty na šikmé
skále, která tvoří stěnu příkopu (po-
hled od JZ, foto F2983, M. Müller,
30. 4. 2013).

příkopu na severním svahu ostrožny od hradu k Brusnici by nebyla využita, neboť její funkci nahradila nová dvojice příkopů západněji přetínající ostrožnu od „potůčku“ Brusnice k osadě Obora. Zdí vápennou nemusel kronikář myslet pouze obezdění, snad mohl mít na mysli parkánovou zeď. I v takovém případě by platilo, že jedna strana by směřovala od hradu k jihu a druhá od hradu k severu. Jak prokázal archeologický výzkum, parkánová zeď byla stavěna současně s vy-
zdívkou eskarpy v rámci jednoho společ-
ného útvaru, opět spojeného s rokem
1278. Může se zdát poněkud překvapivé,
že po 20 letech bylo nutné příkop přesta-
vět. Kdo však zná nízkou kvalitu zdejších
břidlic, které na povětrnosti nesmírně
rychle podléhají zvětrávání, není udiven,
že ač byl příkop lámán ve skále, byl v ža-
lostném stavu a obě stěny příkopu bylo
nutno zpevnit obezděním (obr. 25).

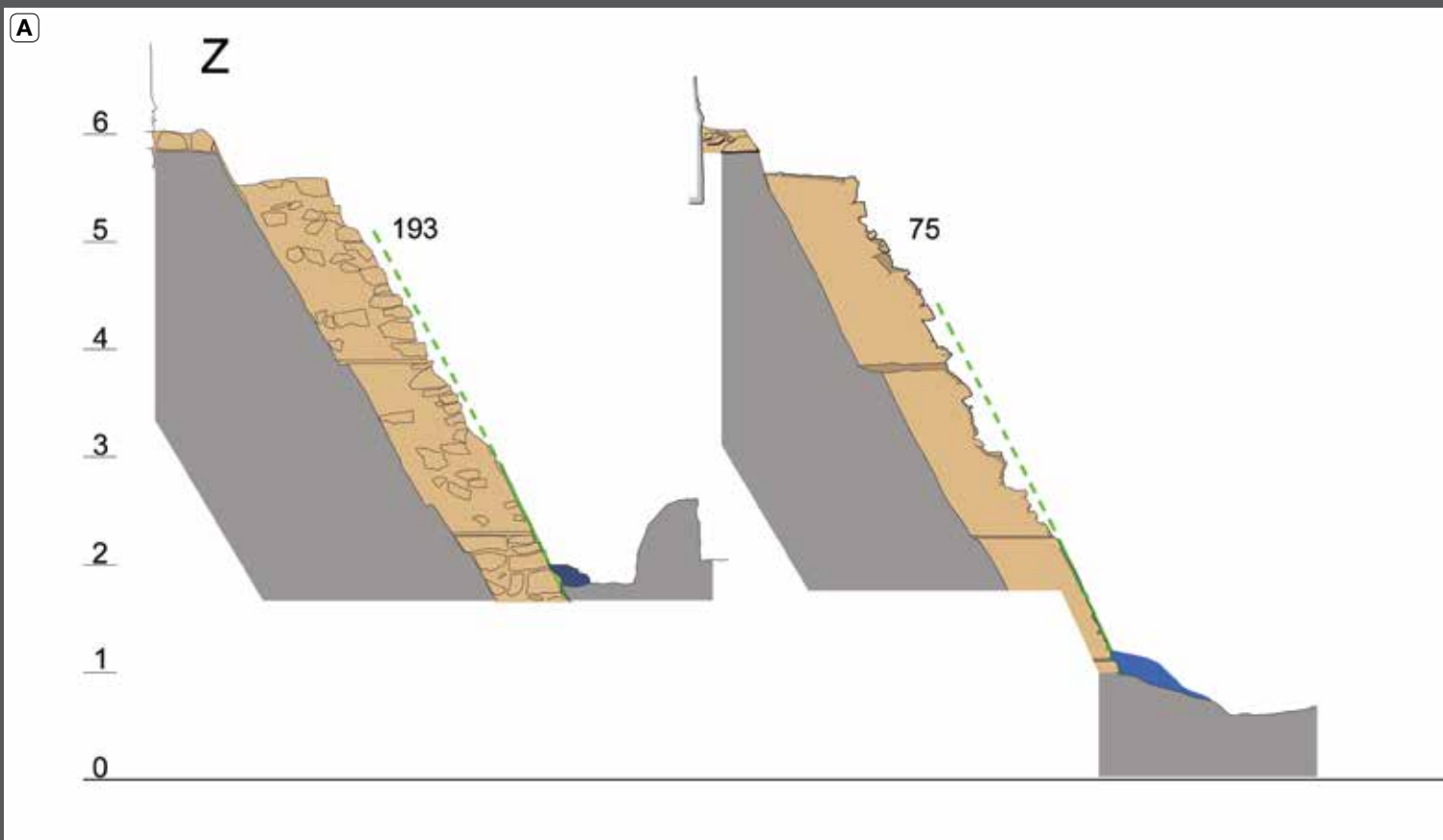
Měli jsme možnost dokumentovat pa-
rametry a obezdění příkopu na několika
místech jeho průběhu. Nejvíce poznatků
pochází ze sondy XIV představující roz-
sáhlou stavební jámu o ploše 261 m²
a objemu 867 m³, z toho 640 m³ připadlo na výplň příkopu.²² Pro bazén byla hluboká 3 m, pro
strojovnu 4,5 m a pro jižní třetinu strojovny dosahovala jáma do hloubky 5,3 m.²³ Drobné po-
zůstatky příkopu byly detekovány pod podlahou refektáře sondou XIII (obr. 2: B; 1. patro domu)
a pod podlahou chodby 2. patra v severním sousedství refektáře sondou XVI. Na severu areálu
byla velká pozornost věnována stopám po příkopu na parcele ppč. 503 (obr. 2: E; úroveň 3. pa-
tra domu). Kompletní profil příkopu byl získán v sondě XIV na zahradě ppč. 512 sérií terénních
řezů (193, 75, 76, 71 a 195; pořadí od severu k jihu), obezdění eskarpy zobrazuje také řez 68
(obr. 26). Pomocí nich lze uvést několik poznámek ke stavebnímu postupu.



Obr. 26. Thunovská čp. 192/III.
Příklad schodovitého rubu eskarpy
poskytuje i řez 68, který zastihl její
horní část. Není založená do skály,
ale do antropogenního souvrství,
které skálu překrývá. Pro malý
rozsah výkopu nelze určit, zda hlína
s břidlicí na rubu eskarpy je výplní
kapes na šikmé stěně příkopu
nebo ji tvoří starší historické terény
(zaměření autoři, grafická úprava
M. Ďurica).

²² Jáma byla hloubena plošným výzkumem metodou postupného rozvíjení bez kontrolních bloků, zkoumána v plném rozsahu.

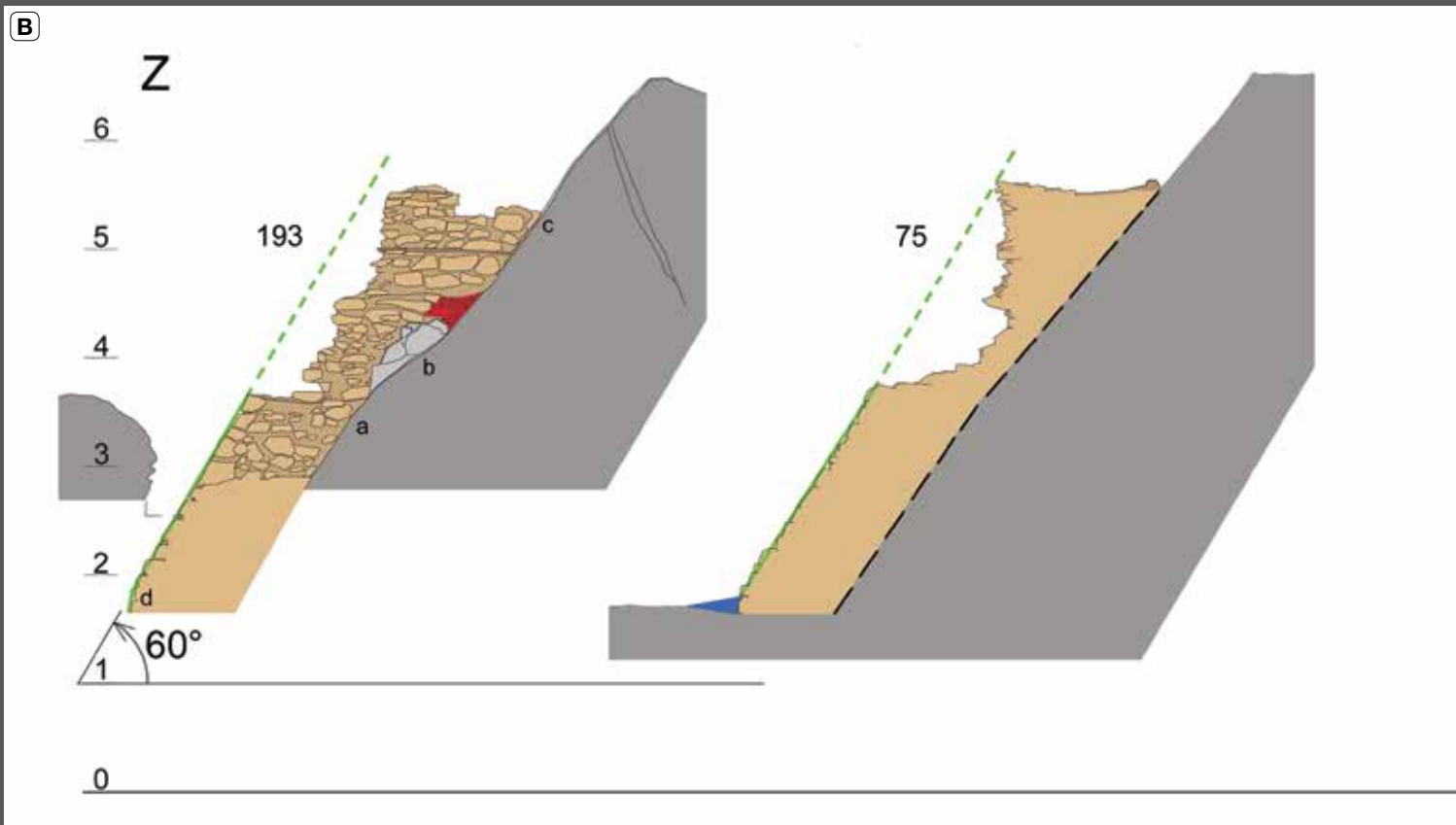
²³ Před přestavbou domu zahájenou v roce 2011 byla v místě sondy XIV zahrada s povrchem v nadmořské výšce 235,5/Bpv. Plošným výzkumem v roce 2012 byl její povrch snížen na úroveň 233,0/Bpv, která se stala výchozí pro stavbu bazénu. Pro vlastní bazén byl výkop hluboký 3 m (dno 230,10/Bpv), pro strojovnu 4,5 m a její jižní třetinu 5,3 metru (dno strojovny jižně od bazénu 228,49, nejhlubší část na jihu 227,69/Bpv). Strojovna byla záměrně situována do výplně příkopu, aby neohrozila stabilitu domu ve východním sousedství zkoumané plochy a šetřila raně středověké terény. Výzkumem byly vybrány zásypy příkopu a dokumentovány líce zdíva. Destrukci zdíva a skály provedla stavba za periodického archeo-
logického dohledu a dokumentace.

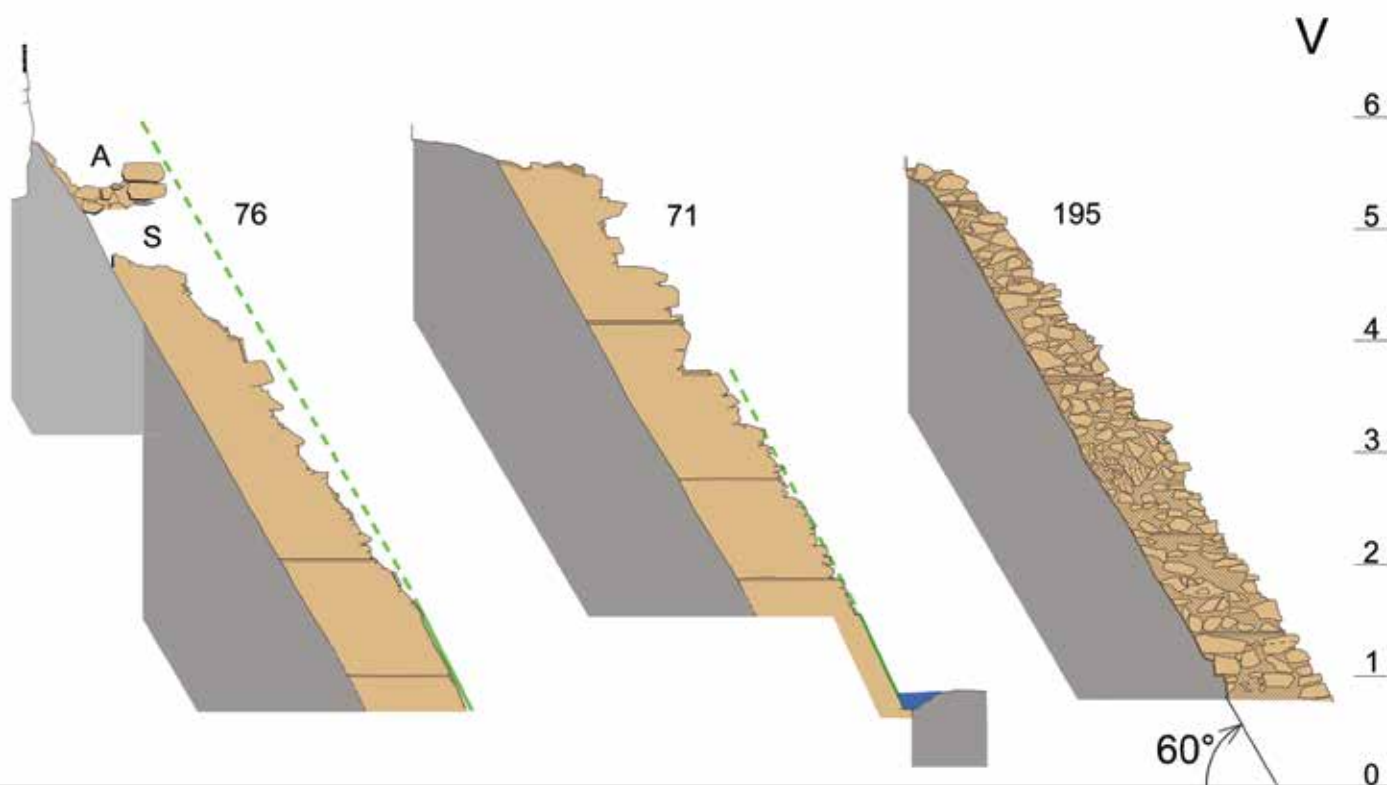


Obr. 27. Thunovská čp. 192/III, sonda XIV. Profily – **A: kontreskarpy, B: eskarpy** – na řezech 193, 75, 76, 71 a 196 uspořádaných v jednotné orientaci, bez ohledu na nadmořskou výšku, v posloupnosti od S k J. Výškový sloupec vyjadřuje běžné metry, nikoli nadmořské.

U řezu 76: **A** – odkryto a dokumentováno v roce 2012, **S** – zničeno stavbou v roce 2013. (Podle terénní dokumentace autorů digitalizoval M. Ďurica.)

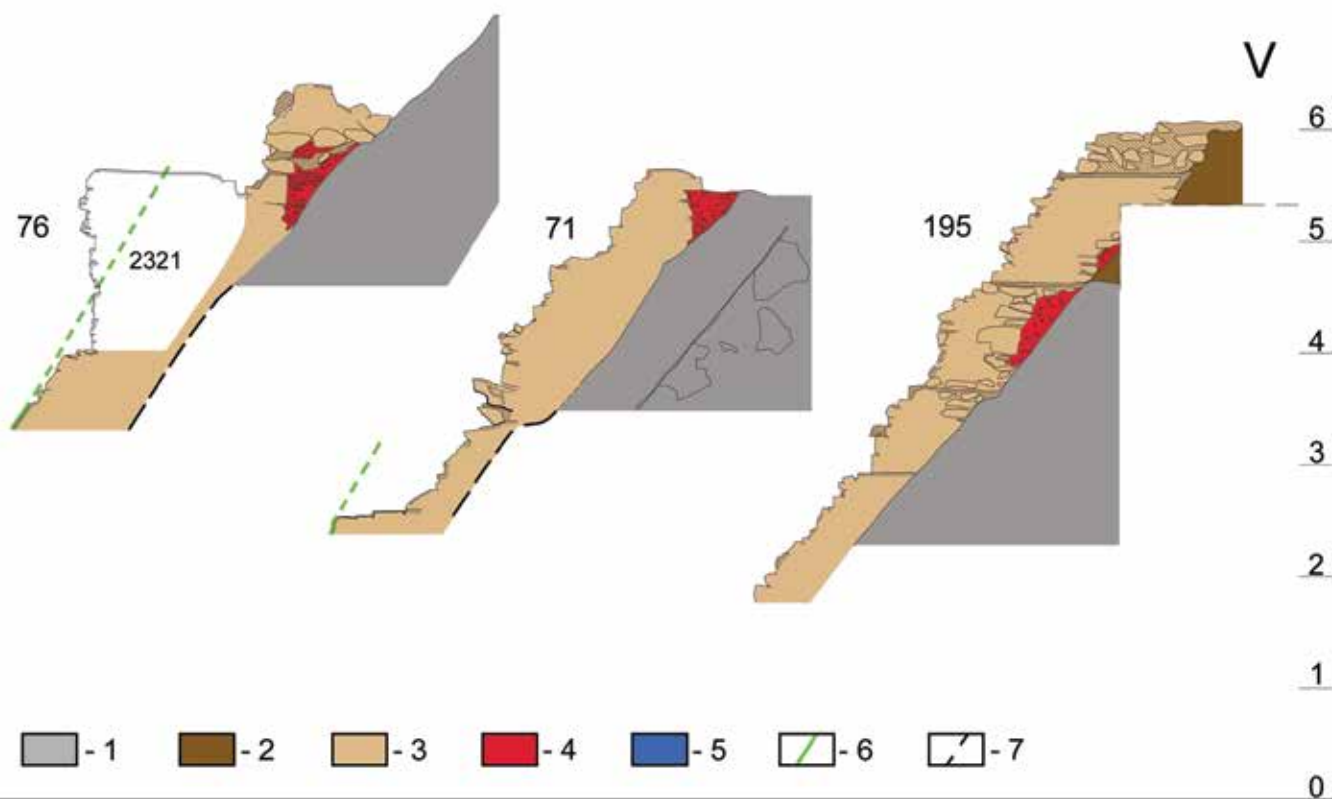
Řez 193: **a, b, c** – viz text s 110.



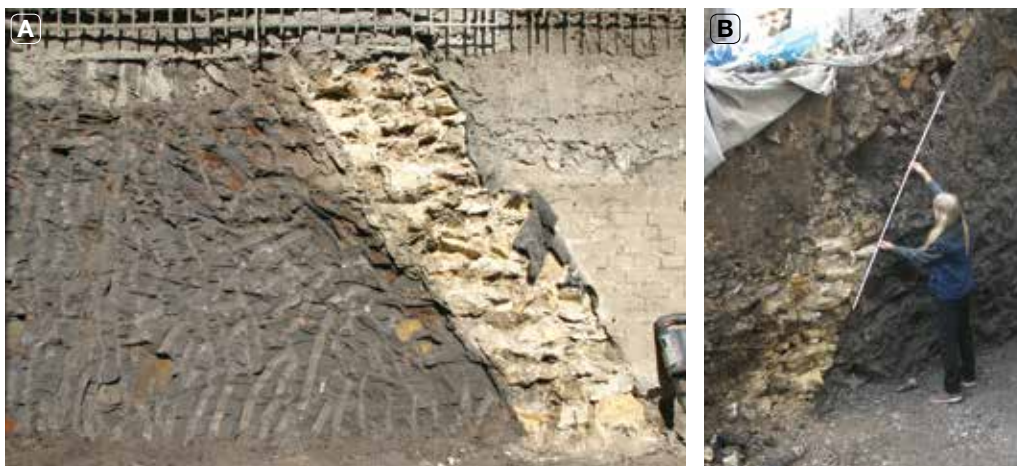


Legenda: 1 – skála;
2 – starší historické terény;
3 – opevnění příkopu;
4 – kapsy vyplněné břidličným štěrkem;

5 – hmoty vrstvy 2540;
6 – líc opevnění – **souvisle** dochovaný, **čárkovaně** rekonstruovaný;
7 – předpokládaná linie vylámané skály.



Obr. 28. Thunovská čp. 192/III. **A** – severní okraj sondy XIV, řez 193. Přímá linie rubu vyzdívky kontreskarpy. **Vlevo** skála, **vpravo** vyzdění oblouků terasní zdi cihlami, geotextilií separovanými od vyzdívky příkopu, a železobetonová konstrukce budoucí stěny bazénu (od J, foto F10184, M. Müller, 25. 2. 2019). **B** – řez 195, obrys vylámané skály pro kontreskarpu (od SV, foto F10242, J. Čiháková, 15. 3. 2019).



V roce 1278 byly stěny ve skále nově vylámaný – obezdění bylo přiloženo na čerstvě obnaženou, nevětralou skálu. Vylámaní skály byl úkon provedený velmi precizně. U kontreskarpy byl v sondě XIV změřen sklon stěny ve skále přesně 60° (obr. 27A). Na dvou (193 a 75) z pěti sledovaných profilů v sondě XIV bylo zjištěno, že stěny skály kontreskarpy byly několika drobnými ústupky směrem k východu (tj. do příkopu) mírně odskočeny (obr. 28A), avšak stále dodržovaly sklon 60° (obr. 30), stejně jako konečná úprava – líc obezdění. Dosažená přesnost sklonu vylámané stěny skály u kontreskarpy je obdivuhodná (obr. 28B). Domníváme se, že stavitelé při lámání skály po-

Obr. 29. Thunovská čp. 192/III. Geologická puklina (a) na řezu 71 souběžná se stěnou eskarpy vylámanou ve skále (b). Puklina je ve vzdálenosti 0,7–0,8 metru od vylámané stěny. Foto po vybourání zdiva eskarpy, západní konec stěny (b) je negativem (rubem) eskarpy (od S, foto F10190, M. Müller, 25. 2. 2019).



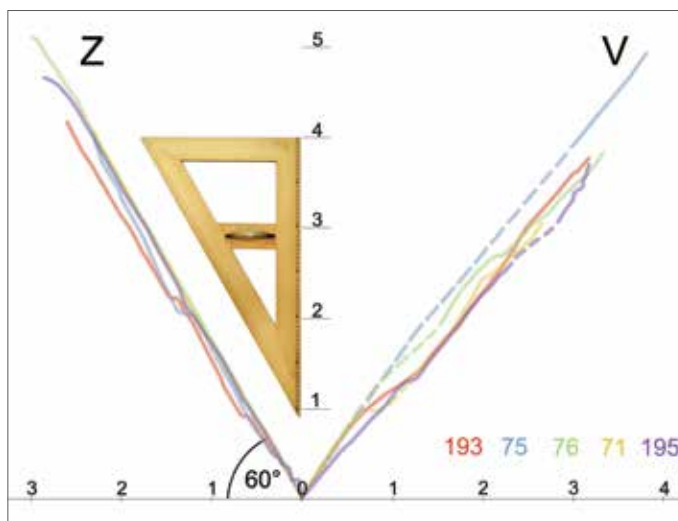
užívali k měření trojúhelníkovou šablonu, která pomocí zavěšené olovnice umožnila požadovaný sklon stěny skály dodržet (obr. 30). Obezdívka kontreskarpy měla v řezu 193 u dna tloušťku 0,74 m, po třech drobných úskocích se postupně rozšířila, takže v horní části příkopu byla tloušťka zdiva o 0,2 m větší.

Na rozdíl od kontreskarpy byl pracovní postup stavby eskarpy poněkud komplikovanější. Sklon vylámané

stěny nebyl všude konstantní, ale mírně se měnil. Zdá se, že změny sklonu stěny byly v některých místech vynuceny přírodními faktory – odlučností vrstev břidlice a přítomností geologických puklin (obr. 29), jinde byly změny sklonu záměrné. V řezu 193 je doložena změna sklonu vylámané skály zhruba v polovině výšky příkopu. V dolní části je sklon skály 56° (obr. 27B: 193: a), následuje geologická puklina (obr. 27B: 193: b) a nad ní změna sklonu na pouhých 50° (obr. 27B: 193: c). Rovněž u řezů 71, 76 a 195 je v horních partiích příkopu skála vylámaná pod úhlem přibližně 50° . V nejsevernějším řezu 193 zůstala nejspodnější část líce eskarpy zachována do budoucna, proto nelze určit sklon vylámané skály přímo u dna příkopu a posoudit, zda se i na rubu eskarpy projevuje změna sklonu líce (obr. 27B: 193: d), který je u dna výrazně prudší (v řezu 193 rovných 80° ; v řezu 86 sondy XVI pak 72°) než sklon líce vyšších partií. Není vyloučeno, že prudké změně sklonu mohl odpovídat i tvar vylámané skály. Směrem k jihu se situace v sondě XIV na zahradě zásadně mění. Skalní povrch prudce klesá k jihu i východu. Východní část příkopu se ve své vrchní části stále více zahlubuje do vrstev nad skálou a vyzdívka eskarpy zpevňuje už nejen skálu, ale i svahovinu a historické souvrství nad ní.²⁴ Bylo zdokumentováno, že stěna příkopu ve skále i v hlíně nad ní byla před obezděním překryta centimetrovou vrstvou roztírané malty (např. obr. 25).

²⁴ Stejně i u kontreskarpy bylo obezdění v místě řezů 89 a 90 severně od skleníku v intervalu 231,0–232,9 zapuštěno do historických vrstev.

Vyzdívka eskarpy není všude provedena v plném rozsahu jako u kontreskarpy, ale rub je místy stavěn schodovitě,²⁵ takže mezi skálou a zdí zůstaly kapsy, které byly vyplněny zvětřelou břidličnou drtí (obr. 27B: 4 červeně). Později se líce eskarpy stal zdrojem kvalitního kamene. Původní líce se tak zachoval výjimečně, pouze v dolní polovině řezů 193 (60°), 75 (60°) a 76 (krátký, neměřitelný); směrem k jihu zůstal pod dnem stavební jámy. Podle těchto



Obr. 30. Thunovská čp. 192/III. Sklony stěn vytesaných do skály pro **kontreskarpu** (vlevo) a **eskarpu** (vpravo), zaměřené na jednotlivých řezech v sondě XIV. Dodržování sklonů, zejména u kontreskarpy, indikuje používání nějakého typu šablony, zde naznačené trojúhelníkem (dle pokynů autora digitalizoval M. Ďurica).

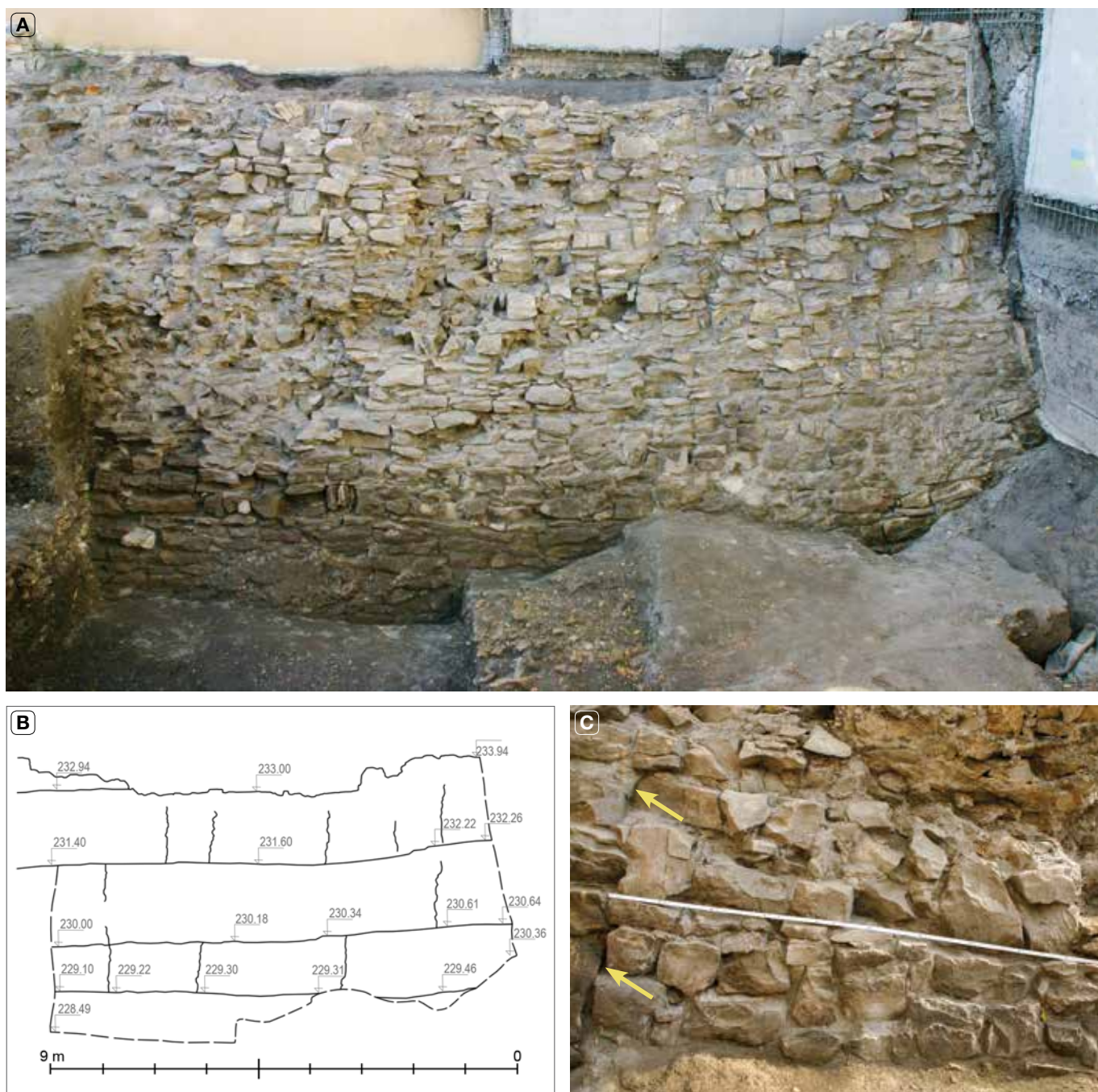
malých odkrytých úseků intaktního líce eskarpy můžeme uvažovat, že sklon zděného líce by mohl být stejně jako u kontreskarpy 60°, a nejspíše stejně pokračoval i v horní polovině eskarpy. Opukové zdivo eskarpy v řezu 193 by se tak ve své horní polovině postupně rozšiřovalo směrem vzhůru. Jestliže v dolní polovině měla obezdívka eskarpy tloušťku 1,05 m, v nejvyšším místě by mohla mít tloušťku mezi 1,8–1,9 m. To už by byl dostatečně široký a pevný základ pro stavbu parkánové zdi.

V sondě VII na severu areálu nebyl získán souvislý řez stěnami příkopu, značně poškozenými mladšími zásahy. Vzhledem k tomu, že zde plošný výzkum byl mělký a s výjimkou anglického dvorku neproběhl do hloubky, naše poznatky vyplývají i z pozorování v drobných mikrosondách a zůstávají fragmentární a izolované. Obezdní zde pro realizaci stavby ničeno nebylo, v dřívějších dobách však bylo poškozeno více než v sondě XIV. Sklon 60° ze sondy XIV pro linii skály pro kontreskarpu se zde neopakuje, ve spodní části profilu skály je vedle přepážky sklon o něco menší (viz dále obr. 44). V horní části kontreskarpy je sklon mírnější než v části spodní, změna může být dána reflektováním můstku přes příkop. O eskarpě bylo v sondě VII získáno jen málo informací, a to pouze statickou sondou v počátku výzkumu v roce 2011. Později již nebyly plánovány žádné zemní práce poskytující příležitost se do těchto míst vrátit. Zmíněná statická sonda zastihla krátkou výšku stěny vylámané ve skále, krátký úsek jejího směru a v jisté vzdálenosti také fragment obezdění. Oproti kapsám v sondě XIV mezi stěnou ve skále, v podstatě se sklonem 60°, a zadní linií obezdění eskarpy, je v sondě VII distance obezdění a skály tak velká, že ji neumíme jednoznačně interpretovat. „Velká kapsa“ není vyplněna břidličnou drtí, nýbrž souvrstvím hlín s příměsí břidlice, ve spodní části přemístěnými svahovými hlínami, nevyskytuje se v ní keramika mladší než 12. století.²⁶

Obě stěny vylámané ve skále byly obezděny masivní zdí z opukových kamenů, v líci spojených pevnou maltou, uvnitř u stěny skládaných často i bez pojiva se vzduchovými mezerami. Líce eskarpy i kontreskarpy byly pečlivě vyzděny lomovou opukou na bělavou maltu s výraznými pecičkami vápna. Ve zdivu obezdění byly zřetelné technologické spáry, a to jak horizontální (ložné), tak svislé. Ložné spáry ve zdivu nebyly vodorovné, stoupaly k severu. V odhalených nejnižších partiích téměř kopírovaly sklon dna příkopu, spáry vyšších poloh měly postupně sklon mírnější. Výškové intervaly mezi ložnými spárami se pohybovaly zhruba mezi 0,7–0,8 m. Nejspíše byly rozměřovány na stěně vytesané do skály, při poměrování šikmé vzdálenosti mezi spárami se často objevuje interval 1,5 lokte (0,89 m). Kromě ložných spár jsou na líci a v jádru zdiva výrazné spáry svislé (obr. 31B). Zda se zdílo po blocích kvůli urychlení práce a dodržení správného sklonu líce mezi vyměřenými úseky, kvůli umístění lešení a plynulou dopravu materiálu nebo z jiných praktických důvodů, není zřejmé. Překvapivě je v líci poměrně časté umístění kamenů na výšku, tedy nikoli ve směru horizontálním, který je přirozený a odpovídající sedimentaci opuky. To vedlo k rozpukání a postupné degradaci takto ložených kamenů (obr. 31C). Zajímavým prvkem je

25 Zřetelné na řezech 193, 76, 71 (viz obr. 27B) a 68 (obr. 26).

26 Pedologická sondyčka registrovala pod dnem statické sondy šedou svahovou hlínu se zrny břidlice do 1 cm interpretovanou jako zvětřelá skála (vr. 135 na řezu 18; 243,74/Bpv), překrývaly ji přemístěné svahoviny v různých tónech hnědošedé (vr. 138; 234,56/Bpv, nejvyšší bod na stěně 245,16/Bpv), v místě řezu 18 nejvyšší bod skály 246,00/Bpv. Svahoviny byly překryty vrstvou malty na kótě 244,6 („staveništní vrstvou“) k rubu obezdění.



Obr. 31. Thunovská čp. 192/III.
A, B – ložné spáry zřetelné na kontreskarpě (od V, foto F9778, M. Müller, 4. 10. 2018; zaměření autoři, grafická úprava M. Ďurica);
C – pohled na líc eskarpy mezi řezy 75 a 76 s kameny postavenými na výšku (a tím se svislými puklinami) a s ložnou (bíle) a styčnou (šipkami) spárou (od Z, foto F9876, M. Müller, 15. 10. 2018).

ve spodní partii eskarpy ponechaný blok rostlé skály $1,05 \times 0,7$ m prostupující celou šířkou zdi až do líce (obr. 32), který nejspíše plnil funkci stabilizujícího čepu zdi v prudkém svahu. V dolních partiích eskarpy i kontreskarpy se místy zachovala kvalitní omítka, není tedy vyloučeno, že původně mohly být oba líce příkopu kompletně omítnuty.

Dno příkopu známe v plné šířce z řezu 75 na severu sondy XIV. V tomto místě je mezi líci obezdění šířka příkopu u dna 4,44 m (7,5 loket = 4,436 m), šířku jeho dna vysekanou ve skále odhadujeme na 6,0 m (10 loket = 5,916 m).²⁷ Dno příkopu nebylo v Z–V směru vodorovné – na západě bylo o 0,7 m vyšší než na východě; skalnaté dno bylo nahrubo vylámané, pouze 1,9 m dlouhý úsek na východní straně vykazuje pravidelnou plochu mírně se sklánějící k východu. Nikde jsme nenalezli stopy případného vyzdění či dláždění dna. V podélném směru (S–J) se dno příkopu podařilo plynule sledovat v úseku 7 m dlouhém na řezu 74, vedeném v blízkosti podélné osy

²⁷ Dno příkopu se nachází pod základovou spárou konstrukce bazénu. Spodek obezdění příkopu v místě řezu 75 je zachován pro budoucnost, a tak šířka základu pro vyzdívku příkopu vytesaná do skály není známa. V řezu 193 je v nejnižším rozebraném místě (230,00/Bpv) kontreskarpka široká 0,66 m, eskarpa je široká 1 metr.



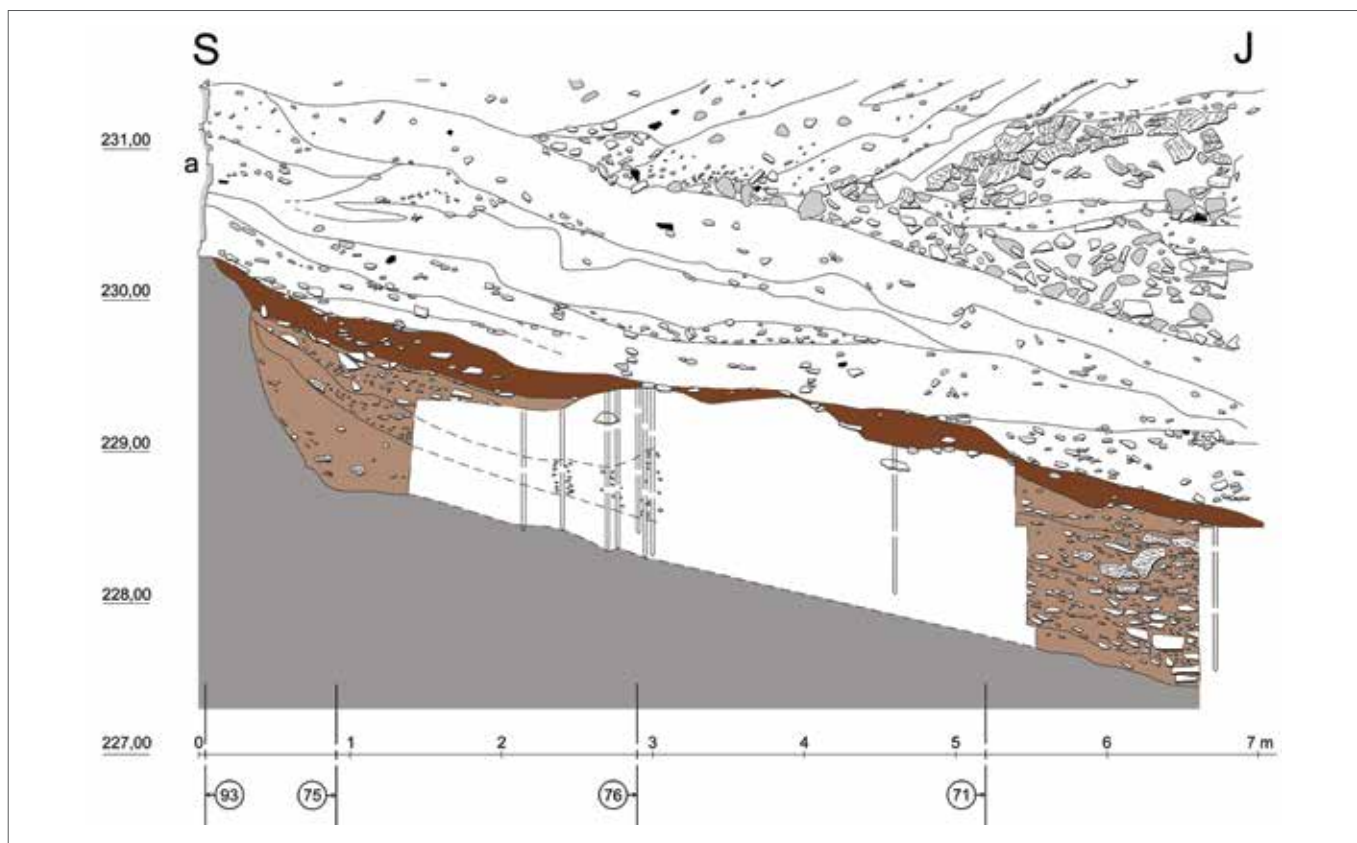
Obr. 32. Thunovská čp. 192/III. Blok skály (a) jako čep procházející eskarpou až do jejího líce (viz B). Zdivo označené písmenem b není součástí vyzdívky z roku 1278, je mladší a založené do výkopu porušujícího eskarpu. (A – od JZ, foto F9803, B – od V shora, F9832, M. Müller, 8. 10. 2018).

příkopu: na severu bylo dno odhaleno mezi řezy 193 a 75, na jihu odkryto drobnou sondou jižně od řezu 71, v prostoru mezi těmito místy bylo dno příkopu zmapováno pedologickou sondýrkou (obr. 33).²⁸ Dno příkopu stoupá ve sklonu 13,5–15° až k patě příčného prahu vysekaného ve skále (228,75/Bpv), vysokého minimálně 1,6 m, jehož stěna o sklonu 60° odpovídá sklonu kontreskarpy. Nesouvislé pozůstatky dna příkopu známe i ze sondy XIII na západním konci refektáře,²⁹ v níž byly odkryty i fragmenty obezdění a hran vylámaných do skály. Jejich vzdálenost měřená kolmo na jejich průběh činí 6,8 m (11,5 lokte). Hrana eskarpy byla zastížena i pod povrchem zahrady před jižní fasádou refektáře v sondě IX, v jejím sousedství sondou IV z roku 2001 rovněž dno příkopu.³⁰ Severněji bylo dno příkopu detekováno sondou XVI pod podlahou chodby 2. patra na kótě 238,20 (obr. 34). Dno zde bylo v délce 0,6 m ploché a rovné (směr Z–V), bez

28 Dále k jihu se již údaje o dnu příkopu získat nepodařilo. Na jižním konci strojovny, ve vzdálenosti 17 m jižně od paty stupně, je dno hlouběji než kóta 226,58.

29 V refektáři se dno příkopu nachází v intervalu 234,6–235,3/Bpv, nejvyšší bod představuje hloubku 0,7 m pod historickou podlahou, a 1,1 m pod podlahou z doby výzkumu. Dochovalo se jen do vzdálenosti 5,2 m od jižní fasády, severněji byly pozůstatky příkopu plošně odříznuty. Za zmínku stojí, že podél celé délky severní obvodové zdi refektáře je břidlicová skála (vlivem vlhka?) zjímavě černá, lze ji s trochou námahy škrábat škrabkou – nejedná se o historickou vrstvu, nýbrž degradovaný geologický podklad.

30 Hrana eskarpy v sondě IX byla registrována v intervalu 235,72–235,88/Bpv, leží na přímé linii s hranou v sondě XIII. Dno příkopu zde v intervalu 234,25–233,7/Bpv klesalo k jihu, kde bylo detekováno v sondě IV zjišťovacího výzkumu z roku 2001. Tato sonda je unikátní, neboť pod násypy z výplně příkopu jsou zde pod jeho dnem registrovány světle šedohnědé, velmi uhlé, tuhé svahové hlíny. Ve spojení s povrchem skály 235,8/Bpv v bezprostředním východním sousedství se může vztáhat množství nezodpovězených otázek a hypotéz, např. starobylý zásah(?) do skalního podkladu.



Obr. 33. Thunovská čp. 192/III, sonda XIV, řez 74. Podélný profil schodu/prahu a sklon dna příkopu v blízkosti osy příkopu (viz obr. 24, 40). Legenda: **hnědé** půda; **světleji hnědé** středověké souvrství; **a** – pilíř terasní zdi se základovou spárou; **b** – nezkoumaný blok pod dnem stavby mapovaný sérií vrtů pedologickou sondýrkou (zaměření autoři, grafická úprava M. Ďurica).

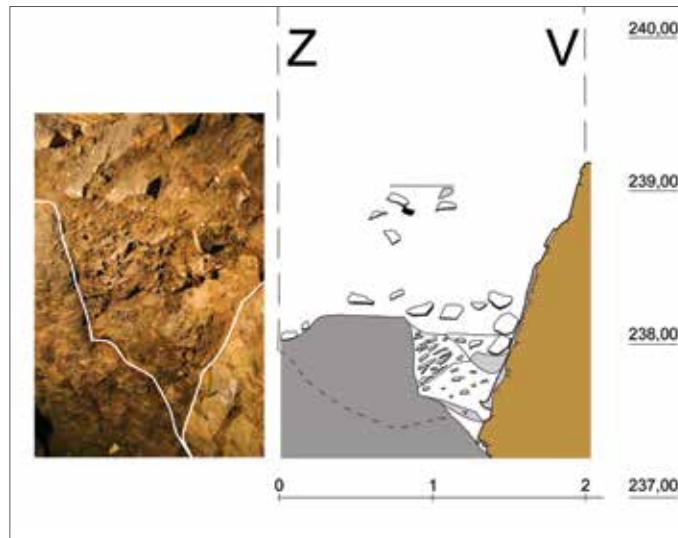
kamenné úpravy.³¹ V severním sousedství sondy XVI se nachází „severní zahrádka“ ppč. 503. Zde dno příkopu (240,54/Bpv) narazilo na nečekaný a neobvyklý strategický prvek – na 4 m vysokou masivní zděnou přepážku přerušující průběh příkopu. Její několik metrů široká koruna vznikla dříve než obezdění přemyslovského příkopu.

Koruna přepážky (vr. 380) je olámaná, uzpůsobená pro mladší zdiva na ni nasedající. Nejlépe zachovalý je pás koruny ve vzdálenosti cca 2 m od (jižního) líce, kde je koruna na délku 3,5 m maltová, hladká a víceméně vodorovná (244,50–244,52–vyšší než 244,36/Bpv); původní výška přepážky tak dosahovala 4 metry. Na straně kontreskarpy je zapuštěna do skály na šikmé stěně ve sklonu 55,4° se dvěma rozšiřujícími stupni (obr. 36). Protější východní stranu přepážky výzkum nezastihl, její celkovou šíři jsme tak nezjistili, v úseku obnaženém kvůli zřizování anglického dvorku z ní bylo odkryto 5 m délky, na dně příkopu 1 metr. Líc přepážky byl oprýskán či odsekán a v době raného novověku nahrazen obezdívkou (vr. 396), hmota kamenů líce však zůstala zachována a bylo možné jejich obrysy rozpoznat a zakreslit. Líc byl vyskládan z opukových balvanů průměrně 0,5 m dlouhých a 0,3–0,4 m vysokých; nejspíše byl svislý. Spodních 0,9 m sestávalo ze tří maltových vrstev, v nichž byly vedle opukových kamenů zalaty i kusy břidlice a říční valouny. Základová spára obložení leží na kótě 241,44/Bpv. Do této výšky současně dosahuje obezdění příkopu (vr. 401) přisazené k přepážce a překrývající pohled na ni.³² Maltý obezdění 401 a přepážky 380 byly odlišné. Kvůli nebezpečí v hlubokém stísněném prostoru nebylo možné plně odstranit obezdění a prozkoumat poměry ve spodní části přepážky tak, jak bychom si přáli (obr. 37). Severní konec přepážky jsme neobjevili, mikrosondou jsme zjistili, že severojižní šířka přepážky je větší než 4 metry a pokračuje k pilíři můstku. V místě mikrosondy jsme pod dnem novověkého zásahu zastihli bázi obezdění kontreskarpy, které ve výšce 244,64/Bpv na korunu přepážky nasedalo (obr. 44). Skromné pozůstatky po zdívu obezdění kontreskarpy jsme sledovali do výšky 246,94/Bpv (na řezu 57) a 248,08 (na řezu 64). (Poškozená) linie vylámané skály pokračovala

31 Podobně jako v sondě IV, i zde se pod dnem nacházela situace otevírající další otázky. Až na dno sondy dosahuje tuhý černý materiál zfilovatělé břidlice, který by mohl být v primárním uložení, v západní stěně sondy však v něm na plochu ležely dva opukové kameny (cca 15 cm). Šachta označená později jako sonda XVI byla objevena náhodou již vykopanou stavbou, která na její dokumentaci poskytla 3,5 hodiny. Doba postačovala na zřízení osvětlení sondy, očištění stěn a dokumentaci severní stěny a stěny východní tvořené lícem eskarpy. V sousedství šachty zůstaly terény zachovány.

32 Při obezdívání přepážky v raném novověku zdí 396 nejspíše obezdění skály před přepážkou ubourali a snížili, proto se koruna obezdění shoduje se základovou spárou zdi 396 i líce z balvanů přepážky vr. 380.

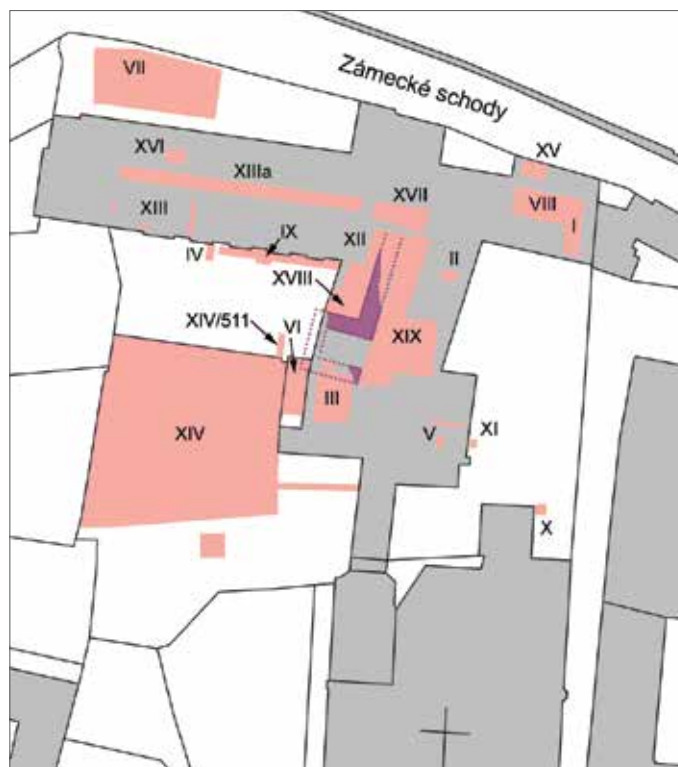
vzhůru, nejvyšší bod skály byl zastižen v bezprostředním sousedství jámy pod padacím mostem na kóte 250,60/Bpv (řez 60). Šířka přepážky směrem k severu přesahující 4 m vylučuje, že by se jednalo o zeď v příkopu ve tvaru hradby. Předpokládáme, že zjištěná konstrukce je nejdříve vertikálním, a poté horizontálním důkladným obezděním vysokého stupně vytesaného ve skále. Místo v těsném okolí mostu přes příkop je tak jediný úsek dna příkopu, kde dle našeho mínění byla



skála ošetřena a uzavřena obezděním, velice pevným a kvalitním, s víceméně hladkým povrchem, o němž mluvíme jako o koruně přepážky. Zjištěním, že na ni – tj. na obezdění dna – nasadí standardní obezdění stěny kontreskarpy, jsme hloubení mikrosondy (řez 57) ukončili. V té době nás nenapadlo pokračovat hlouběji, snažit se prosekát pod korunu přepážky a zjistit její tloušťku dosažením skály.

Základovou spáru obezdění jsme bezpečně zastihli na jediné sondě XIV, na eskarpě v úseku mezi řezy 193 a 75 (obr. 39), a s jistotou mírou pravděpodobnosti jsme se pohybovali v její úrovni v řezech 75 a 71 u kontreskarp. V sondě XIII zbyl převážně jen negativ vyzdívky s několika rozptýlenými kameny. Zvláštní pozornost si zaslouží technické řešení základu obezdění v místech prahů/stupňů. V sondě XVI (2. patro) byla zastížena unikátní situace, kde základové zdvo eskarpby bylo založeno do vysekaného žlabu v hloubce 0,9 m pod úrovní dna příkopu, líc eskarpby opatřen omítkou a žlab zasypán (obr. 34; řez 86) – mluvíme o „začepování“ zdva eskarpby do žlabu ve skále. Podobně na severním konci sondy XIV v řezu 193 jsou po obou stranách prahu/stupně vysekané žlaby na úroveň spodního dna příkopu a do nich vyzděna obezdění stěn (obr. 40B). Je to v místě, kde se na dně příkopu nachází příčný práh a kde dno příkopu prudce kleslo o (minimálně) 1,6 m k jihu (obr. 33 řez 74). Přímou u paty prahu, v řezu 75, je už situace zcela jiná. Žlaby zde chybějí a základové kameny obezdění jsou na obou stranách položeny přímo na vysekané dno příkopu. Jsou však chráněny originálním způsobem – jsou překryty nesmírně tuhou hmotou s opukovými štěpinami (vr. 2540; obr. 27: 5; 38), kterou jsme zprvu považovali za sekundárně ztvrdlý, původně zvodnělý povrch skály, do něhož byly opukové zlomky zatlačeny. Jan Zavřel zpochybnil způsob opětovného ztvrdnutí přirozenou cestou a navrhl použití nějakého zpevňovacího prostředku napouštěním. Proto jsme odebrali vzorky, které čekají na svou analýzu. V místě eskarpby

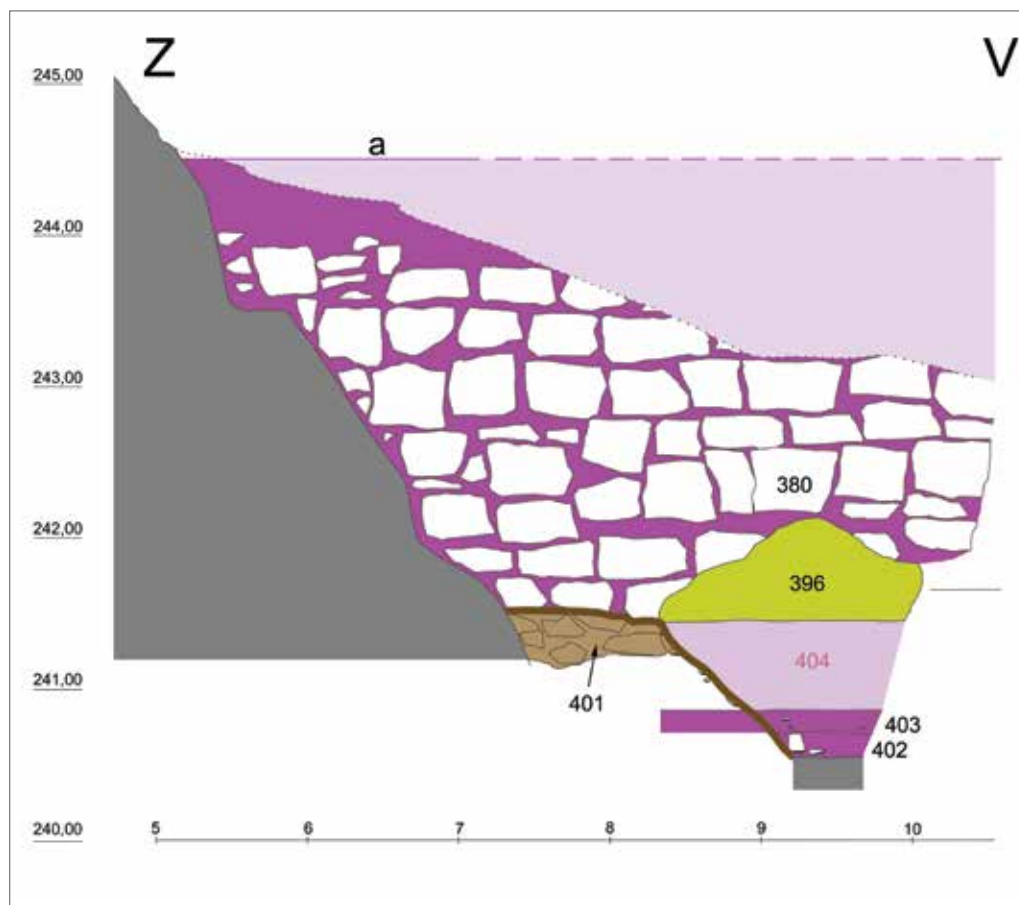
Obr. 34. Thunovská čp. 192/III, son-
da XVI, **řez 86**. Pohled na založení
paty obezdění do žlabu vytesaného
pod dno příkopu (zaměření autoři,
grafická úprava M. Ďurica; od J,
foto F2069, M. Müller, 15. 11. 2012).



Obr. 35. Thunovská čp. 192/III. Záchraný archeologický výzkum NPÚ v Praze č. 2011/03, doba trvání výzkumu: 2001, od 2011 dosud neukončen. Lokalizace sond (dle terénní dokumentace M. Ďurica).

vrstva 2540 zakrývala se základovou spárou i nejspodnější řádek kamenů menší výšky. Patrně vlhkost prosakující podél východní strany prahu vrstvu 2540 u eskarpny změkčila natolik, že se ji podařilo odstranit a dosáhnout obnažené základové spáry. V místech řezů 75 a 71 se vrstvu 2540 u dna odstranit nepodařilo a výška nejspodnějších kamenů i průběh základové spáry zůstaly skryty.

Obr. 36. Thunovská čp. 192/III, sonda VII (ppč. 503). Přepážka v příkopu (vr. 380) v těsné blízkosti 2. patra západního křídla domu. Pohled do jádra kamenů po oprýskání jejich původního povrchu (pohled na sekundární líc). Zaměřeno po odbourání raně novověké obezdívky vr. 396. Šikmá linie koruny je druhotná, kameny byly vylámaný; **a** – původní povrch přepážky (zaměření autoři, úprava M. Ďurica).

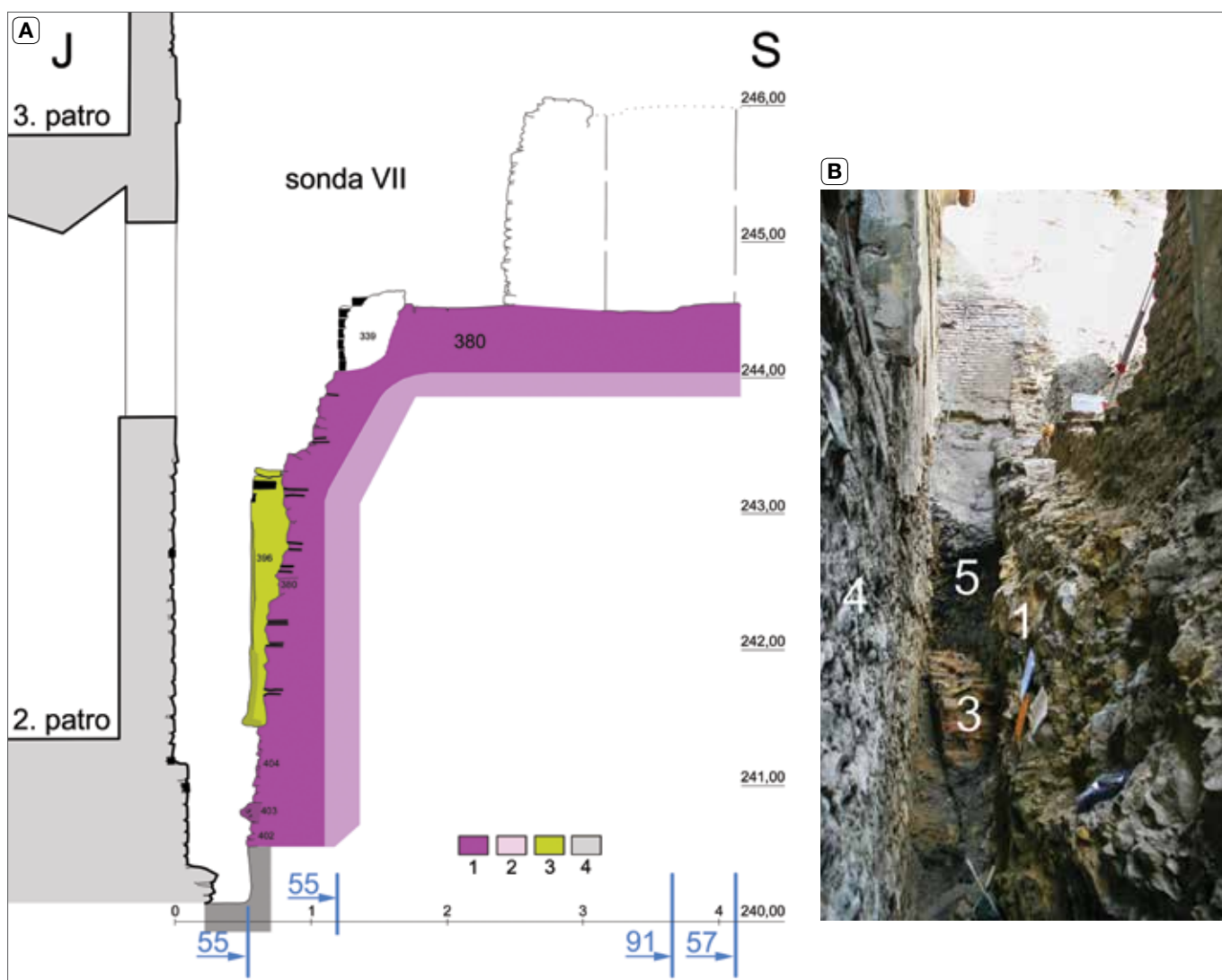


Stanovit základní parametry příkopu – šířku a hloubku – není snadné, neboť zatím nebyla definována úroveň parkánu, z níž byl příkop zahlouben, a proto rozměry šířky i hloubky mohly být původně vyšších hodnot. Naměřená **hloubka** příkopu v místě řezu 75 je na východě minimálně 5,4 m pod předpokládanou úrovní parkánu (obr. 42). Shodný údaj 5,4+x m poskytl na řezu 193 rozdíl mezi druhotně sníženým povrchem mladohradištní stratigrafie 234,10 a patou prahu na dně příkopu 228,75/Bpv. Ve skále vylámaná stěna pro západní kontreskarpou plynule navazovala na již zmíněný vysoký skalní blok skrytý v parcele ppč. 510. Do jaké výšky dosahovalo její obezdění a pak přecházelo ve skálu, nedokážeme říci; nejvýše je registrováno na kótě 234,4 (řez 193; 5,6 m nad dnem). Poměry v sondě VII nejsou tak přehledné, jsou přizpůsobeny přítomnosti můstku přes příkop a pojednány níže.

V sondě XIV **šířka** příkopu mezi vnitřními líci obezdění dosahovala na dně 4,4 m (7,5 lokte), na nejvyšším dochovaném místě je na řezu 75 rekonstruována na 9,6 metru. Vzdálenost mezi stěnami vysekanými ve skále činí ve svrchní partii příkopu cca 12,6 metru, u dna je pouze odhadována, a to na cca 6 metrů. V nejjižnějším zastiženém místě obezdění byla na řezu 195 konstatována rekonstruovaná světlost v nejvyšším místě obezdění příkopu 12,2 m a šířka mezi stěnami ve skále 14,1 metru. Měřitelnou šířku do skály vytesaných stěn příkopu na samém dně poskytl sonda XIII v refektáři, kde činila 6,8 m (11,5 lokte).

K příkopu z roku 1278 uvádí letopisec šířku 40 loket ($40 \times 0,5914 = 23,66$ m) a hloubku 50 loket ($= 29,57$ m).³³ Mezi soudobým záznamem a reálnými rozměry se objevil velký rozpor.

³³ „Renovatum est et antiquum, quo est propius muro castris, ab una parte muro caementato erectum est. Alia pars eius non est renovata; latitudo eius XL cubitorum, et altitudo L erat.“ (FRB II – LET. ČES., 302–303).



Nevylučujeme však, že mohl rozměry 40 a 50 loket minit v římských stopách, které by poskytly údaje blízké realitě: šířku $40 \times 0,296 = 11,8$ m (v řezu 195 dochováno 12,2 m) a hloubku $50 \times 0,296 = 14,8$ metru (rekonstrukce hloubky od paty brány před můstkem až po vyzděné dno příkopu u přepážky činí právě 14 m = 47,3 stop).³⁴

Jak by mohlo vyplývat z výškově-prostorových lokalizací jednotlivých zastižených úseků (obr. 41), bylo dno příkopu na prudkém svahu pravděpodobně kaskádovitě členěno stupni, jejichž rytmus nám však zůstal skryt. Lze s nimi počítat i na základě rozdílu mezi sklonem dnešního svahu cca 20° a měřitelným sklonem dna příkopu v sondě XIV cca 14° . Domníváme se, že příčné prahy/stupně na dně příkopu plnily minimálně dvě funkce. Zaprvé obrannou, pro znemožnění snadného přesunu oblátek po dnu příkopu. Obrannou funkci jednoznačně spatřujeme u 4 m vysoké, výrazně bytelně pojedené přepážky, která jistě znesnadňovala průchod příkopem vzhůru a výrazně tak přispívala k obraně Hradu. Zadruhé zpomalovaly proud vody během přívalových dešťů, ženoucí se z prudkého hradního svahu strmým příkopem směrem k jihu. Plnily stejnou funkci jako zpomalující uměle vytvořené kaskády na horských tocích.

Obr. 37. Thunovská čp. 192/III, sonda VII. **A** – řez přepážkou složený z terénních řezů 65+66 a půdorysů 33+38. Legenda: **1** – svislý sekundární líc a rovná, víceméně hladká koruna přepážky v příkopu (vr. 380), která je nejspíše stupněm ve skále ošetřeným kvalitním opukovým obezděním, jehož tloušťka není známa; **2** – hypotetické pokračování tloušťky obezdění; **3** – raně novověké obezdění svislého oprýskaného líce přepážky (vr. 396); **4** – obvodová zeď západního křídla domu čp. 192; **5** – do skály tesaná západní stěna příkopu v sousedství přepážky. **B** – pohled do výkopu prohlubujícího anglický dvorek, v němž byla objevena 4 m vysoká přepážka přehrazující příkop (od V, foto F1244, M. Müller, 2012).

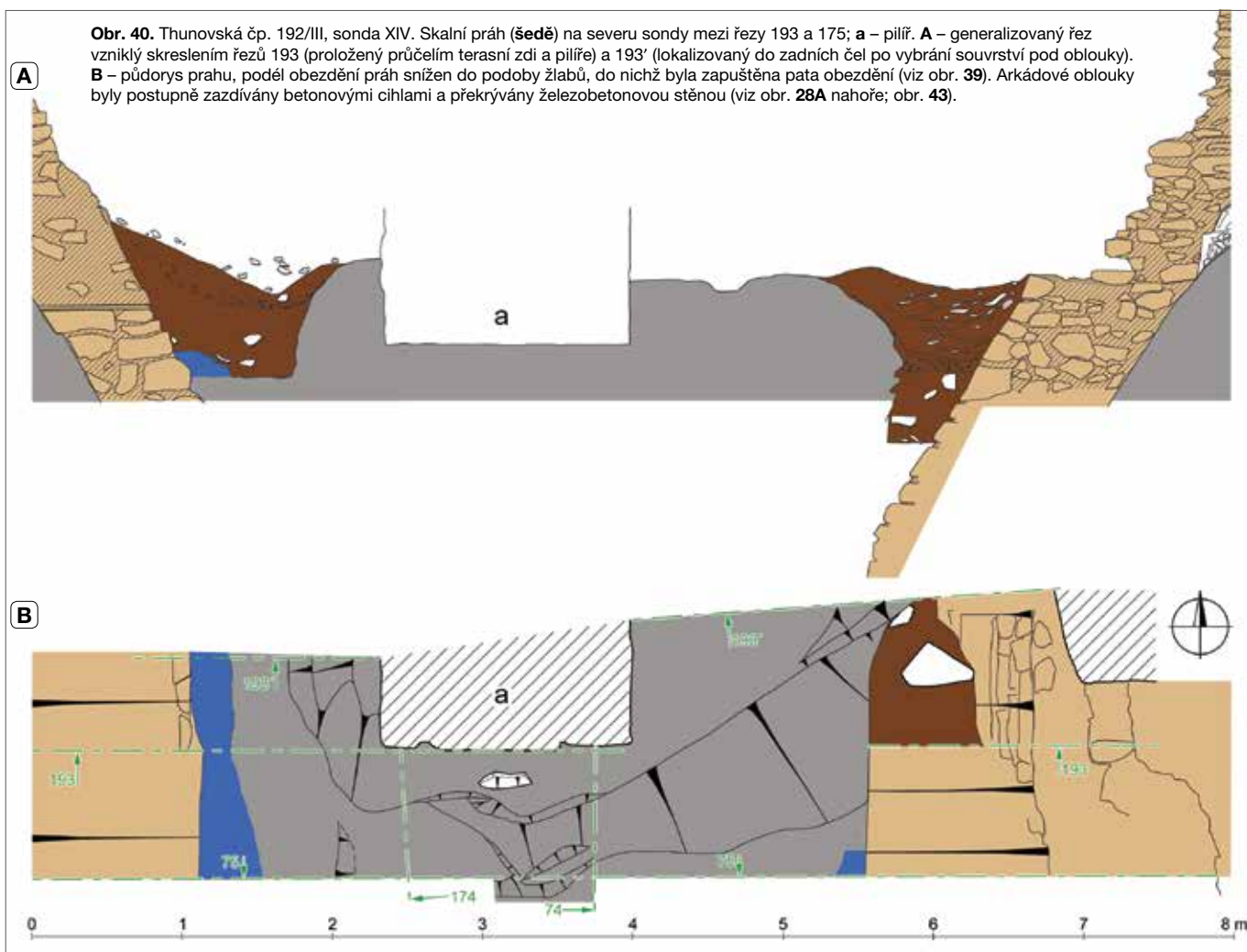
³⁴ V originále je jako jednotka uveden *cubitus*. Toto označení se používalo v antice pro délkovou míru o hodnotě 0,444 metru a je překládáno jako loket (HLAVÁČEK/KAŠPAR/NOVÝ 1997, 143; SEDLÁČEK 1923, 4 a 26–27). Pro stopu byl v antice pojem *pēs*. Ve středověku se v Čechách délka lokte zvětšila na 0,5914 m a tato délka (na rozdíl od antické míry) odpovídá přesně dvěma římským stopám.

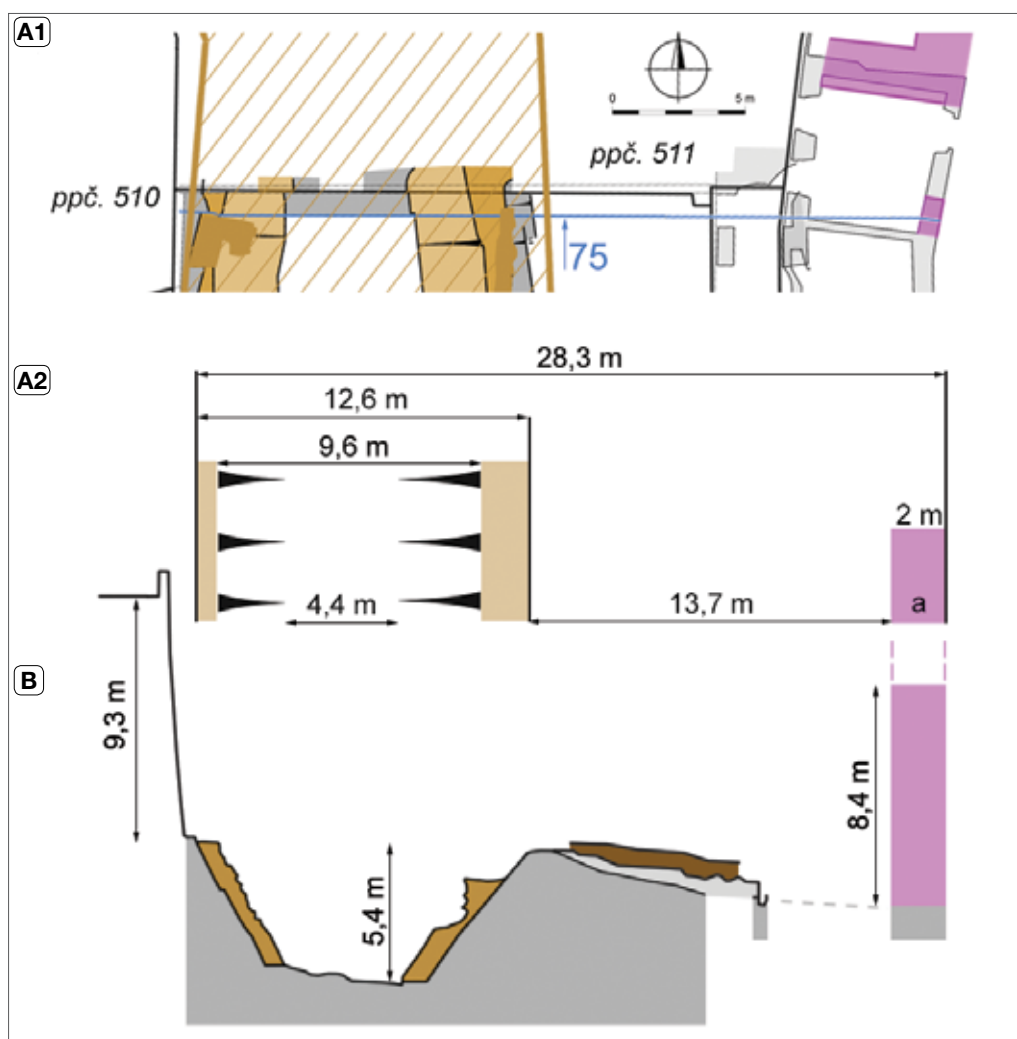
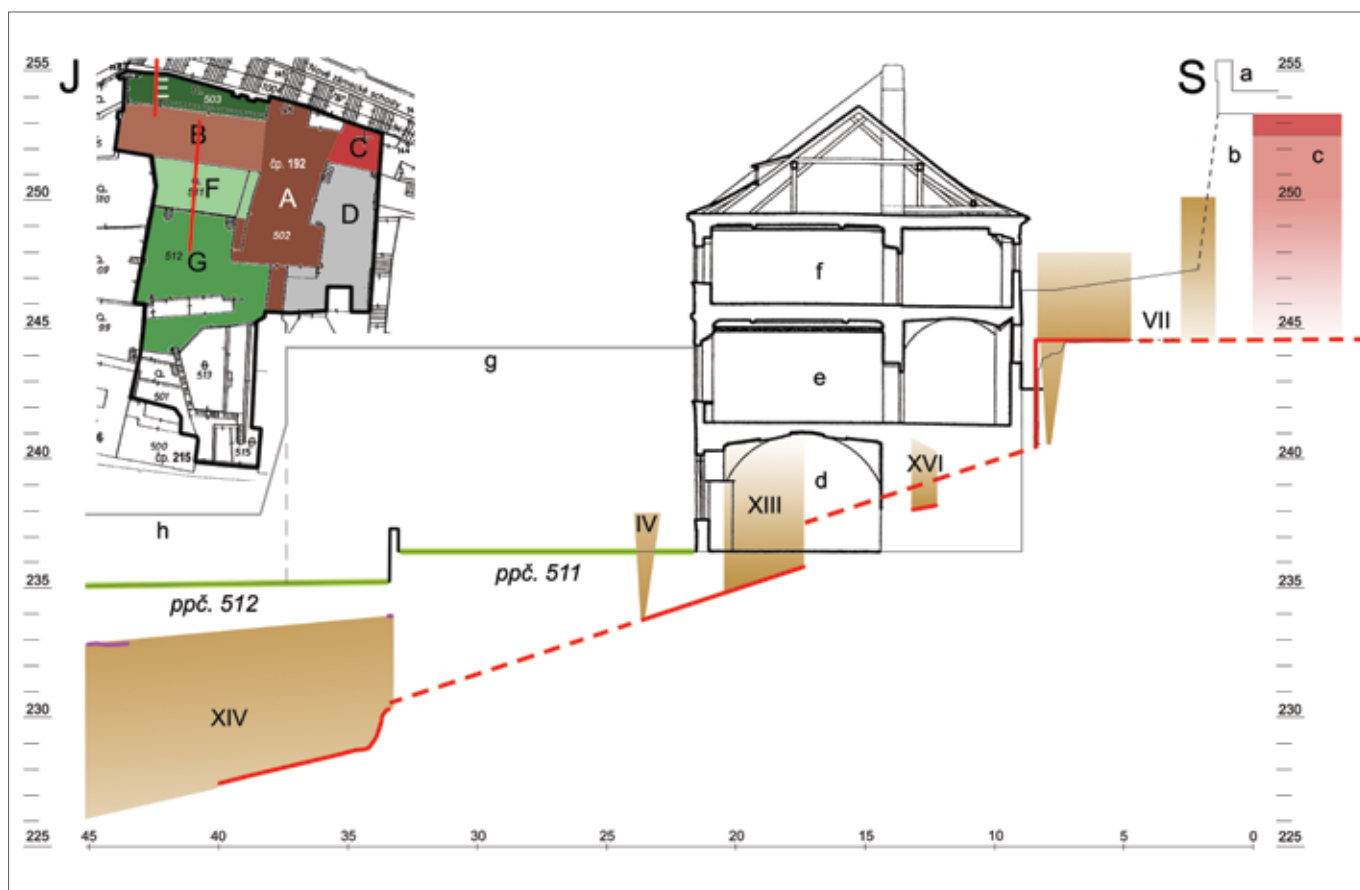


Obr. 38. Thunovská čp. 192/III, sonda XIV. Nejspodnější (základové?) kameny kontreskarpy, patrně ve výšce základové spáry, v místě řezu 75. Vlastní základová spára je skryta za zbytkem vrstvy 2540 (a), který se kvůli tvrdosti nepodařilo odsekát. Vpravo stěna prahu, za níž je skryt žlábek podél vyzdívky (od V, F9864, M. Müller, 11. 10. 2018).



Obr. 39. Thunovská čp. 192/III, sonda XIV. Pohled na nejspodnější úsek líce eskarpy obnažený mezi řezu 193 a 75 (vpravo) – jediné místo v sondě XIV, kde byla po odsekání vrstvy 2540 bezpečně odhalena základová spára. Kameny na bázi vyzdívky jsou poměrně nízké, jejich výška byla skryta za vrstvou 2540 (od Z, F9845 – detail, M. Müller, 9. 10. 2018).





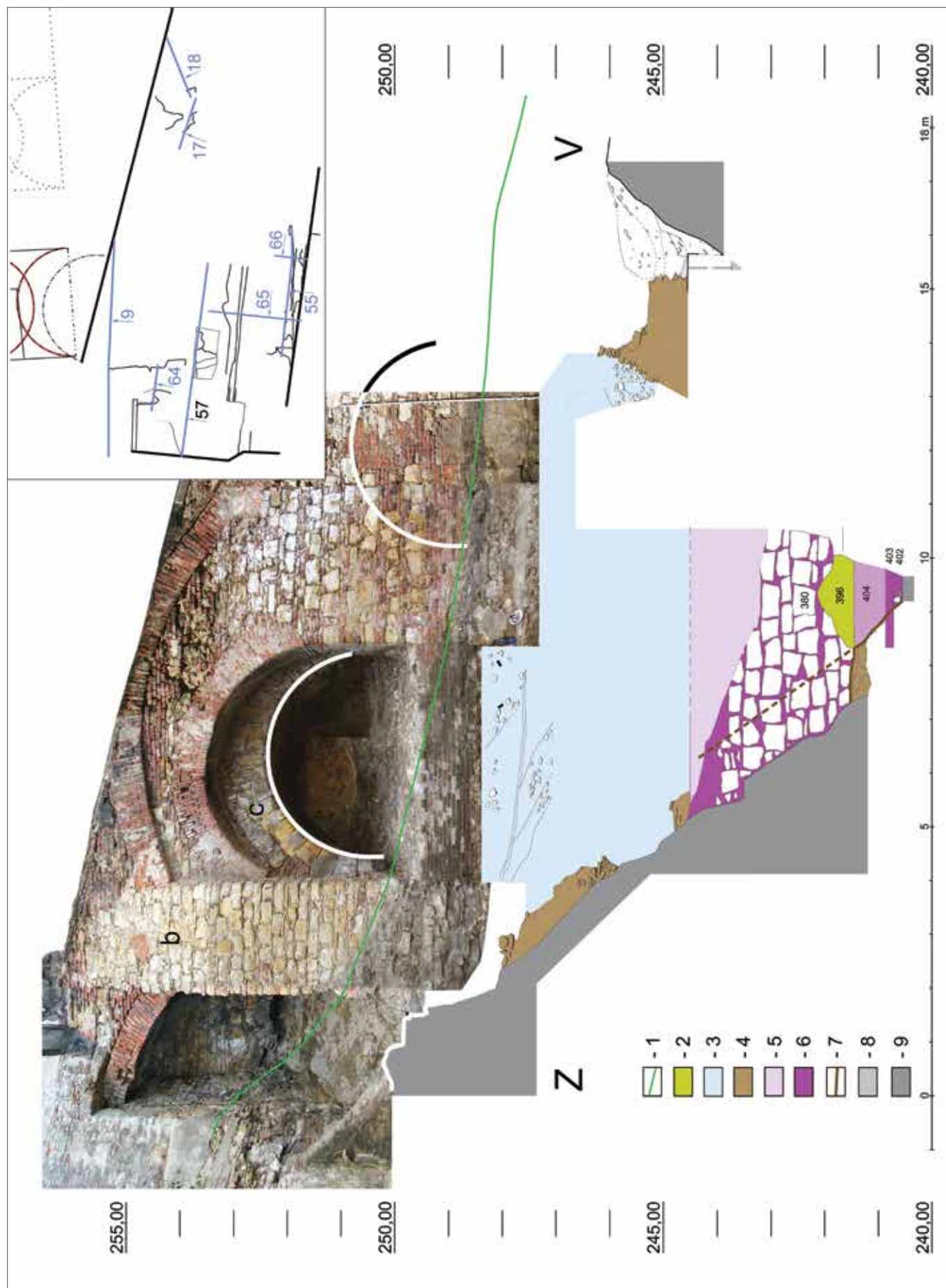
▲ Obr. 41. Thunovská čp. 192/III. **Generalizovaný S–J profil dna příkopu (červená linie)** v areálu theatinů, na severu řez mostem (**červeně**) a pokus zjistit hloubku příkopu (**okrově**). Řez prochází budovou západního křídla domu (**B**), jehož přízemí odpovídá 1. patru hlavní budovy (**A**). Odkryté úseky dna **červeně plně**, předpoklad **čárkované**, okr **zsvětluje** směrem k neznámé hodnotě. Legenda: **a** – Zámecké schody; **b** – čelo barokního obezdění pilíře; **c** – gotický můstek přes příkop; **d** – refektář v 1. patře domu; **e** – 2. patro; **f** – 3. patro; povrch ppč. 512 je ve výšce výchozího stavu z roku 2001. V pozadí **g** – terasní zeď na hranici parcely 510 s korunou 244,3; za zdí povrch terénu 243,4/Bpv; **h** – terasní zeď na hranici parcely 509 s korunou 237,86; za zdí povrch terénu 237,20/Bpv. Římsky čísla sond (řez domem INRECO Společnost pro rekonstrukci památek, 2001, zaměření úseků příkopu a korun terasních zdí g–h autoři, digitalizace M. Duřica).

◀ **Obr. 42.** Thunovská čp. 192/III. Parametry fortifikačního pásu v místě **řezu 75** v sondě XIV.
A – půdorys, **B** – řez.
Fialové „a“ šířka městské zdi.
 Za 9,3 m vysokou terasní zdí je parcela ppč. 510 se zbytkem skalního bloku (viz obr. 23: A). **Šedá** skála, v řezu **světle šedé** svahová hlína, **tmavě hnědé** raně středověké souvrství (dle pokynů autorů M. Ďuríka).



▲ **Obr. 43.** Thunovská čp. 192/III, sonda XIV. Od jihu celkový pohled do příkopu v závěru výzkumu. **Vpravo** eskarpa (s vyčnívajícím barokním blokem zdíva – základ schodiště?), **vlevo** kontreskarp pod vysokou zdí parcel 510 (vzadu) a 509. Čelně postupně budovaná betonová plenta před terasní zeď mezi parcelami 511 a 512 (zeď budoucího bazénu). Dno příkopu nedosaženo – obezdění pokračuje dále do hloubky (foto M. Frouz, 15. 10. 2018).

▼ **Obr. 44.** Thunovská čp. 192/III, sonda VII (ppč. 503). **Generalizovaný řez G6** zobrazující výškové vztahy mezi jednotlivými prvky opevnění z 2. poloviny 13. století na „severní zahrádce“. Složeno z několika řezů (9, 17, 18, 55, 57, 64, půdorys 37). Sírkové vztahy jsou poznamenány rozdílnými polohami řezů vůči ose příkopu. Legenda: **1 zelená linie** – povrch zahrádky do roku 2011; **2 oranžové** – zbytek opukovo cihlové plenty (vr. 396) nahrazující opřýskaný lic raně gotické přepážky, z bezpečnostních důvodů nebylo možné odstranit; **3 modře** – renesanční vrstvy a mladší vložná zdíva zaplňující příkop; **4 hnědá plocha** – obezdění příkopu severně od lice přepážky, **5 světle fialové** – původní koruna přepážky a dna příkopu; **6 fialové** – poškozený lic přepážky z opukových kamenů na pevnou maltu (vr. 380), Koruna druhotně snížena, maltové vrstvy 403+402 součástí přepážky, jejich průběh skryt za přítisknutým severním ukončením obezdění kontreskarp na nižším stupni (viz 7); **7 hnědá linie** – obezdění příkopu na nižším stupni před licem přepážky dochované, **čárkované** – pokračování obezdění rekonstruované; **8 světle šedě** – svahová hlína; **9 sytější šedě** – skála; **b** – pilíř pro Zámecké schody; **c** – západní oblouk gotického můstku přes příkop, východní oblouk gotického můstku odhadem.



Parkán

Prostor mezi hradební zdí a příkopem zaujímal parkán. Objev parkánové zdi v roce 2017 bylo první fyzické, jednoznačné potvrzení existence parkánu u malostranského raně gotického opevnění. Dosud byl znám jen ze tří ne zcela jednoznačně interpretovatelných zmínek v archivních zprávách z 16. století k domům čp. 246 a 248/III (HOLANOVÁ 1969, 1–2, 15) a v některých místech na jižní a východní hranici města o něm bylo uvažováno na základě terénních indicií.

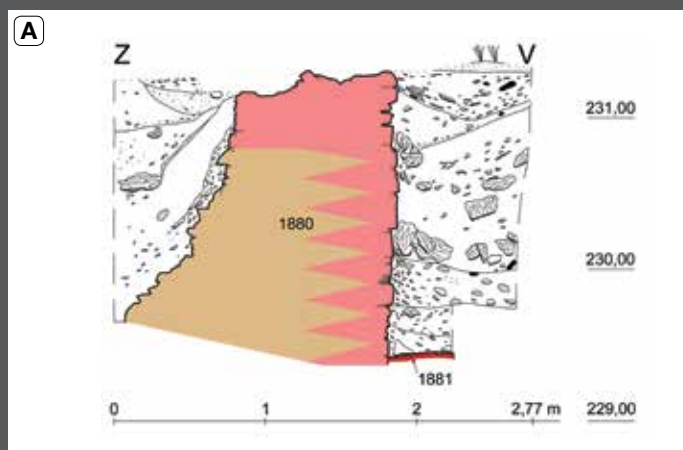
Parkánovou zeď se nám podařilo odhalit a zdokumentovat v sondě XIV na dvou místech. Poprvé 3 m pod dnešním povrchem v trase nové kanalizace (řez 179), vedoucí jižně od výkopu pro strojovnu bazénu. Na kótě 231,5/Bpv byla identifikována sekundární koruna zbytku parkánové zdi. Ze strany města byla na výšce 230,34 zastížena pochozí úroveň parkánu, aniž by byl na zdi registrován předzáklad. Není však vyloučeno, že raně gotická úroveň parkánu byla níže. Oproti tomu ze strany příkopu byla parkánová zeď ještě na úrovni 231,5 provázána se šikmým obezděním eskarpy, které parkánovou zeď zesilovalo a chránilo. Výkop pro kanalizaci parkánovou zeď proboural. Po prohlídce vzniklého průrazu zdi lze konstatovat, že mezi parkánovou zdí a eskarpou neexistovala žádná technologická spára, obě entity byly stavěny společně.

Podruhé byla parkánová zeď zdokumentována nedalekým cíleným výkopem jižně od trasy kanalizace, při jižním okraji plochy se sondou XIV, kde byl odkryt 2,8 m dlouhý úsek parkánové zdi (obr. 45E). Na tomto úseku se do výšky 0,4 m dochoval i její vnější (západní) svislý líc (230,8–231,2/Bpv), který vyrůstá přímo z šikmého zdiva eskarpy (řez 187; obr. 45A). Druhotná koruna parkánové zdi (především na své západní straně silně zvětřalá) je dnes široká 1,10–1,18 m (2 lokte = 1,1828 m). Materiálem parkánové zdi je výlučně lomový opukový kámen o délce až 0,4 m, pojený poměrně pevnou maltou s hrudkami vápna. Na východní straně (vnitřní, směrem k městu) zasahuje upravený líc hlouběji (229,38–231,30). Výška nadzemní části parkánové zdi č. 1880 (obr. 45A) zde dosahuje 1,9 m nad zřetelnou úroveň (vr. 1881), kterou pokládáme za povrch parkánu. Nevíme však, zda z doby raně gotické či z doby mladší. Ani zde nebyl registrován předzáklad. Na východním líci nebyly identifikovány žádné kapsy či otvory po případných vzpěrách pro ochoz, odkrytý úsek je však velmi drobný pro relevantní závěr. Konstatování, že pochozí úroveň parkánu ležela níže než horní hrana obezdění eskarpy, které na parkánovou zeď ze západu naléhalo, v důsledku znamená, že všechny dosud zastížené úseky šikmého rubu obezdění eskarpy ležely pod úrovní parkánu, snad s výjimkou řezu 68. Ani nejsevernější řez příkopem v sondě XIV, řez 193, pochozího povrchu parkánu nedosáhl.³⁵ O složitosti geomorfologických poměrů na svahu klesajícím k jihu a východu svědčí sklony skály a dislokace míst, kde došlo k zachování intaktních podložních svahových hlín (cf. např. obr. 46).

Plocha v severním a jižním sousedství věže byla zpevněna naplocho kladenými drobnějšími ostrohrannými opukovými kameny vytvářejícími velmi pevnou dlažbu s nerovným povrchem (v sondě XVIII vr. 1297; v sondě VI na řezu 76 vr. 672), která musela být rozebírána pomocí cepínů (obr. 46). Žádná jiná pochozí úroveň nebyla nad touto dlažbou zastížena, takže nelze v nynější fázi zpracování rozhodnout, zda dlažba náleží do 60. let nebo do roku 1278. Podobná dlažba byla evidována také u parkánové zdi v sondě XIV jako vr. 1882 překrytá tenkou udusanou pochozí úrovní z hladké mírně jílovité hlíny s jemným písečkem vr. 1881. Plocha parkánu se v podélném směru přirozeně prudce svažovala od severu k jihu, v příčném směru mírně klesala od parkánové zdi směrem k hradební zdi. K otázce, zda byl parkán stupňovitě členěn, nebo byl plochý a strmý, jsme nezískali konkrétní informace. Nápadná je shoda situování prahu v příkopu, na severním konci sondy XIV zvyšujícího dno příkopu o cca 2 m, s lokalizací barokní zdi na rozhraní parcel 511/512 (obr. 17: a). Nevylučujeme, že se zde otiskla nějaká vertikální úprava parkánu propojená se členěním dna příkopu. Není jasné, zda vůbec byla úprava parkánu dokončena.

Kvůli rozmístění fragmentů hradby a příkopu na pozemcích k domu čp. 192/III se šířku parkánu sice nedalo na žádném místě přímo změřit, avšak rozhodně byla větší než 10 m. Vzhledem k složité modelaci terénu a s přihlédnutím ke strmosti svahu nebylo možné realizovat příkop přímý a ve všech úsecích stejně široký. O linii hradební zdi víme, že také nebyla přímá, nýbrž minimálně dvakrát zalomená. Z těchto důvodů šířka parkánu kolísala, nemohla být konstantní. V místech sondy XIV ji rekonstruujeme mezi 11 a 13 m s tím, že rozvírající se stěny příkopu na úrovni tehdejšího (dnes neznámého) povrchu parkánu šířku příkopu zvětšují na úkor parkánu, a tak zmíněný interval by v některých místech mohl být poněkud kratší (obr. 42).

35 Řezem 193 byla zaměřena situace, kdy 2 m východně od hrany příkopu (skála, 233,78/Bpv) byl odkryt k východu klesající intaktní povrch skály na kótě 233,20, překrytý intaktní svahovou hlínou geologického podkladu s povrchem 233,60 a nad ní souvrstvím mladohradištních vrstev dochovaných do výšky 234,10/Bpv.



Obr. 45. Thunovská čp. 192/III, sonda XIV. Úsek parkánové zdi odkrytý cílenou mikrosondou v jižní části parcely 512.

A – příčný řez 187 parkánovou zdi se svislými líci. Západní stěna zdi (růžově) vychází ze šikmého, zde silně zvětřalého líce vyzdívký eskarpy příkopu (okrově), východní stěna na straně k městu je svislá, poměrně intaktní (růžově). Přechod eskarpy v parkánovou zeď je naznačen symbolem zubořezu. Hloubení mikrosondy bylo ukončeno na zpevněné úrovni (vr. 1881), která může být z mladší doby než výstavba z roku 1278;

B – celkový pohled na mikrosundu k parkánové zdi. Pohled od severovýchodu, vpředu odhalený východní líc, z druhé strany zdi na západě obrys výkopu na eskarpu příkopu (foto F7025, M. Müller, 16. 10. 2017);

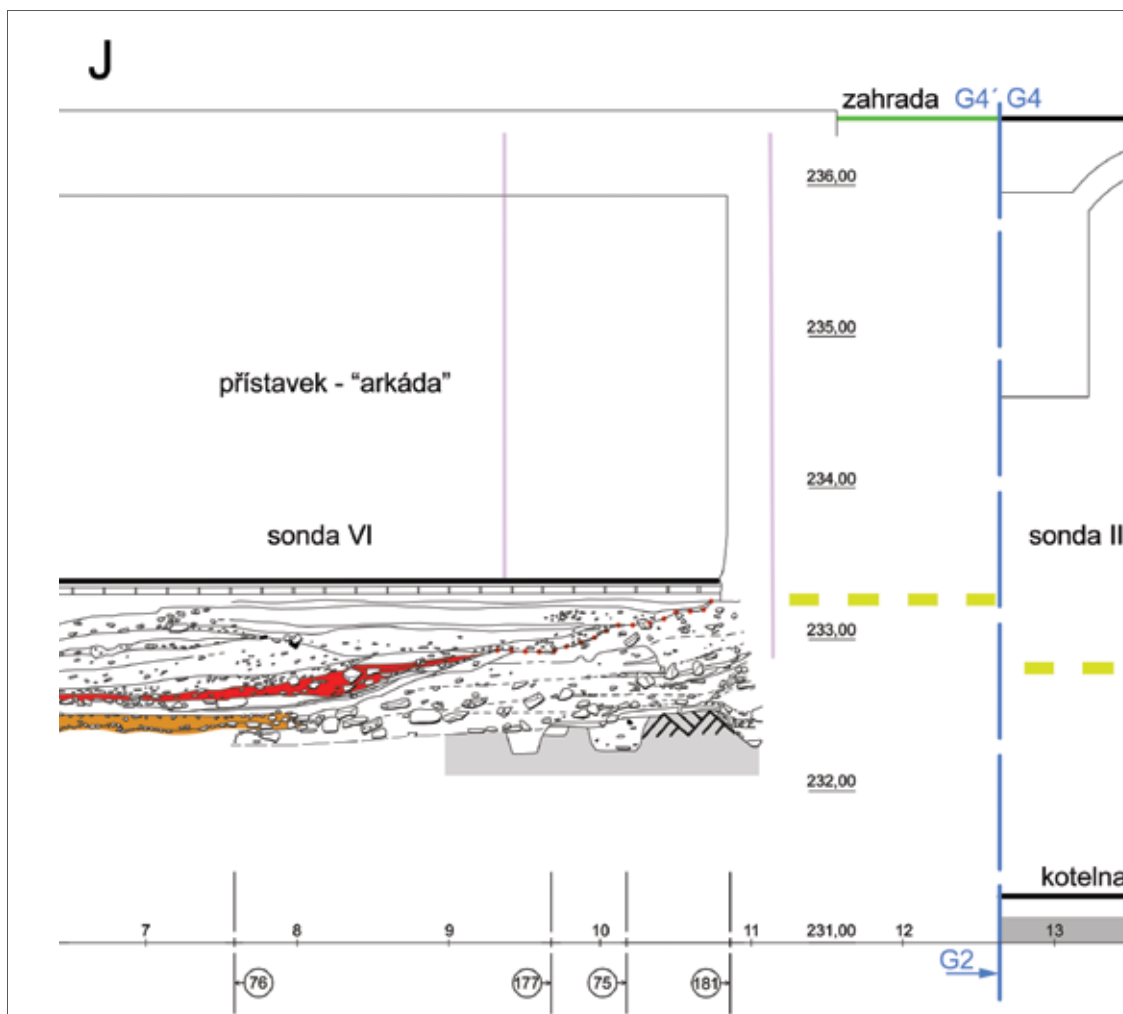
C – východní líc parkánové zdi orientovaný k městu, detail (od V, foto F7000, M. Müller, 16. 10. 2017);

D – velmi pevný pohřbený povrch s dlažbou z ostrohranných opukových kamenů. Sonda XVIII, vr. 1297, lokalizace na obr. 46 (od V, foto F5300, M. Müller, 12. 5. 2015);

E – silně zvětřalý líc vyzdívký eskarpy příkopu, po levé straně snímku horní hrana krátkého svislého úseku západního líce parkánové zdi (od S, foto F6976, M. Müller, 13. 10. 2017).

Obr. 46. Thunovská čp. 192/III.

Generalizovaný řez G4–G4' prochází západně podél hradby (lokalizace obr. 17), v části G4 severní zdi branské věže (řezy 124+166), v části G4' západně a jihozápadně od věže (řez 176). **Červeně** je zvýrazněna vrstva velmi pevné dlažby z drobnějších ostrohranných opukových kamenů – v části G4 v sondě XVIII vr. 1297, 1301 a 1302, v části G4' v sondě VI vr. 1835 (cf. obr. 45D). **Fialově plně** – zastížená část severní zdi věže, **fialově slabě** – nepřístupná část severní zdi věže skrytá za železobetonovou plentou a klenbou bývalé kotelny (sonda III). **Svislými fialovými liniemi** naznačena předpokládaná jižní zeď věže. **Žlutě čárkované** – rekonstruovaná výška dlažby v průřezu bránou (cf. řez G2 na obr. 21, 17). **Oranžově** – svrchní vrstva souvrství románských dlažeb zobrazeného na půdorysu obr. 17. Geologický podklad: **sytle šedě** – skála (severně od věže), **slabě šedě** – svahové hlíny (jihozápadně od věže). Lokalizaci tzv. arkády viz obr. 24 (autoři, úprava M. Ďurica).



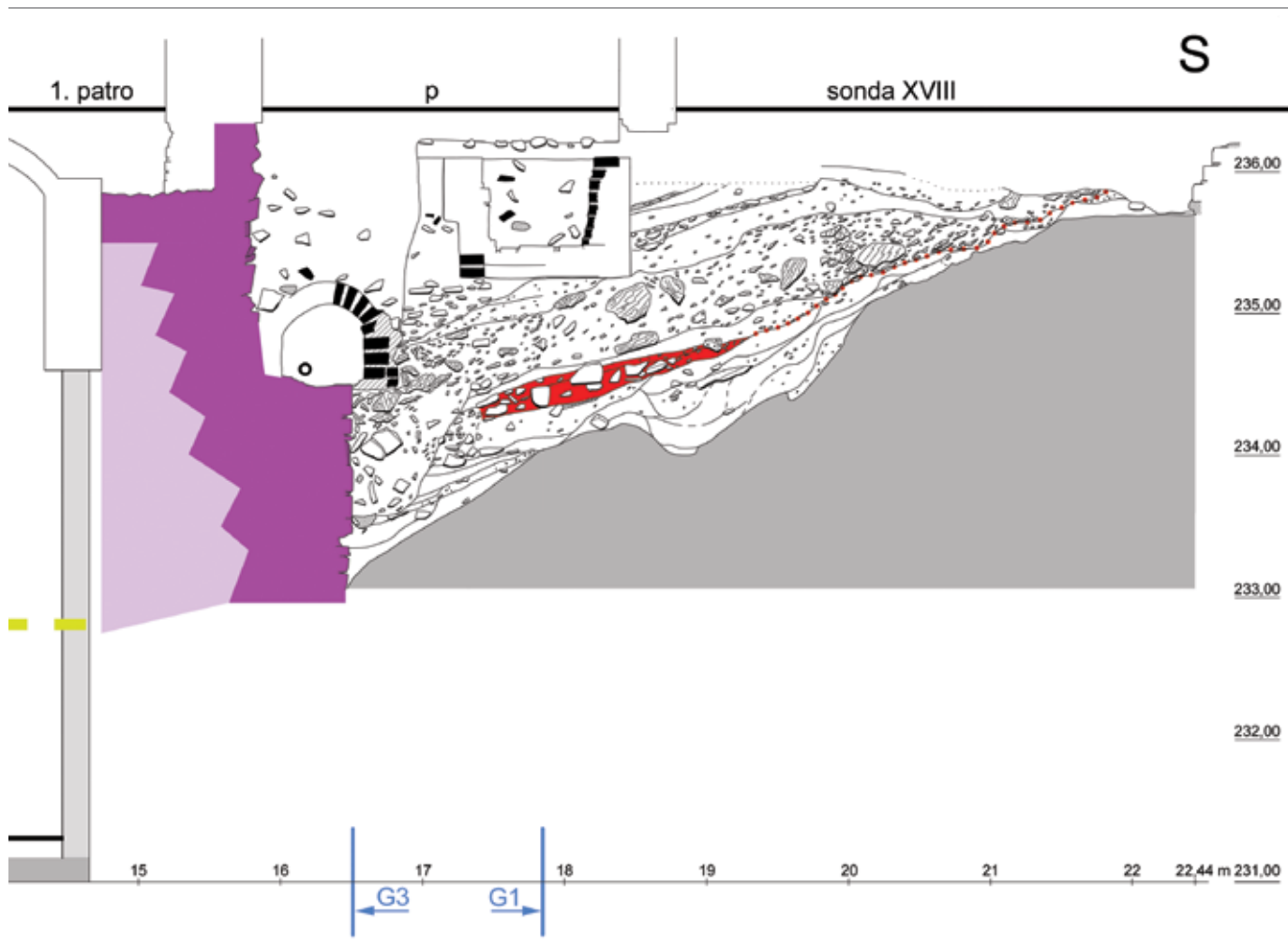
Můstek přes příkop

K překonání příkopu sloužil v jistou dobu můstek, který stál v místě dnešních Nových zámeckých schodů (obr. 47), o (minimálně) dvou obloucích a s prostorem pro padací most.³⁶ Dochované, či lépe řečeno vizuálně přístupné torzo (obr. 44) sestává z jednoho, a to západního, mostního oblouku na dvou bočních pilířích a třetího izolovaného „pilíře“ (či lépe západní zdi) západním směrem.³⁷ Jednotlivé části konstrukce byly v mladších obdobích zpevňovány a obezdívány. Z mostního oblouku je přístupné jižní čelo a celé klenbové pole (obr. 48).³⁸ Severní čelo je dochováno, avšak pohledově nepřístupné, orientované do násypů konstrukce Zámeckých schodů. Druhý, východní oblouk je buď skryt za barokním obezděním tvořícím jižní stěnu Zámeckých

36 Konstrukce je přístupná pouze z pozemku ppč. 503 v areálu domu čp. 192/III, je součástí jeho severního ohraničení tvořeného složitější konstrukcí Zámeckých schodů. Na pozemek je přístup ze 3. patra západního křídla domu, který je v soukromých rukách. Jiný přístup není možný.

37 Na západní straně spočívá klenbové pole na pilíři – nadále „západní“ pilíř (1) – s intaktní západní i východní stěnou. Jeho původní jižní stěna je skryta pod barokním obezděním. Pilíř na východní straně přístupného mostního oblouku (pilíř 2) je zcela pohlcen novějšími zděnými konstrukcemi. Západně od západního pilíře je úzký prostor jámy pro padací most, na západní straně obezděné západní zdi (3), z níž je intaktní východní stěna, jižní je obestavěná. Původně byla západní zeď se západním pilířem snad spojena zděnou konstrukcí stěny blíže neznámých parametrů, probíhající přibližně v linii čela mostního oblouku. Zbyl po ní na západní zdi drobný fragment koutu. Dnes je v hloubce prostoru mezi obě entity dodatečně vložena stěna na dvou cihlových vynášecích obloucích. Ze západního pilíře (1) je odkryta jen západní stěna, zděná z opukového lomového kamene, mezi nímž jsou dva pískovcové bloky. Jeden z nich je v druhotném, nesprávném použití, neboť je zaoblený a byl připraven pro vsazení do čela oblouku. Východní stěna pilíře je skryta v dodatečných renesančních zásypech příkopu dosahujících paty klenby. Z konfigurace vyplývá, že západní pilíř je založen na hraně příkopu. Kvůli bezpečnosti nebyla odhalována jeho jižní stěna, a tím není znám způsob napojení pilíře na vyzdívku příkopu.

38 Plocha klenbového pole mezi čely je vyzdívána z otesávaných kvádrů, ve vrcholu pískovcových, na bocích opukových. Při vyzdívání bylo na výšku primárně vsazeno do klenbového pole několik cihel. Opukové kvádry jsou dnes silně rozrušené, čitelné jen podle maltových spár po obvodech kvádrů. Na pískovcových kvádrech jsou dochovány četné důlky na krepny a kamenické značky. Ve zdivu klenbového pole bylo použito (druhotně či přebytných, poškozených?) několik pískovcových bloků se zaoblením, původně koncipovaných pro vsazení do čela oblouku.



schodů, nebo může být i zničen (obr. 44).³⁹ Západně od viditelného oblouku byla jáma pro padací most. Jak vyplývá ze zaměření, z areálu čp. 192 je přístupná jen část původní jámy, nejspíše její jihovýchodní část vymezená západní a severní zdí (patrně druhotně vloženými). Délka jámy ve směru Z–V (dnes 2,36 m, tj. 4 lokte) je zřetelná z půdorysu (obr. 48). Původně jáma snad mohla být i delší, v takovém případě by západní stěna (tzv. třetí pilíř) byla druhotná stejně jako severní zeď „výklenku“. Šířka jámy není intaktní, snad byla větší než šířka mostu. Pilíře jsou z jihu zesílené obezděním.

Konstrukce mostního oblouku a pilířů je kamenná z pískovce a opuky, ojediněle byly použity cihly středověkých rozměrů. Čelo oblouku (obr. 49) je okosené, jemně opracované, z pískovcových bloků stereotomicky řešených. Klenba čela je dobře utažená, takřka s nulovými spárami. Podle mínění Michala Cihly je použitá stereotomie provedena velmi kvalitně, její použití i úroveň provedení jsou v našem prostředí výjimečné. Nad pískovcovým obloukem je vyzděno zdivo z opukových kamenů skládaných do dalšího oblouku. V patě klenby a v levém čele jsou umístěny mělké čtverhranné kapsy. Na levém patečním kamenu zůstaly pozůstatky stříšky a oblounu z odtesané římsy. Šířka oblouku činí 4,4 m (7,5 lokte). Hloubka klenebního pole včetně čelních oblouků (tj. šířka můstku) představuje 3,65 metru.

Kvůli souvrství násypů v příkopu a (z bezpečnostních důvodů) nemožnosti otevřít sondu v blízkosti západního pilíře (1) není výška oblouku můstku přímo měřitelná. Podle naší hypotézy pilíře mostu spočívaly na dně příkopu obezděném materiálem přepážky s povrchem cca 244,5/Bpv (vr. 380; obr. 44: 5, 41). Předpokládáme, že právě kvůli stabilitě můstku bylo v těchto místech dno příkopu chráněno kvalitním vyzděním. Bylo-li tomu opravdu tak a dno leželo přibližně v rovině s mírným sklonem k jihu, pak by pata pilířů spočívala na kótě cca 244,6. Vzhledem k zaměřenému

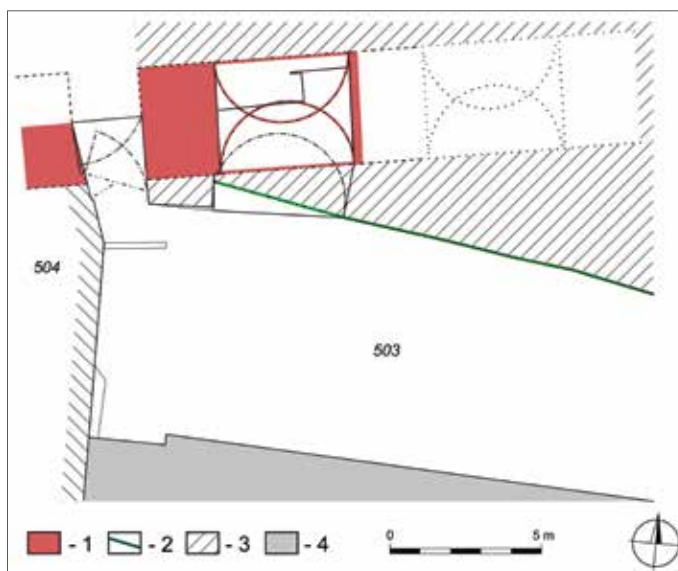
39 Není vyloučeno, že východně od něho mohl existovat třetí mostní oblouk, odlehčující tlak na pilíř v místě eskarpy či parkánové zdi.

Obr. 47. Jižní stěna Zámeckých schodů od východu, foto pořízeno z parcely 503 v areálu náležejícímu k čp. 192/III. Stav po likvidaci náletových dřevin a násypů odpadu, které výrazně omezovaly vliv počasí (jižního slunce a povětrnosti) na stav kamene (foto J. Havrda, 2011).



zemku, před zbytkem jámy pro padací most, kóty 250,2 a jistě pokračovala dále vzhůru až k bráně, která na západě uzavírala sestavu můstku a jámy pro padací most a která musela mít průjezd ve výši vozovky můstku (odhadem 254/Bpv). Před bránou chránil vjezd k Pražskému hradu, z hlediska města na straně kontreskarpy, tak byla hloubka příkopu až na vyzdéné dno přibližně 10 m,

Obr. 48. Zámecké schody ppč. 1004. Půdorys a situování můstku přes raně gotický příkop, přístupného z tzv. severní zahrádky (ppč. 503) domu Thunovská čp. 192/III, na katastrální mapě. Legenda: 1 – gotický můstek, červeně viditelné prvky; 2 – jižní stěna Zámeckých schodů; 3 – konstrukce Zámeckých schodů; 4 – třetí patro západního křídla domu čp. 192/III. (Dle pokynů autorů zobrazil v Mapě evidence nemovitostí M. Ďurica.)



Obr. 49. Odkrytá část čela můstku přes raně gotický příkop, zbývající části čela jsou skryté v konstrukci Zámeckých schodů (foto a úprava M. Müller).

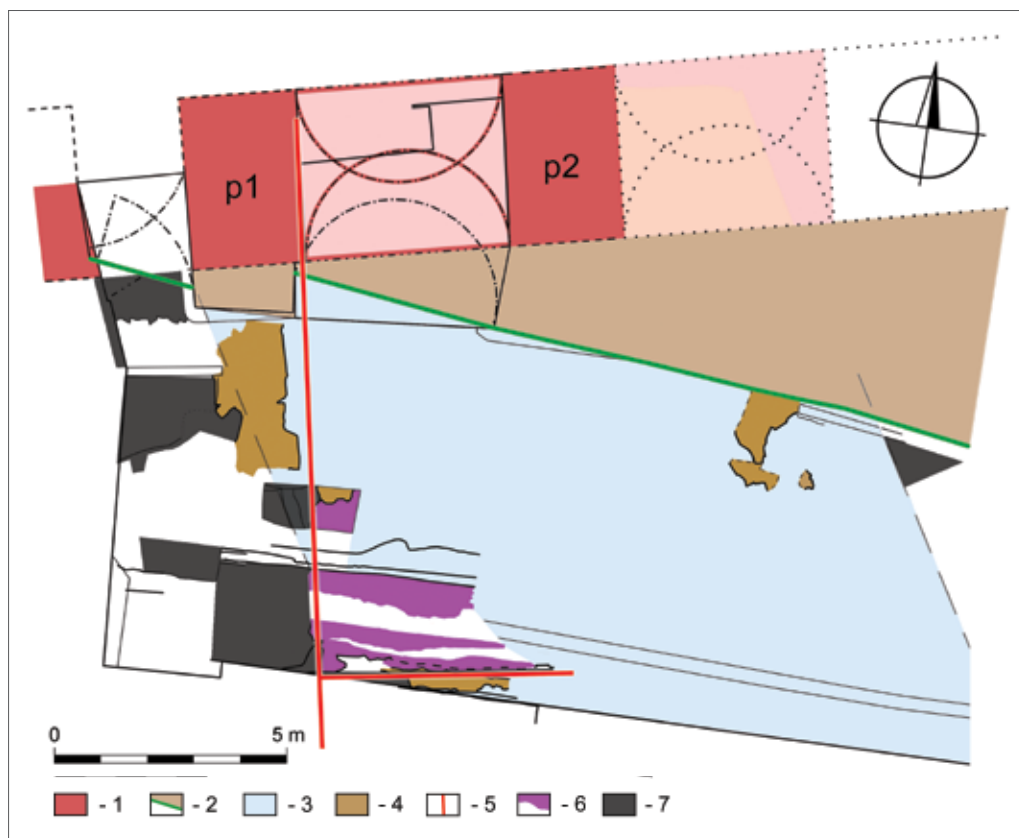


vrcholu klenby (252,49/Bpv) by výška oblouků můstku dosáhla 8 metrů. Výšku vozovky, a tím i celkovou výšku můstku, neznáme.

Při snaze rekonstruovat hloubku příkopu v okolí můstku vycházíme z představy, že od přepážky se k severu víceméně v rovině táhne vyzdéné dno, na které nasedá kontreskarpa (řez 57), jejíž snížená koruna v nejvyšším zastiženém místě leží na kótě 248,40 (obr. 44). Vylámaná skála dosáhla na západní hranici po-

zemku, před zbytkem jámy pro padací most, kóty 250,2 a jistě pokračovala dále vzhůru až k bráně, která na západě uzavírala sestavu můstku a jámy pro padací most a která musela mít průjezd ve výši vozovky můstku (odhadem 254/Bpv). Před bránou chránil vjezd k Pražskému hradu, z hlediska města na straně kontreskarpy, tak byla hloubka příkopu až na vyzdéné dno přibližně 10 m, hloubka příkopu jižně před čelem přepážky pak 14 metrů. Na straně eskarpy (z pozice města) byla zastižena ve skále vylámaná stěna v intervalu 243,90–246,00/Bpv. Překvapuje, že na skále spočívají jílovité a hlinité vrstvy, nikoli vyzdívka dna příkopu v pokračování koruny přepážky (cca 244,5/Bpv). Ve vzdálenosti 0,8 m od stěny ve skále je na šikmo položeném řezu 18 registrováno obezdění eskarpy (obr. 44). Odkrývání tohoto řezu bylo v roce 2011 ukončeno na kótě 244,56. Byť nevíme, jak byla úprava dna příkopu na straně eskarpy řešena, na severu plochy byla za rubem obezdění eskarpy evidována kóta skály 246,00, která tak vystupovala minimálně 1,5 m nad vyzdéné dno. Není vyloučeno, že zdejší drobný úsek ve skále vylámané stěny eskarpy může pocházet ze staršího příkopu, předcházejícího přestavbě z roku 1278. Při ní mohl být v tomto místě kvůli návaznosti na rozměry mostu průběh příkopu změněn.

Dobu postavení mostu nelze na základě jeho stavebněhistorické charakteristiky



Obr. 50. Thunovská čp. 192/III, sonda VII. Interpretace a zobrazení půdorysných vztahů mezi jednotlivými prvky opevnění z 2. poloviny 13. století na tzv. severní zahrádce (ppč. 503). Výškové parametry viz obr. 44. Legenda: 1 – gotický můstek; 2 – stěna a konstrukce Zámeckých schodů; 3 – výplň příkopu a její předpokládaný rozsah; 4 – vyzdívka příkopu; 5 – linie západní hrany přepážky a vyzdělého dna; 6 – přepážka a její koruna přecházející do vyzdělého dna; 7 – skála (autoři, úprava M. Ďurica).



Obr. 51. Na výřezu z ortofotomapy Prahy lokalizace tří prvků opevnění v sondě VII: můstku (červeně), dnes skrytého pod Zámeckými schody; koruny přepážky – tj. vyzdělého dna příkopu (žlutá plocha) a stěnu příkopu směřující na vnitřní stěny pilířů můstku (žluté linie) na parcele č. 503 domu čp. 192/III. Můstek zasahuje na dva katastry (Malá Strana, Hradčany), jejichž hranice prochází středem Zámeckých schodů, které tak mají dvě parcelní čísla (ppč. 1004 na katastru Malé Strany, ppč. 787 na katastru Hradčan). Rájská zahrada náleží k Pražskému hradu. Legenda: 1 – viditelná část můstku přes příkop; 2 – část můstku obestavěná barokní stěnou dnešních schodů nebo zničená; 3 – vyzdělé dno příkopu a přepážka; 4 – vymezení příkopu: na západě u dna, na východě uprostřed výšky stěny (podle pokynů autorů zobrazil M. Ďurica do podkladu z veřejných zdrojů).

v rámci 13.–16. století blíže konkretizovat. Dle archeologicky zjištěných terénních souvislostí je můstek ve shodné osově orientaci s příkopem a přepážkou v příkopu (obr. 50). Vyplývá to z linie západního okraje masivní přepážky a vyzdělého dna směřující na východní stěnu západního pilíře přístupné části můstku (obr. 51). Shodná osová orientace přepážky s můstkem a jejich (cca) pravouhlé propojení naznačuje, že příkop, jeho vyzdění, přepážka v něm i můstek jsou součástí a pozůstatky jediné stavby datované k roku 1278. Můstek je zobrazen na několika pražských vedutách s jedním (1606 Sadeler – obr. 53A; 1636/1649 Hollar – obr. 20) i se dvěma mostními oblouky (1582 Dobřenského kodex – obr. 52).



Obr. 52. Anonym, 1582: Praha. Dobřenského kodex – výřez. Pohled od jihu na Zámecké schody a pod nimi na dva mostní oblouky. Uloženo: Strahovská knihovna, tzv. Sborník či Kodex Dobřenského III, sign. DR I 21, fol. 317). Kodex je pojmenován podle Václava Dobřenského (asi 1550–1595).



Obr. 53. Srovnání podoby areálu domu čp. 192/III a jeho širšího okolí v roce 1606 a dnes. **A** – Philip van den Bossche (kresba) / Johannes Wechter (rytec) / Aegidius Sadeler (vydavatel), 1606: PRAGA. Velký prospekt Prahy, tzv. Sadelerův. Výřez – areál domu čp. 192/III a jeho širší okolí. Mědiryt, lept (© Archiv hl. města Prahy, Sběrka grafiky, fond Veduty, sign. G 13). Na pohledu od jihu je vidět: **a** – skalní blok, dnes terasa ppč. 510; **b** – příkop na zahradě domu čp. 192/III zkoumaný archeologicky a jeden oblouk můstku pod Zámeckými schody; **c** – zástavba se západní bránou do hradu na severním pokračování skalního bloku; **d** – vnější (dvoj)příkop před hradem vedený od Brusnice k osadě Obora z roku 1278, překlenutý mostem vedoucím do západní brány hradu.



B – prvky z obrázku vlevo (Sadeler) umístěné do současné situace z roku 2017 (podklad: veřejně přístupný zdroj <<https://mapy.cz/zakladni?x=14.3989081&y=-50.0889603&z=19&m3d=1&height=167&yaw=-0&pitch=-45>>).

Další úhly pohledu na západní úsek fortifikace

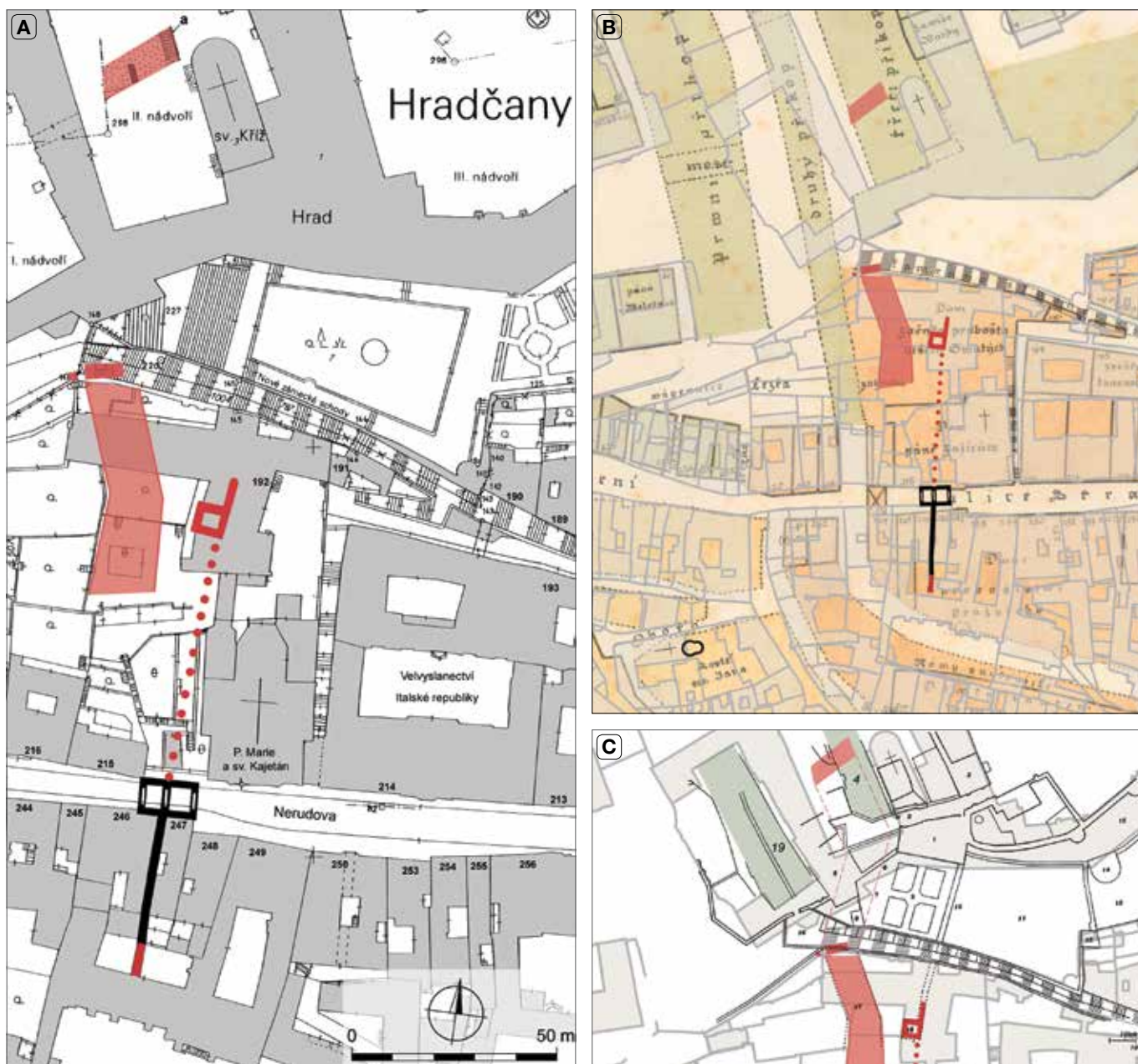
Geomorfologické poměry na jižním svahu hradčanského ostrohu nebyly pro vedení fortifikace příliš výhodné. Jak vyplývá z ikonografických pramenů, v místě dnešní parcely 510 je dodnes skryta velká skála, přímo vedle hradu vysoce a nebezpečně převyšující SZ úsek fortifikačního pásu města. Protože od skály do města terén výrazně klesá, skála ohrožovala i město samotné. Vybudováním západní dvojice příkopů v roce 1278 byl přístup ke skále značně ztížen, v podstatě byla izolována. Na Sadelerově prospektu (obr. 53) je úpatí skály lemováno čnicí zdí, k níž jsme žádné archeologické údaje nezjistili, a nelze tak dobu jejího vzniku stanovit. Snad spíše než obranná, mohlo být její funkcí zachytávat kusy drolicí se skály v době, kdy příkop sloužil jako vinice.



Obr. 54. Thunovská čp. 192/III. Celkové schéma archeologicky zkoumaného severozápadního úseku městské fortifikace z 13. století v půdorysu 1. patra domu. Legenda: 1 – odkrytá vyzdívka příkopu; 2 – návrh průběhu příkopu; 3 – nově objevená část hradby a věže; 4 – můstek přes příkop; 5 – odkryté části parkánové zdi (podle pokynů autorů s využitím terénní dokumentace zobrazil M. Ďurica).

Druhým faktorem určujícím logistiku severozápadního úseku opevnění byla kolize S–J směru příkopu se Z–V směrem komunikace spojující město s hradem. Jak bylo řečeno výše, známe tuto Z–V cestu v trase, která vznikla až v době románské (obr. 17).⁴⁰ Po roce 1257 na ni navázala trasa procházející branskou věží a stejně jako cesta starší, i ona směřovala přes nižší skalní stupeň pod parcelou 509 do prostoru před hradem. Přitom musela překročit soudobý příkop nějakým můstkem, na jehož stopy jsme nenarazili. Na otázku, proč po roce 1257 byl pozměněn směr cesty a ta byla vedena proti skalnímu bloku, kterému se musela vyhnout, neumíme jednoznačně

40 Kudy procházela cesta v době hradištní, neznáme, bezesporu však nikoli v trase cesty románské.

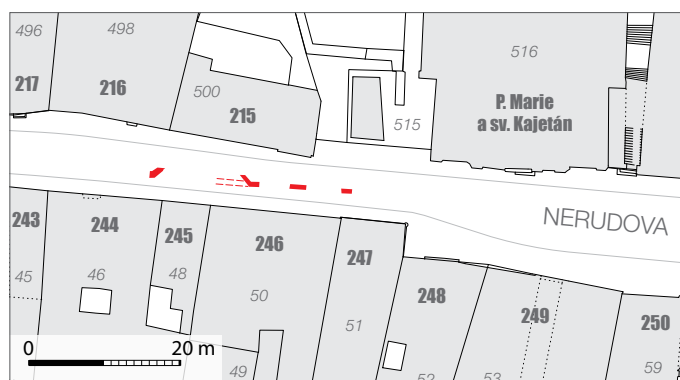


Obr. 55. A – Pražský hrad a Malá Strana. Západní rameno raně gotické fortifikace. Na severu příkop na 2. nádvoří hradu zkoumaný v 50. letech 20. století (**a** – vyzdvíhka příkopu); jižněji situace v čp. 192/III; v Nerudově ulici předpokládaný rozsah Strahovské brány a níže předpokládaný průběh hradby na rozhraní parcel; na jihu **červeně** úsek hradby odkrytý archeologickým výzkumem na dvoře domu čp. 249/III (do podkladu Mapy evidence nemovitostí dle pokynů autorky vložil M. Durica).

B – soutisk historizujícího plánu – tzv. Mappy k roku 1348 – sestaveného V. V. Tomkem (TOMEK 1892b) s dnešní katastrální mapou se zobrazením archeologických nálezů fortifikace 13. století (tj. s obr. 55A). Spodní vrstva: Tomek (podkladem mu byl Jüttnerův plán, 1815) – budovy a příkopy hradu a Hradčan **zeleně**; budovy Malé Strany **sytě oranžově**; budovy osady Obora s vyznačenou rotundou sv. Jana Křtitele **slabě oranžově**. Tomkova mapa je překryta současnou katastrální mapou – **slabě šedě** současný stav (soutisk S. Babušková). Tomkova rekonstrukce sledovaného prostoru již je neplatná.

C – soutisk rekonstrukčního plánu jihozápadní části Pražského hradu k době 16. století, sestaveného P. Uličným (ULIČNÝ 2018, 27 Fig. 4), s dnešní katastrální mapou se zobrazením archeologických nálezů fortifikace 13. století (tj. s obr. 55A). Spodní vrstva: současný stav – **šedě** obrysy, budovy **slabě šedě**. Rekonstruovaný stav v době Ferdinanda II. **černou linkou**, příkopy (č. 4, 19) vybarveny **zeleně** (soutisk S. Babušková). Příkop 19 je situován chybně, rekonstrukce rovněž neobstojí.

odpovědět. Bylo zalomení cesty před bránou strategickým cílem, aby byl průchod do města kryt skálou před útokem v přímém směru? Románská cesta zanikla při výstavbě opevnění po roce 1257, zůstaly na ní ležet velké bloky opuky, mezi které patrně silné deště nanosily mocnou vrstvu písku, svou charakteristikou nejspíše určeného do malty. V roce 1278 byl opuštěn románský koncept. V důsledku rozšíření příkopu a jeho vyždění nejspíše zanikla brána objevená v hmotě domu čp. 192 a cesta přes příkop nebyla obnovena, jak lze soudit podle absence pilířů pro přechod příkopu v místě sondy XIV. V novém, gotickém konceptu byla spojnice město–hrad nově přeložena do trasy Zámeckých schodů, ukončené zmíněným můstkem, jámou pod padacím mostem a na jámu nutně navazující bránou s padacím mostem (obr. 54). Vznikla tak frekventovaná cesta uváděná v písemných pramenech 14. století jako „Stupně“, která zde funguje dodnes (TOMEK 1892a, 123).



Obr. 56. Michael Peterle 1562: PRAGA BOHEMIAE METROPOLIS ACCVRATISSIME EXPRESSA. 1.5.6.2. Panoramatický pohled na Prahu od Michaela Peterleho (?) – zde tzv. Vratislavský prospekt – výřez: pohled na západní část Malé Strany od jihozápadní části Pražského hradu k osadě Obora. Originál vydán nákladem Jana Kozla a Michaela Peterleho, tiskař Jan Kozel. Kolorovaná fotolitografie (novotisk) vydaná nákladem pražské obce a tiskem Unie 1904. (© Archiv hl. města Prahy, Sběrka grafiky, sign. G 1). Detail (A): Strahovská brána z 13. století s mostem přes příkop.

Obr. 57. Praha–Malá Strana, Nerudova ulice ppč. 1001. Nákr. zdiv Strahovské brány „při předláždění celé ulice na jaře 1938“. Zobrazení podle kótovaného nákr. pořízeného R. Hlubinkou. Uložení zdroje: Archiv Ústavu dějin umění AV ČR, fond W-A-150/1-6 (fond W = Winter), Hradby malostranské, list 182. (Do Mapy evidence nemovitostí zobrazil M. Müller.)

Západní rameno městského opevnění velmi úzce souvisí s **opevněním hradu** a nejpozději v roce 1278 vytvořily obě entity společný celek. Jak můžeme sledovat na raně novověkých vedutách Prahy, obranný systém 13. století formoval tvář Hradčan a přilehlé části Malé Strany po dalších cca 400 let. Působivá je kombinace příkopů na tzv. Sadelerově prospektu z roku 1606 (obr. 53). Je na něm zřetelně vidět velký blok skály v místě dnešní parcely ppč. 510 (obr. 53: a) zakončený hradní zástavbou (obr. 53: c) nacházející se mezi příkopem překlenutým mostem před bránou do hradu na západě a příkopem směřujícím pod Zámecké schody na východě (obr. 53: b). Právě východní příkop byl na II. nádvoří hradu zastižen v 50. letech Ivanem Borkovským a nyní nálezy z čp. 192/III na jeho poznání navazují. Že se jedná o dva archeologicky odkryté úseky téhož příkopu, vyplývá ze situování obou úseků nejbližší hradbě.⁴¹

Před více než stoletím rekonstruoval historickou topografii sledovaného prostoru V. V. Tomek (1892b). Ve své historizující mapě zakreslil na hradním ostrohu tři příkopy – první dva od Brusnice k osadě Obora, třetí v areálu hradu (obr. 55: B). Jak je z obrázku zřetelné, dnešní posun poznání již Tomkovu představu antikvoval. Příkop zakreslený jako druhý navrženou trasou zcela bezpečně neprocházal – je situován do polohy skalního bloku a na něm stojící stabilní hradní zástavby s bránou do hradu; Strahovská brána se nacházela východněji, než její polohu rekonstruoval V. V. Tomek, a před ní probíhal nikoli druhý, nýbrž příkop označený jako třetí. Druhý příkop

⁴¹ Až přijde čas na propojení poznatků z Malé Strany a hradu, jistě bude snaha společně upřesnit průběh tohoto východního příkopu i hradby podél něho. Velký příkop západní, který v roce 1278 nově přetál ostrožnu Pražského hradu od Brusnice po osadu Obora (dnes okolí Jánského vršku), je rovněž součástí raně gotické fortifikace. Avšak zejména hradu, a proto byl v tomto příspěvku věnovaném opevnění města pominut.

patrně jako samostatný vůbec neexistoval. Nedávno, v roce 2018, publikoval svou představu topografické situace v okolí Rajské zahrady P. ULIČNÝ (2018). Ani jeho rekonstrukce v soutisku s dnešním stavem neobstojí. Napojení dvojice příkopů před hradem (č. 19) na příkop objevený na zahradě čp. 192/III se zdá vypadat ideálně (obr. 55: C), avšak (dvojitý?) příkop č. 19 z 13. století, který je geologicky i archeologicky ověřený, se nachází západně od Matyášovy brány, nikoli na I. nádvoří. Nereálné je také vyústění Zámeckých schodů nad rekonstruovaným hlubokým příkopem.

Hlavní bránou v západním rameni městské fortifikace byla Strahovská (též Černá) brána v dnešní Nerudově ulici, která byla v roce 1711 stržena kvůli dokončení stavby řádového kostela theatinů P. M. Ustavičné pomoci a sv. Kajetána. Archeologický výzkum se brány dosud nedotkl, stavebněhistorický výzkum jí přisoudil zeď v domě čp. 247 (KAŠIČKA 1995). Její tvar a cimbuří jsou zřetelné na Peterleho a Kozlově prospektu z roku 1562 (obr. 56). V roce 1938 oměřil R. Hlubinka čtyři úseky zdiva širokého cca 0,6 m v délce cca 27,5 m pod dlažbou Nerudovy ulice (obr. 57), které interpretoval jako pozůstatky brány. Podle dnešních znalostí se spíše jedná o kamenné zábradlí mostu přes příkop, jaké lze rovněž vidět na témže prospektu z roku 1562. Na rozdíl od brány na konci Zámeckých schodů s lokálním významem směřuje trasa procházející Strahovskou bránou v dnešní Nerudově ulici na Strahov a jako významná výpadevová silnice dále k Břevnovu a přes západní Čechy do německých zemí.

Hradba zastižená v domě čp. 192/III pokračuje k jihu, kde byl její fragment objeven v roce 2002 na dvoře domu čp. 249/III v jižní frontě Nerudovy ulice (obr. 55; PODLIŠKA/HAVRDA/KOVÁŘ 2003). Z hradby byl nalezen 8 m dlouhý zbytek konstrukce z lomové opuky, tvořený základovým pasem a nevysokým torzem nadzemní části oboustranně lícované zdi. V základu byly opukové kameny (převážně 0,3–0,4 m) nepravidelně vrstveny, spojeny hnědorezavou vápennou maltou; těsně nad základovou spárou byla zběžně kladená lomová opuka pojena jílovitou hlínou. Východní líc nadzemní partie sestával ze 2–3 řad hrubě opracovaných kamenů až 0,5 × 0,2 m; západní líc se dochoval jen v rozsahu 1–2 řad, velikost kamenů zde byla variabilnější. Výška základu činila v průměru 0,8 m, oproti hradbě v čp. 192 byl na zdivu v čp. 249 zjištěn základový ústupek (předzáklad) široký 0,18 metru. Nadzemní část byla dochována v rozsahu 0,3–0,8 metru. Šířka hradby zachovávala rozpětí stejné jako v severním úseku, tj. 1,9–2,0 metru (IBIDEM, 42–44). Základ se zahluboval do historických terénů s nálezy světlé červeně malované keramiky. Do vzdálenosti 9,5 m západním směrem od hradby nebyl registrován příkop – celá tato šířka tak náležela parkánu širokému 9,5+x, což je v souladu se šířkou parkánu zjištěnou v čp. 192/III.

V současné době je úsek opevnění zkoumaný v čp. 192/III jediným místem na Malé Straně, kde se podařilo zastihnout kompletní profil a skladbu raně gotické malostranské fortifikace. Jejich poznání je výsledkem archeologického výzkumu posledních deseti let. Poznávání archeologickými postupy v jámě vymezené stavební činností jde ruku v ruce s destrukcí památky, a tak obnažené úseky příkopu již neexistují. Do budoucna zůstávají na pozemcích domu čp. 192/III v trase příkopu a parkánu místa, kde lze očekávat další nálezy jejich intaktního stavu, na rozdíl od hradby, jejíž další stopy již ve stávající budově pravděpodobně zanikly. Vědecký potenciál skrytý pod povrchem pozemků domu čp. 192/III ještě zdaleka není vyčerpán. Využití zdejšího prostoru v době manýrismu a baroka jako privátní součásti šlechtického paláce a klášterního areálu nekladlo zvýšené nároky na intenzitu zastavěnosti pozemku. Zakonzervování barokního stavu okolní zástavby pak způsobilo, že prostor zahrad čp. 192/III byl v podstatě díky své nepřístupnosti pro další zahuštění zástavby nevyužitelný, a stal se tak archeologickou konzervou.

Zcela jiné jsou poměry na východním a zejména jižním rameni fortifikace. Kvůli tamním intenzivním sídlištním procesům se ze skladby fortifikačního pásu, chránícího ve 2. polovině 13. století Nové město pod hradem Pražským, archeologickým a stavebněhistorickým průzkumem daří shromažďovat jen více či méně izolované fragmenty. Abychom nepřepínali rozsah periodika i trpělivost čtenáře, prezentaci fragmentů z jižního a východního ramene fortifikace se hodláme věnovat v budoucím samostatném článku.

PRAMENY A LITERATURA

- BOHÁČOVÁ/HAVRDA 2017 — Ivana BOHÁČOVÁ / Jan HAVRDA: Nejstarší opevnění Prahy. In: Průvodce pražskou archeologií : Památky známé, neznámé i skryté. I. Boháčová / J. Podliska (eds), Praha 2017, 70–75.
- ČIHÁKOVÁ 1999 — Jarmila ČIHÁKOVÁ ET AL.: B) Brány, opevnění, věže (RB, KB, JČ). In: Pavel Vlček et al., Umělecké památky Prahy : Malá Strana. Praha 1999, 113–121.
- ČIHÁKOVÁ 2001 — Jarmila ČIHÁKOVÁ: Raně středověké fortifikace na jižním okraji pražského levobřežního podhradí – Frühmittelalterliche Befestigung an der Südgrenze des Prager Suburbiums (linkes Moldauufer). In: Pražský hrad a Malá Strana. (= Mediaevalia archaeologica, sv. 3), M. Ježek / J. Klápště (eds), Praha 2001, 29–135.
- ČIHÁKOVÁ 2009 — Jarmila ČIHÁKOVÁ: Opevnění Malé Strany od 9. do 13. století – The fortification of Malá Strana in the 10th–13th century. Staletá Praha 25, 2009/1, 2–30. Dostupné na <http://www.staletapraha.cz/media/2009_1/sp-09-1-1-cihakova.pdf>.
- ČIHÁKOVÁ 2019 — Jarmila ČIHÁKOVÁ: Raně gotické opevnění královského města na dnešní Malé Straně – Die frühgotische Befestigung der königlichen Stadt auf der heutigen Prager Kleinseite. In: Město a jeho hradby. (= Documenta Pragensia, sv. 38), O. Fejtová / M. Maříková / J. Pešek (eds), Praha 2019, 75–96.
- ČIHÁKOVÁ/MÜLLER 2013 — Jarmila ČIHÁKOVÁ / Martin MÜLLER: Hygienické zázemí koleje theatinů v Thunovské ulici na Malé Straně – Hygienic facilities of the Theatine College in Thunovská Street at Malá Strana in Prague. Staletá Praha 29, 2013/2, 120–184.
- ČIHÁKOVÁ/MÜLLER 2019 — Jarmila ČIHÁKOVÁ / Martin MÜLLER: Praha 1–Malá Strana, Thunovská čp. 192/III. In: Zd. Dragoun a kol., Archeologický výzkum v Praze v letech 2017–2018. Pražský sborník historický 47, 2019, 564–568.
- ČIHÁKOVÁ/MÜLLER 2020 — Jarmila ČIHÁKOVÁ / Martin MÜLLER ET AL.: Malostranská rotunda sv. Václava v Praze – Rotunda of St. Wenceslaus in Prague's Malá Strana. Praha 2020.
- DRAGOUN 2002 — Zdeněk DRAGOUN: Praha 885–1310 : Kapitoly o románské a raně gotické architektuře – Prag 885–1310 : Kapitel über romanische und frühgotische Architektur. Praha 2002.
- DRAGOUN/PODLISKA/STAREC 2019 — Zdeněk DRAGOUN / Jaroslav PODLISKA / Petr STAREC: Nové informace k poznání opevnění Starého Města pražského – Neue Informationen zur Befestigung der Prager Altstadt. In: Město a jeho hradby. (= Documenta Pragensia, sv. 38), O. Fejtová / M. Maříková / J. Pešek (eds), Praha 2019, 21–37.
- FRB II – LET. ČES. — Josef EMLER (ed.), překlad V. V. TOMEK: Letopisy české od roku 1196 do roku 1278. In: Fontes rerum Bohemicarum II. : Cosmae Chronicon Boemorum cum continuatoribus. Pragae 1874, 282–303.
- HLAVSA/VANČURA 1983 — Václav HLAVSA / Jiří VANČURA: Malá Strana : Menší Město pražské – Die Prager Kleinseite. Praha 1983.
- HLAVÁČEK/KAŠPAR/NOVÝ 1997 — Ivan HLAVÁČEK / Jaroslav KAŠPAR / Rostislav NOVÝ: Vademecum pomocných věd historických. Praha 1997.
- HOLANOVÁ 1969 — Eva HOLANOVÁ: Dějiny budovy, Stavební historie. In: Malá Strana čp. 246/III, Nerudova. (= Stavebně historický průzkum Prahy; pasportizace SÚRPMO). Praha 1969, 1–6, 14–15. Strojopis, uloženo: NPÚ v Praze, dokumentační fondy.
- JANSKÁ 1973 — Eva JANSKÁ: K výzkumu pražského opevnění – Zur Erforschung der Prager Befestigungsanlagen. Staletá Praha 6, 1973, 46–60.
- KAŠIČKA 1995 — František KAŠIČKA: U bývalé Dolní Strahovské brány pražské Malé Strany : Stavebně historický průzkum oblasti – Am ehemaligen Strahover Untertor in Prager Kleinseite. Archaeologia historica 20, 1995, 125–132.
- KUBIČEK 1954 — Alois KUBIČEK: Objev malostranského opevnění. Ochrana památek 29, 1954/7–8, 61.
- NOVOSADOVÁ 1970 — O. NOVOSADOVÁ: Dějiny budovy. In: Malá Strana, čp. 192/III, Thunovská. (= Stavebně historický průzkum Prahy; pasportizace SÚRPMO), Praha 1970, 1–13. Strojopis, uloženo: NPÚ v Praze, dokumentační fondy.
- PODLISKA/HAVRDA/KOVÁŘ 2003 — Jaroslav PODLISKA / Jan HAVRDA / Miroslav KOVÁŘ: Dům čp. 249/III v Nerudově ulici na Malé Straně (příspěvek ke spolupráci archeologie a stavebně-historického průzkumu). Staletá Praha 24, 2003, 29–54.
- RAZÍM 2020 — Vladislav RAZÍM: Praha. In: V. Razím, Středověká opevnění českých měst 2/2 : Katalog Čechy (P–Ž), Praha 2020, 678–755.
- SEDLÁČEK 1923 — August SEDLÁČEK: Paměti a doklady o staročeských mírách a váhách. (= Rozpravy České akademie věd a umění ř. I, sv. 66), Praha 1923. Dostupné na <<https://digi.law.muni.cz/handle/digilaw/1271>>.
- SOVINOVÁ 1985 — Yveta SOVINOVÁ: Opevnění Malé Strany a Hradčan ve 13. a 14. století. Diplomová práce, strojopis, Praha 1985. Uloženo: 1) FF UK, Ústav pro dějiny umění, 2) NPÚ v Praze, dokumentační fondy.
- TOMEK 1892a — Václav Vladivoj TOMEK: Dějepis města Prahy 2. Praha 1892, 2. vydání.
- TOMEK 1892b — Václav Vladivoj TOMEK: Mappy staré Prahy k letům 1200, 1348 a 1419. Praha 1892.
- ULIČNÝ 2018 — Petr ULIČNÝ: The Garden of Archduke Ferdinand II at Prague Castle. Studia Rudolphina 17–18, 2018, 23–34.

ZUSAMMENFASSUNG

DIE WESTLICHE SEITE DER BEFESTIGUNG DER KÖNIGLICHEN STADT AUS DEM 13. JAHRHUNDERT IN DER PRAGER KLEINSEITE DEN ERKENNTNISSEN DER ARCHÄOLOGISCHEN FORSCHUNG GEMÄSS

Das mittelalterliche Prag war eine Parallelstadt, die im 13. Jahrhundert zwei, seit dem 14. Jahrhundert vier selbständige Städte bildeten. Die älteste hochmittelalterliche Rechtsstadt war die Altstadt. Nach der Vollen- dung der Befestigung der rechtsufrigen Altstadt (in den 1230er bis 1250er Jahren) König Přemysl Ottokar II. hat im Jahr 1257 Bedingungen zur Gründung einer mittelalterlichen Rechtsstadt auch am linken Moldauufer unter der Prager Burg geschaffen. Er hat sich entschieden das hiesige Gebiet mit einer sehr altertümlichen Siedlungstradition in eine reiche moderne Stadt zu verwandeln. Die Befestigungsbautätigkeit kann an den Aufbau der Altstädter Befestigung ohne größere Unterbrechung angeschlossen worden sein, die schrift- lichen Nachrichten schweigen jedoch vom Befestigen der Kleinseite. Die Fläche der frühgotischen Stadt stellt den historischen Kern der heutigen Kleinseite dar. Ihre Befestigung hat bei der späteren Erweiterung der Stadt ihren Sinn verloren und ist verschwunden. Ihre geringen Reste werden sehr selten bei historischer Bauforschung und archäologischen Forschungen im Zusammenhang mit Umbauten der Häuser im Prager Denkmalreservat gefunden. Bei einer solchen Gelegenheit erwarb man in den Jahren 2011–2018 erstmalig mehr abgerundete Erkenntnisse vom Profil und äußeren Aussehen des Befestigungsstreifens in Gestalt zum Jahr 1278. Es ist durch die archäologische Rettungsforschung auf dem Grundstück des Hauses Nr.-Konskr. 192/III in der Thunovská Gasse an der Westseite der damaligen Stadt gelungen. Den vorliegenden Text be- gleiten die erstmalig veröffentlichten Ergebnisse der Felddokumentierung der Autoren. Man legt Nachdruck nicht nur auf die Beschreibung der einzeln erhaltenen Bestandteile der Befestigung – Stadtmauer, Turm, Zwinger, Zwingermauer, Graben, Grabenbrücke – sondern auch auf die Erkenntnis der technologischen Vorgänge bei ihrem Bau. Die Autoren bemühten sich vor allem die demolierten Partien des gemauerten Grabens zu dokumentieren.

Die frühgotische Neue Stadt unter der Prager Burg (*Nova civitas sub castro Pragensis*) befand sich auf dem unregelmäßig trapezförmigen Geländestück mit dem Flächenausmaß zu ungefähr 20 Hektar. Die Stadt war mit der an der Ostseite 494 m, an der Südseite 534 m und an der Westseite 152 m langen Steinmauer umgeben, deren äußere Flügel an der Nordseite an die Burgbefestigung angeschlossen waren (Abb. 1). Die Mauerlängen sind in der Karte abgemessen, auf dem steil abfallenden Gelände war die Befestigung in der Wirklichkeit länger.

Die Stadtmauer wurde schon seit langem gesucht, es ist gelungen bei der archäologischen Forschung im Jahr 2014 unter den Fußböden der nicht unterkellerten Räume des 1. Obergeschosses beim Aushub der Sonde XVIII (Abb. 3) ihre Reste festzustellen, wobei das westliche – äußere – Mauerhaupt in der Länge von 6 m samt dem nördlichen Anschluss des anliegenden Turms (Abb. 4) freigelegt wurde. Die spätere sorg- fältige Beschau der Wände brachte mit sich auch die Identifikation des östlichen, der Stadt zugewandten Mauerhauptes in der Länge zu 1 m (Abb. 6, 10). Der westliche Stadtbefestigungsarm ist auf einem steilen Hang erbaut, und diese Tatsache widerspiegelte sich auch in der Fundamentierungstechnik der Stadtmauer. Das nord-südlich abfallende Gelände wurde zu diesem Zweck stufenartig zubereitet, wäre die Sohlenfuge sowohl in historische Schichten gesetzt (Sonde XII) als auch in den Felsen gehauen (Sonden XVIII, XIX Abb. 4). Die Stadtmauersohlenfuge sank erheblich nicht nur nach Süden, sondern auch in der östlichen Richtung. Bei der Mauerbreite zu 1,9 m sank sie in der Querrichtung um 0,80 m, am ehesten auch abgestuft (Abb. 8). Der Mauerkerne bestand aus den manchmal bis 0,5 m langen, lokal mörtelgebundenen Stücken Pläner mit zahlreichen Luftlücken (Abb. 9). Die registrierte Mauerhöhe erreichte an der Stadtseite 8,15 m von der Sohlenfuge.

Der Turm. Aus der Westseite war an die Stadtmauer ein Turm angelegt (Abb. 11). In der Tat ist die nördliche Ecke der Fügung der Mauer mit dem vorspringenden Turm erhalten, von dem der Grundriss der Nordmauer geblieben ist. Die Ostseite des Turms bildete die Stadtmauer. Es ist gelungen aus kleinen Fragmenten die Ostwand der Mauer/des Turms zu rekonstruieren, darin zwei Ecken (Abb. 10). Die südliche Ecke war mit sorgfältig ausgeführter zierlicher Armierung versehen (Abb. 10: b1 + b2 + b, 15, 16). Beide Ecken beschränk- ten den Abstand von 3,6 m (am ehesten die Tordurchfahrt). Östlich und westlich vom Turm wurde die mit Kiesel- gepflasterte festgestampfte Fläche registriert. Das indiziert, dass der Turm durchfahrbar war und die Funktion des Tors erfüllen konnte (Abb. 17). Durch Verbinden der Lage- und Höhenkoordinaten aller an der Linie W-O dokumentierten Pflasterabschnitte entstand das rekonstruierte Profil der geraden, von der Stadt schräg aufsteigenden, die Tordurchfahrt in der Richtung zum heutigen Grundstück Parz.-Nr. 511 durchlau- fenden Fahrbahn (Abb. 21). Der Weg führt gegen die bis heute hoch gelegene Terrasse Parz.-Nr. 510, in der der große, aus den Veduten bekannte Felsenblock verborgen ist, den der Weg nicht überwinden konnte (Abb. 53: a). Der Weg konnte nur durch Abbiegung links nach Süden weiterlaufen (Abb. 23). Der schwierigere Zugang zum Tor möge eine strategische Absicht gewesen sein, oder er konnte den Weg zum Tor verlängern und die Steigung/das Abfallen mäßigen.

Der Stadtgraben stammt laut der Chronisteneintragung aus dem Jahr 1278, als Přemysl Ottokar II. sich auf den Krieg mit Rudolf Habsburg vorbereitete. Die meisten Erkenntnisse und das ganze Grabenprofil stammen aus der Sonde XIV, der ausgedehnten Baugrube mit Flächenausmaß von 261 Quadratmeter und Umfang von 867 Kubikmeter, wovon 640 m³ die Grabenausfüllung bildete. An der Nordseite des Areals widmete man ein großes Augenmerk den Spuren nach dem Graben auf dem Grundstück Parz.-Nr. 503 (Abb. 2: E, Höhenniveau des 3. Obergeschosses des Hauses). Die Wände wurden neu ausgebrochen – die Verkleidung wurde an die nicht verwitterte Steinoberfläche angelegt. Die Felsenwände wurden sehr präzise ausgebro- chen. Bei der Kontreskarpe in der Sonde XIV war die Wandneigung genau 60° (Abb. 27A) gemessen. Die erreichte Neigungsgenauigkeit an der ausgebrochenen Felsenwand der Kontreskarpe ist bewunderungswert (Abb. 28B), die Baumeister verwendeten beim Felsenbrechen wohl die Dreieckschablone (Abb. 30) zum Messen. Beim Bau der Eskarpe hat sich die Wandneigung, wohl infolge der Naturfaktoren, mäßig geändert.

Beide im Felsen gebrochenen Wände waren mit massiven Mauern aus den mit festem Mörtel gebundenen Plänersteinen verkleidet, der Raum hinter der Verkleidung war aus den oft auch trockengelegten Steinen mit Luftlücken zusammengesetzt. Die Mauerhäupte sowohl der Eskarpen- als auch der Kontreskarpenmauer waren sorgfältig gemauert. Die Ausmauerung der Eskarpe ist nicht überall wie bei der Kontreskarpe an die Felsenwand angelegt, die Rückseite ist stellenweise stufenartig gebaut. Zwischen dem Felsen und dem Mauerwerk blieben daher Lücken, die mit verwittertem Schiefersplitt aus dem Felsen ausgefüllt wurden (Abb. 27B: 4 rot). Die Breite der Kontreskapenummauerung überstieg nicht 1 Meter, bei der Eskarpe war sie größer: in der unteren Hälfte 1 m, nach oben erweiterte sie sich und konnte bis 1,8–1,9 m als solides Fundament für die Zwingermauer erreichen. Das Mauerhaupt ist jedoch nicht erhalten, denn die Eskarpe wurde später zum Bausteinbruch. In der Ummauerung befanden sich deutliche technologische Fugen, und zwar sowohl die Lager-, als auch die vertikalen Fugen. Die Lagerfugen waren nicht waagrecht, sie stiegen nach Norden. Ihre Intervalle variierten zwischen 0,7 bis 0,8 m. Sie wurden am ehesten an der Felsenwand abgemessen, bei der Messung ihrer schrägen Entfernung erscheint oft das Intervall von 1,5 böhmische Ellen (0,89 m). Ein interessantes Detail stellt der in der unteren Partie der Eskarpe durch die ganze Mauerstärke bis zum Mauerhaupt überlassene Felsenblock $1,05 \times 0,7$ m (Abb. 32) dar, wohl mit Funktion eines stabilisierenden Zapfens am steilen Hang. An den unteren Partien der Eskarpe und Kontreskarpe ist lokal der qualitätsvolle Putz erhalten, es ist daher nicht ausgeschlossen, dass beide Grabenseiten völlig verputzt waren. Die Bodenbreite wurde in einer Position freigelegt, sie betrug 4,44 m (7,5 böhm. Ellen = 4,436 m) zwischen den Mauerhäupten der Ummauerung, die in den Felsen gehauene Grabenbodenbreite wird auf 6 m (10 Ellen = 5,916 m) abgeschätzt. Auf dem Grabenboden wurde keine Spur nach Ausmauerung oder Pflasterung gefunden, mit einer Ausnahme des Grabenbodens unter der zum Tor in den Hradšchiner Platz führenden Brücke. In der Sonde XIV steigt der Grabenboden in der Neigung zu $13,5\text{--}15^\circ$ bis zum Fuß der im Felsen gehauenen querorientierten, min. 1,6 m hohen Schwelle (Abb. 33).

Der Grabenboden war auf dem steilen Abhang höchstwahrscheinlich durch Stufen/querorientierte Schwellen kaskadenartig gegliedert, die die Verteidigungsfunktion erfüllten und den Wasserstrom bei Starkregen verlangsamen. Die 4 m hohe Quermauer wird eindeutig als Verteidigungselement angesehen (Abb. 36, 37), das den Durchgang durch den Graben hoch zur Burg erschwerte und dadurch deutlich zur Verteidigung der Burg beitrug.

Es ist zum ersten Mal in der Kleinseite gelungen ein Fragment der Zwingermauer aus dem 13. Jahrhundert zu identifizieren (Abb. 45A–C). An die Zwingermauer lag aus der Westseite die schräge Ummauerung der Eskarpe an, das begehbare Niveau des Zwingers lag niedriger. Es war keine technologische Baunaht zwischen der Zwinger- und Eskarpenmauer vorhanden, sie waren beide verknüpft, auf einmal erbaut. Im Jahre 1278 hat man zusammen mit dem Umbau des Grabens auch die Trassierung des Wegs zur Burg verändert. Er wurde aus dem neu festgestellten (im Beitrag behandelten) Tor im Haus in die Trasse der Schlossstiege versetzt, wo er sich bis heutzutage befindet. Er überwand den Graben über die Brücke, deren Bogen zugänglich ist (Abb. 47). Die baulichen Umgestaltungen der Grundstücke, die zum Haus Nr.-Konskr. 192/III angehören, sind noch nicht vollendet, die archäologische Forschung wird fortgesetzt werden.

Abb. 1. Prag-Kleinseite, gotische Befestigungen der königlichen Stadt in der Kleinseite: **Violett** – frühgotische Befestigung aus der Zeit Přemysl Ottokars II.; **rot** – östlicher Arm, der romanisch sein kann; **grün** – Erweiterung des befestigten Stadtraums aus der Zeit Karls IV. als Reaktion auf den militärtechnischen Fortschritt. Über die Moldau führt die romanische Judithbrücke.

Abb. 2. Prag 1-Kleinseite, Thunovská G. Nr.-Konskr. 192/III, Areal des ehemaligen Theatinerklosters – seine Situation und Gliederung: **A+B+C** – bebaute Fläche des Hauses, davon **B** – Nordflügel mit dem Refektorium im 1. Obergeschoss; **C** – östlicher Sanitärflügel mit einer barocken Abfallgrube (ČIHÁKOVÁ/MÜLLER 2013); **D** – (Eingangs-) Hof; **E** – nördliches „Gärtchen“ mit der Sonde VII, Parz.-Nr. 503; **F** – nördlicher erhöhter Teil vom Garten, Parz.-Nr. 511; **G** – südlicher, niedrigerer ebener Teil des Gartens, Parz.-Nr. 512. **Weißes Rechteck** in der grünen Fläche G – ehemaliges Glashaus; südliche Partie (**weiß**) vom Garten am steilen Hang, Parzellen Nr. 501 und 513.

Abb. 3. Prag 1-Kleinseite, Nr.-Konskr. 192/III. Lokalisierung und Grundriss vom neu freigelegten Fragment der Stadtmauer und des Torturms im Grundriss des 1. Obergeschosses, mit Bauaufnahme der Mauerkronengrundrisse. Die Nummerierung der Sonden ist gemeinsam für das Erd- und 1. Obergeschoss. Die Maße vom Torturm in böhmischen Ellen; Rekonstruktionsentwurf.

Abb. 4. Prag 1-Kleinseite, Nr.-Konskr. 192/III. Die Stadtmauer im maximalen kontinuierlichen Ausmaß. Ansicht des westlichen – äußeren – Stadtmauerhaupts mit abgestufter Sohlenfuge am steilen Hang, in den Sonden XII und XVIII erhalten (zusammengesetzt aus den Schnitten 31+35 in der Sonde XII und 120+158 in der Sonde XVIII). In der unteren Partie unter der Kote 234,2 (alle Seehöhen – Kronstädter Pegel) blieb der verriebene Mörtel (Putz?) im großen Ausmaß am Mauerhaupt erhalten. In der Sonde XII (heute der Aufzugschacht) wurden die Steine von Osten auseinandergenommen (VII/2011, Schnitt 31; XI/2011, Schnitt 35). Farbenerklärung: **grau** – in allen Plänen intakter Felsenuntergrund; **rechts voller Ton** – Querschnitt durch das nördliche Mauerwerk des anliegenden Turms; **links lilafarbig** – Stadtmauernegativ über der Sohlenfuge in der Linie des westlichen Mauerhauptes in der Sonde XII; **braun** – Schichtenkomplex der Jungburgwallsituationen; **a (gelb)** – rekonstruierte Höhe der Kieselplasterung in der Torturmdurchfahrt (s. unten); **p** – Durchgang zum Garten. Situierung s. Abb. 3; **17** (Aufnahme und Zeichnung Autor, grafische Gestaltung M. Đurica).

Abb. 5. Prag 1-Kleinseite, Nr.-Konskr. 192/III. Westliches Stadtmauerhaupt, Ansicht von Südwesten.

Abb. 6. Prag 1-Kleinseite, Nr.-Konskr. 192/III. Geringes Fragment des östlichen (der Stadt zugewandten) Stadtmauerhaupts, Ansicht von Osten. Situierung des Fragments s. Abb. 10: a1 neben dem Garteneingang (Abb. 10: p). Legende: **a** – östliches Stadtmauerhaupt; **b** – Plombe; **c** – jüngere Ummauerung des Stadtmauerhaupts.

Abb. 7. Prag 1-Kleinseite, Nr.-Konskr. 192/III, **generalisierter Schnitt G1**. Stadtmauerstärke (Schicht 1289, Schicht 1630), Schnitt unter dem Fußboden des 1. Obergeschosses zwischen der Sonde XVIII und dem

Erdgeschossgewölbe in der Sonde XIX (s. Abb. 17). Legende: **a** – Erdgeschossfußboden vor Beginn der Bauarbeiten (232,30); **b** – geplanter niedriger liegender Fußboden; **c** – Boden des Aushubs für den geplanten Fußboden (231,40); **d** – steinige Geländeoberflächengestaltung in der Umgebung des Turms; **e** – die durch Abfallgrubenerrichtung zerstörte Situation. Schnittpunkt mit Schnitt 120 – Kreuzung mit Abb. 4, Schnittpunkt mit Schnitt 165 – Kreuzung mit Abb. 10 (Aufnahme der Autoren, Digitalisierung M. Ďurica).

Abb. 8. Prag 1-Kleinseite, Nr.-Konskr. 192/III. Generalisiertes **Profil G3**. Nördliches Außenmauerhaupt vom Turm, in der Sonde XVIII der Winkel mit der Stadtmauer – **Linie c** (Stadtmauer Schicht 1289, **Volllinie**). An der Stadtmauerostseite das Mauerwerk abgehauen, Kernmauerwerk mittels Blende (**Ocker**) infolge Durchbruchs für die Wasserleitung geebnet (s. Abb. 10: m). Im Schnittpunkt mit der Ansicht der Ostwand am Schnitt 165 – Kreuzung mit Abb. 10, Schnittpunkt mit Schnitt 120 – Kreuzung mit Abb. 4. Die abgestufte W-O Sohlenfuge der Stadtmauer kommt aus dem Höhenunterschied der West- (**a**, 232,84) und der Ostseite (**f**, 232,10) heraus. Weitere Legende: **b** – Linie des östlichen Stadtmauerhaupts, d. h. der Abb. 10 (Schnitt 165); **c** – Linie der westlichen Stadtmauerlinie und der Baufuge zwischen der Stadtmauer und dem Turm.

Abb. 9. Prag 1-Kleinseite, Nr.-Konskr. 192/III. Stadtmauerkern an der Nordseite des Durchbruchs für die Wasserleitung, Situierung s. Abb. 10: m, von Osten.

Abb. 10. Prag 1-Kleinseite, Nr.-Konskr. 192/III, **Schnitt 165**. Erhaltene Fragmente des äußeren östlichen Mauerhaupts von Stadtmauer/Turm (**violett**) und ihre Höhen- und Raumzusammenhänge in der Sonde XIX, und zwar sowohl im Flur vom 1. Obergeschoss über dem Fußboden als auch unter ihm im Erdgeschoss. In den Tordurchbrüchen ist das Mauerwerk zerstört, im Erdgeschoss an der Nordseite hinter dem Mauerhaupt befinden sich Fragmente vom Kernmauerwerk der Stadtmauer (beides – **grün**). Legende: **a1** – östliches Mauerhaupt der Stadtmauer (**violett** – Fugen) 3 m nördlich der Torturmdurchfahrt; **a2** – östliches Mauerhaupt der Stadtmauer im 1. Obergeschoss, unter der Decke; **b+b1+b2** – Fuge und Mauerwerk der östlichen Ecke der „Tordurchfahrt“; **c+c1** – Fuge und Mauerwerk der nördlichen Ecke der „Tordurchfahrt“ (**violett** – Steine); **d** – äußeres nördliches Turmmauerhaupt, unter der Decke registriert; **e** – Projektion des nördlichen Turmmauerhaupts in der Höhe der „Tordurchfahrt“; **f** – Mörtelschicht auf der Sohlenfuge der Stadtmauer, infolge der Wasserleitungserrichtung beschädigt, in der Tiefe der heutigen Mauer (s. G3 Abb. 8) gefunden; **g** – große Plänersteine, im Mauerhaupt lehmgebunden, deren Angehörigkeit zur Stadtmauer bezüglich des Bindemittels nicht sicher ist, weitere Partien nach oben sind vom Putz überdeckt (**n**); **h** – sog. Ausmauerung; **i** – rekonstruiertes Niveau der Pflasterfahrbahn in der Toreinfahrtsflucht; **j** – festgestellte Felsenoberfläche unter der Nordmauer des Tors; **k** – festgestellte Felsenoberfläche unter dem Teil vom Tor und der Torsüdmauer; **l** – Reste nach den verschwundenen Stiegen zum Garten, 19. Jahrhundert; **m** – Wasserleitungsdurchbruch aus dem 19. Jahrhundert, darin eine Stufe mit glatter Plänerblende (Abb. 8); **n** – Putzschicht; **o** – Ausfüllung einer Rinne aus der Mittelburgwallzeit; **p** – Durchgang in den Garten im 1. Obergeschoss; **q** – steigende Sohlenfuge des (gegenüberliegenden) westlichen Mauerhaupts der Stadtmauer; **grün** – zerstört; **r** (im Rahmen des Zerstörten) – Kernmauerwerk der Stadtmauer hinter dem zerstörten Mauerhaupt ist belegt; **s** – Nische nach den verschwundenen Stiegen (Nach Felddokumentation und Anleitung der Autoren von M. Ďurica zusammengesetzt).

Abb. 11. Prag 1-Kleinseite, Nr.-Konskr. 192/III. Die den Zubau der Nordmauer des Turms zur durchlaufenden Stadtmauer belegende Baufuge.

Abb. 12. Prag 1-Kleinseite, Nr.-Konskr. 192/III. Nördliches äußeres Mauerhaupt vom Turm, Ansicht von Norden (Zeichnung s. Abb. 8); **a** – neuerrichtete Mauer aus dem Jahr 2018, mittels Geotextilie vom Turmmauerwerk separiert. **A** – Blick von Norden; **B** – Blick von Westen von oben.

Abb. 13. Prag 1-Kleinseite, Nr.-Konskr. 192/III. **A** – **Generalisierter Schnitt G5** von Westen, Blick auf die Stadtmauer- und Turm- (**violett**) und die Ausmauerungsreste (**ockerfarbig**) samt deren Höhen- und Raumzusammenhängen in den Sonden III (Schnitt 136) und XVIII (Schnitt 120) unter dem Fußboden der Räume im 1. Obergeschoss. Legende: **a3** – westliches Stadtmauerhaupt im Schnitt; **b** – südliche Ecke der Öffnung in der Stadtmauer; **b3** – Stadtmauer, Kernmauerwerk (Schicht 1621) neben der Südwand der Durchfahrt, ca. 0,7 m vom östlichen Stadtmauerhaupt (s. Abb. 10: b1); **c2** – Schnitt über die Nordmauer des Turms vor dem Stadtmauerhaupt (westlich); **e** – nördliches Turmmauerhaupt; **h** – westliches Mauerhaupt der Ausmauerung mit Austragebogen (Schicht 1622), zugleich östliche Turminnenwand, Ansicht von Westen; **i** – rekonstruiertes Niveau der gepflasterten Fahrbahn ca. 0,7 m vom östlichen äußeren Umriss des Tors; **j** – sekundäre, infolge der Kesselraumerrichtung niedriger liegende Felssoberfläche; **p** – Durchgang in den Garten im 1. Obergeschoss; **s** – Nische nach verschwundener Treppe (bis hier die mit Abb. 10 verbundenen Bezeichnungen); **m** – Eingangsöffnung zwischen dem Erdgeschoss und Kesselraum (Stiege); **n** – Stahlbetonblende vor der nördlichen Turminnenwand, nördliche Kesselraumwand; **o** – Rückseite vom Gewölbe und der ehemaligen Treppe. **B** – Grundriss vom Torturm und 1. Obergeschoss des Hauses, Situierung des Schnitts G5. **Rote Volllinie** – freigelegte Grundrissteile; **Strichlinie** – Rekonstruktion. **C** – Baunaht zwischen dem Kernmauerwerk der Stadtmauer **b3** (rechts) und der Ausmauerung **h**.

Abb. 14. Prag 1-Kleinseite, Nr.-Konskr. 192/III, Torturm, nördliche Mauer, Kernmauerwerk. Große Plänerblöcke sind unregelmäßig mit vielen Luftlücken Mörtelgebunden, große Teile der Steinoberfläche blieben ohne Bindemittelsuren. **Links** unten eine Öffnung im Ziegelgewölbe über der Wasserleitung aus dem 19. Jahrhundert.

Abb. 15. Prag 1-Kleinseite, Nr.-Konskr. 192/III. Sorgfältig armierte südliche Ecke (**A**) der Öffnung im Torturm (Bezeichnung Schicht 1680 [Steine K510 und K511]), durch Brand von Osten stark beschädigt. Sowohl die Sicht- als auch Lagerflächen mit Kröneleisen bearbeitet.

Abb. 16. Prag 1-Kleinseite, Nr.-Konskr. 192/III, Turmmarmaturstein K150, Mitte des 13. Jahrhunderts. Bearbeitungsweise: Saumschläge sowie Flächen mit zahnigem Werkzeug bearbeitet. Abgebrockelte Bruchteile der bearbeiteten Oberfläche fielen zum Boden des Aushubs in der Gewölbeaufschüttung. Sie wurden gesammelt, zusammengeklebt und adjustiert.

Abb. 17. Prag 1-Kleinseite, Nr.-Konskr. 192/III. Grundriss der Stadtmauer mit dem Tor (**violett**) und der Kommunikationen mit Kieselplasterung im Erdgeschossgrundriss des Hauses. **Gelb** – Die in die Tordurchfahrt führenden Kommunikationen (in der Sonde XIX nur die während der Zerstörung durch nicht gemeldete

Grabungsarbeiten festgestellten Torsos); **orange** – Schichtenkomplexe der durch den Stadtmauerbau unterbrochenen älteren Kieselkommunikationen aus der Romanik; **rot** – Radspuren; **blau** – Lokalisierung der generalisierten Schnitte **G1–G4**; **a** – Terrassenmauer zwischen den Parzellen 511 und 512, arkadenweise erbaut; **h** – Ausmauerung; die Sonden sind mit römischen Zahlen nummeriert (Verarbeitung nach Felddokumentation und Anleitung der Autoren M. Ďurica).

Abb. 18. Prag 1-Kleinseite, Nr.-Konskr. 192/III, Sonde XIX. **A** – Teil der Pflasterung (Schicht 1309) während der Freilegung, Detail (**B**) mit einem Hufeisen (**Pfeil**). Lokalisierung – Abb. 17, große **gelbe** Fläche.

Abb. 19. Prag 1-Kleinseite, Nr.-Konskr. 192/III, **Schnitt 135**. Profil des nördlichen, teilweise in den Felsen gehauenen Teils vom Weg. Das Wandprofil ist infolge des in den Mauerdurchbruch führenden Wasserleitungsgrabens aus dem 19. Jahrhundert beschädigt. Deutliche Beschränkung des Wegs durch die Felsenstufe (**grau**), dessen ursprüngliches Vertiefen nicht erhalten ist. Der naheliegende Felsen war am Schnitt 133 höher, er reichte bis zu 231,98 (Niveau **a**), d. h. um 0,34 m höher als die gepflasterte Oberfläche.

Abb. 20. Wenzel Hollar, 1649 (nach Vorlage aus dem Jahr 1636): Großes Prospekt von Prag. Ausschnitt – Areal des (heutigen) Hauses Nr.-Konskr. 192/III samt seiner Umgebung. Blick von Süden, an der Westseite deutliche Überhöhung des Felsenblocks unter der heutigen Parzelle Nr. 510 (**a**) gegen die Trasse des Wegs (**rote Punkte**) durch das ehemalige Tor aus den 1250er bis 1260er Jahren.

Abb. 21. Prag 1-Kleinseite, Nr.-Konskr. 192/III. Generalisierter **Schnitt G2** vom Eingangshof (Sonde XI) bis in die Parzelle Nr. 511 (Sonde XIV). Grundriss des Schnitts G2 s. Abb. 17. Die Verbindungslinie der in der Schnittlinie G2 dokumentierten Pflasterabschnitte (**gelb**) bildet eine Rekonstruktion des Profils der Fahrbahn durch die Tordurchfahrt; das Ergebnis ist eine durchlaufende, nach Westen steigende Gerade. Im Hof in der Sonde XI und im Garten in der Sonde XIV/511 erhielt sich über dem Felsen (**grau**) unberührter Hanglehm des geologischen Untergrunds (**hellgrau**, mit Untergrundsymbol). In der Entfernung 2,0–7,3 m vom Tor (13,2–18,5 m an der X-Skala) liegt der Pflaster direkt auf der Felsoberfläche, vor dem Tor liegt er auf der Ausfüllung des Objekts (**braun**). Legende: **a** – Wand der Tordurchfahrt in der dokumentierten Länge (**rosa**); **b** – östliches Stadtmauerhaupt; **c** – Anschlussstelle zwischen dem Turm und der Stadtmauer; **d** – vorausgesetztes westliches Turmmauerhaupt; **e** – Umriss des Kellerlichtschachts (abgeschätzte Tiefe); **s** – durch den Bau zerstörte Partien. Kreuzung mit dem Schnitt **G4** s. Abb. 46, an Kreuzungsstelle mit Linie **c** s. Abb. 4, an Kreuzungsstelle mit Linie **b** s. Abb. 10.

Abb. 22. Prag 1-Kleinseite, Nr.-Konskr. 192/III, Sonden VI und XIV. Teil der romanischen Pflasterung (Schicht 1825), Lokalisierung s. orange Fläche, Abb. 17.

Abb. 23. Prag 1-Kleinseite, Nr.-Konskr. 192/III, Situierung der Stadtmauer und des durchfahrbaren Turms zusammen mit der vorausgesetzten Trassierung des romanischen (**orange**) und frühgotischen Wegs (**grün**) gemäß den registrierten Abschnitten. **A** – Felsenblock unter dem heutigen Grundstück Parz.-Nr. 510, mittels Ausschnitts des sog. Sadelers-Prospekts von Prag (1606, s. Abb. 53A) illustriert. Beide Wege führten weiter ostwärts über den Nordflügel des Palastes Nr.-Konskr. 193/III und schlossen sich früher oder später der heutigen Thunovská G. an. Sie führten weiter westwärts wohl über die niedriger liegende Parzelle Nr. 509.

Abb. 24. Prag 1-Kleinseite, Nr.-Konskr. 192/III, Grundriss der Grabenreste in der Sonde XIV, Parz.-Nr. 512, samt den im Beitrag erwähnten Schnitten über den Graben. Pfeil in der Richtung des realen Blicks im Gelände (für den Beitrag sind die Ansichten einheitlich nach Norden orientiert). Legende: **1** – sekundär gesenkte Krone der Grabenausmauerung; **2** – Abhang der Grabenausmauerung; **3** – Zwingermauer; **4** – Felsen an Grabenseiten und -boden; **5** – Umriss der Baugrube für das Wasserbecken und seine technischen Hinterräume.

Abb. 25. Prag 1-Kleinseite, Nr.-Konskr. 192/III, ein Beispiel der raschen Degradierung – der im Herbst freigelegte und geputzte Schieferfels nach einer Wintersaison.

Abb. 26. Prag 1-Kleinseite, Nr.-Konskr. 192/III, Beispiel der stufenartigen Rückseite der Eskarpe im Schnitt 68, der ihren Oberteil zeigt. Sie ist nicht in den Felsen fundamementiert, sondern in den anthropogenen Schichtenkomplex, der den Felsen überdeckt. Es lässt sich nicht bestimmen, ob die Schichten an der Eskarpentrückseite die Ausfüllung der Aushöhlungen an der schrägen Grabenseite (wie in Abb. 27A: 4) oder ältere historische Geländeformen darstellen.

Abb. 27. Prag 1-Kleinseite, Nr.-Konskr. 192/III, Sonde XIV. Profile – **A: Kontreskarpen**; **B: Eskarpen** – an den Schnitten in einheitlicher Orientierung, ohne Rücksicht zur Seehöhe in einer Folge von Norden nach Süden. Legende: **1** – Felsen; **2** – ältere historische Terrains; **3** – Grabenummauerung; **4** – Hohlräume, mit Schiefergeröll ausgefüllt; **5** – sehr harte Masse (Schicht 2540); **6** – Oberfläche der Ummauerung (**Volllinie**: erhalten; **Strichlinie**: Rekonstruktion); **7** – vorausgesetzte Linie des ausgebrochenen Felsens. Die Höhenskala zeigt lokale Höhe, nicht die Seehöhe; **Z** – West; **V** – Ost.

Abb. 28. Prag 1-Kleinseite, Nr.-Konskr. 192/III, Sonde XIV. Kontreskarpe, gerade Linie der Rückseite der Ausmauerung : **A** – Schnitt 193; **B** – Schnitt 195.

Abb. 29. Prag 1-Kleinseite, Nr.-Konskr. 192/III. Schnitt 71, geologischer Riss (**a**), mit der in der Entfernung 0,7–0,8 m im Fels ausgebrochenen Eskarpenwand (**b**) parallel. Foto nach dem Abbau des Eskarpenmauerwerks, sein Negativ (Rückseite) bildet das westliche Ende der Wand (**b**).

Abb. 30. Prag 1-Kleinseite, Nr.-Konskr. 192/III. Neigungen der im Felsen gehauenen Grabenwände bei der Kontreskarpe (**links**) und Eskarpe (**rechts**) der Abmessung an einzelnen Schnitten in der Sonde XIV gemäß. Ihre Einhaltung, vor allem an der Kontreskarpe deutet die Verwendung einigen Typs der Schablone bei ihrer Ausführung an, in diesem Fall mit einem Dreieck illustriert.

Abb. 31. Prag 1-Kleinseite, Nr.-Konskr. 192/III. **A, B** – Lagerfugen, an der Ausmauerung der Kontreskarpe deutlich; **C** – Vorderseite der Eskarpe mit den hochkant gestellten Steinen (und infolgedessen den vertikalen Rissen), der Lager- (**weiß**) und der Berührungsfuge (**Pfeile**).

Abb. 32. Prag 1-Kleinseite, Nr.-Konskr. 192/III. Der Felsblock (**a**) als Zapfen in der Eskarpe bis in ihr Mauerhaupt. Das mit (**b**) bezeichnete Mauerwerk gehört der Ausmauerung aus dem Jahr 1278 nicht an, es ist jünger und in einem die Eskarpe beschädigenden Aushub gegründet (**A** – von Südwesten; **B** – von Osten von oben).

Abb. 33. Prag 1-Kleinseite, Nr.-Konskr. 192/III. Längsprofil der Stufe/Schwelle und die Grabenbodenneigung am Schnitt 74 in der Nähe der Grabenachse (s. Abb. 24; 40). Legende: **braun** – Boden; **heller braun** – mittelalterliches Schichtengefüge; **grau** – Felsen; **a** – Terrassenstützmauerpfeiler; **b** – nicht geforschter, durch eine Serie Bohrungen mappeder Block unter der Baugrubensohle.

Abb. 34. Prag 1-Kleinseite, Nr.-Konskr. 192/III, Sonde XVI, **Schnitt 86**. Fuß der Grabenummauerung, Gründung in der unter den Grabenboden gehauenen Rinne.

Abb. 35. Prag 1-Kleinseite, Nr.-Konskr. 192/III – Lokalisierung der Sonden der Rettungsforschung des Nationalinstituts für Denkmalpflege in Prag in den Jahren 2011–2019.

Abb. 36. Prag 1-Kleinseite, Nr.-Konskr. 192/III, Querwand im Graben (Schicht 380), in der Sonde VII in der engen Nahe des 2. Obergeschosses beim Westflügel des Hauses registriert. Sekundäres Mauerhaupt nach Abbröckeln der ursprünglichen Oberfläche. Abgemessen nach Abriss der frühneuzeitlichen Ummauerung, Schicht 396; **a** – ursprüngliche Querwandoberfläche, schräge Linie der Mauerkrone ist nachträglich, Steine wurden ausgebrochen.

Abb. 37. Prag 1-Kleinseite, Nr.-Konskr. 192/III, Querwand, Schicht 380: **A** – Schnitt. Legende: **1** – vertikales sekundäres Mauerhaupt und annähernd glatte und horizontale Mauerkrone der Grabenquerwand (Schicht 380), die ehest eine mit qualitätsvoller Plänerummauerung unbekannter Stärke behandelte Felsenstufe bildet; **2** – hypothetische Fortsetzung der Ummauerungsstärke; **3** – neuzeitliche Ummauerung (Schicht 396) des vertikalen abgebröckelten Querwand-Mauerhauptes; **4** – Umfassungsmauer des Westflügels des Hauses Nr.-Konskr. 192. **B** – Foto: Parzelle Nr. 503, Blick in den den Kellerlichtschacht vertiefenden Aushub, in dem die 4 m hohe, den Graben absperrende Querwand festgestellt wurde; **5** – die in den Felsen gehauene Grabenwestwand, mit der Querwand benachbart.

Abb. 38. Prag 1-Kleinseite, Nr.-Konskr. 192/III, Sonde XIV. Ansicht von Osten, die zuunterst liegenden (Fundament-?) Steine der Kontreskarpe an Stelle des Schnitts 75. Die eigentliche Fundamentsohle ist hinter einem Rest der Schicht 2540 (**a**), der sich infolge seiner Härte nicht abhauen ließ. Rechts die Wand der Schwelle, hinter der die entlang der Ausmauerung laufende Rinne verborgen ist.

Abb. 39. Prag 1-Kleinseite, Nr.-Konskr. 192/III, Sonde XIV. Das zuunterst situierte Eskarpenmauerhaupt, zwischen den Schnitten 193 und 75 (rechts) freigelegt, Ansicht von Westen – die einzige Stelle in der Sonde XIV, wo nach dem Abhauen der Schicht 2540 tatsächlich die Fundamentsohle freigelegt wurde. Die Steine der Ausmauerungsbase sind verhältnismäßig niedrig, ihre Höhe war hinter der Schicht 2540 verborgen.

Abb. 40. Prag 1-Kleinseite, Nr.-Konskr. 192/III, Sonde XIV. **A** – Schnitt; **B** – Grundriss der Schwelle im Felsenmassiv an der Nordseite der Sonde. Entlang der Ummauerung ist die Schwelle in Gestalt der Rinnen umgewandelt, in die der Fuß der Ummauerung eingesenkt war; **a** – Pfeiler zwischen den sukzessiv mit Stahlbetonwand überdeckten Arkadenbogen der Terrassenmauer.

Abb. 41. Prag 1-Kleinseite, Nr.-Konskr. 192/III. **Grabenboden, generalisiertes Nord-Süd-Profil (rote Linie)** im ehemaligen Theatinerkomplex; Versuch der Feststellung der Grabentiefe (**ocker**) und an der Nordseite Schnitt über die Brücke (**rot**). Der Schnitt ist über das Gebäude des Westflügels (**B**) des Hauses geführt, dessen Erdgeschoss dem 1. Obergeschoss des Hauptgebäudes (**A**, vgl. Abb. **B**) entspricht. Freigelegte Grabenbodenabschnitte – **rote Vollinie**, Voraussetzung- **rote Strichlinie**.

Abb. 42. Prag 1-Kleinseite, Nr.-Konskr. 192/III. Parameter des Befestigungsstreifens in der Position des **Schnitts 75** in der Sonde XIV. **Violett „a“** – Stärke der Stadtmauer. Hinter der 9,3 m hohen Terrassenmauer befindet sich die Parzelle Nr. 510 mit Rest vom Felsenblock (s. Abb. 23: A).

Abb. 43. Prag 1-Kleinseite, Nr.-Konskr. 192/III, Sonde XIV. Freigelegte Grabenreste, Gesamtansicht, ohne den Grabenboden, der unter der Baugrubensohle blieb.

Abb. 44. Prag 1-Kleinseite, Nr.-Konskr. 192/III. **Generalisierter Schnitt G6** stellt die Höhenverhältnisse einzelner Elemente der Befestigung aus der 2. Hälfte des 13. Jahrhunderts im Bereich des „nördlichen Gärtchens“, Parzelle Nr. 503 (Sonde VII) dar. Legende: **1, grüne Linie** – Oberfläche des Gärtchens bis 2011; **2** – Rest der Pläner-Ziegel-Blende (Schicht 396), die das abgebröckelte Mauerhaupt der frühgotischen Quermauer ersetzt hat; **3** – renaissancezeitliche Grabenausfüllung; **4** – Grabenummauerung nördlich vom Mauerhaupt der Querwand; **5** – ursprüngliche Mauerkrone der Querwand und des Grabenbodens; **6** – beschädigtes Mauerhaupt der Querwand aus dem mit festem Mörtel gebundenen Plänerstein (Schicht 380), die nachträglich niedriger gemachte Mauerkrone, Mörtelschichten 403+402 als Querwandteil, ihr Verlauf ist hinter dem Punkt 7 verborgen; **7** – Grabenummauerung der niedrigeren Stufe vor dem Mauerhaupt der Querwand; **farbige Linie** – erhalten, **Strichlinie** – hypothetische Fortsetzung; **8** – Hanglehm; **9** – Felsen; **b** – neuzeitlicher Pfeiler der Schlossstiege; **c** – westlicher Bogen der gotischen Grabenbrücke, der Östliche laut Abschätzung; **Z** – West, **V** – Ost.

Abb. 45. Prag 1-Kleinseite, Nr.-Konskr. 192/III. Die Zwingermauer: **A** – Schnitt 187, **rosa**, die der Stadt zugewandte Wand mit dem Zwingerniveau (Foto **B+C**), ockerfarbig, Eskarpe (Foto **D**).

Abb. 46. Prag 1-Kleinseite, Nr.-Konskr. 192/III. **Generalisierter Schnitt G4** durch das Tor (**violett**). **Rot** – sehr feste Pflasterschicht in der Nachbarschaft des Tors, Oberfläche aus den 1250er bis 1260er Jahren.

Abb. 47. Prag 1-Kleinseite, die Schlossstiege, Südwand, Ansicht von Osten, Ansicht aus der Parzelle Nr. 503.

Abb. 48. Prag 1-Kleinseite, die aus dem nördlichen Gärtchen (Parz.-Nr. 503) des Hauses Nr.-Konskr. 192/III zugängliche Brücke über den frühgotischen Graben, Situierung und Grundriss. Legende: **1** – gotische Brücke, **rot** – sichtbare Glieder; **2** – Südwand der Schlossstiege; **3** – Konstruktion der barocken Schlossstiege; **4** – Nr.-Konskr. 192/III, Westflügel, drittes Obergeschoss.

Abb. 49. Frontseite der von den Schlossstiegen überdeckten Brücke aus dem 13. Jahrhundert. Detail der Abb. 44.

Abb. 50. Prag 1-Kleinseite, Nr.-Konskr. 192/III, Darstellung der Raumbeziehungen zwischen einzelnen Elementen der Befestigung aus der 2. Hälfte des 13. Jahrhunderts im Raum des „nördlichen Gärtchens“, Parz.-Nr. 503 (Sonde VII). Die Höhenparameter s. Abb. D-M. Legende: **1** – gotische Brücke; **2** – Wand und

Konstruktion der Schlossstiege; **3** – Grabenausfüllung mit ihrem vorausgesetzten Ausmaß; **4** – Grabenausmauerung; **5** – Linie der westlichen Kant der Querwand und des gemauerten Bodens; **6** – Querwand und ihre in den ausgemauerten Boden übergehende Krone; **7** – Felsmassiv.

Abb. 51. Orthofotokarte von Prag, Ausschnitt, Lokalisierung der unter den Schlossstiegen verborgenen Brücke (rot), der Mauerkrone der Querwand, d. h. des ausgemauerten Grabenbodens (**gelbe Fläche**) und der zu den Brückenpfeilern gerichteten Grabenwände (**gelbe Linie**) auf der Parzelle Nr. 503 des Hauses Nr.-Konskr. 192/III. Legende: **1** – der sichtbare Teil der Grabenbrücke; **2** – der von der Barockwand der Schlossstiege herumgebaute (oder verschwundene) Teil der Brücke; **3** – gemauerter Grabenboden und Querwand im Ausmaß der Forschung; **4** – Linien des Grabens (an der Westseite beim Boden, an der Ostseite in der Mitte der Wand).

Abb. 52. Anonym, 1582: Prag. Kodex Dobrzensky – Ausschnitt. Schlossstiege, unter ihnen zwei Brückenbogen, Blick von Süden. Prag, Stiftsbibliothek Strahov, sog. Sammelbuch oder Kodex Dobrzensky III, Sign. DRI 21, Fol. 317. Wenzel Dobrzensky (wohl 1550–1595).

Abb. 53. Prag 1-Kleinseite, Nr.-Konskr. 192/III, Vergleich der Gestalt des Areals und seiner nahen Umgebung in den Jahren 1606 und 2021: **A** – Philip van den Bossche/Johannes Wechter, 1606, PRAGA. Der große, sog. Sadeler-Prospekt, Ausschnitt; **B** – heutiger Zustand. Legende: **a** – Felsenblock unter der heutigen Parzelle Nr. 510; **b** – Graben in Nr.-Konskr. 192/III und ein Brückenbogen unter den Schlossstiegen; **c** – Bebauung mit dem westlichen Burgtor auf der Fortsetzung des Felsenblocks; **d** – der äußere (Doppel-) Graben vor der Burg aus dem Jahr 1278, den die Brücke zum Westtor überbrückte.

Abb. 54. Prag 1-Kleinseite, Nr.-Konskr. 192/III, Schema des archäologisch geforschten nordwestlichen Stadtbefestigungsabschnitts aus dem 13. Jahrhundert. Legende: **1** – freigelegte Grabenausmauerung; **2** – Entwurf der Trassierung des Grabens; **3** – neu festgestellter Teil von Stadtmauer und Turm; **4** – Grabenbrücke; **5** – freigelegte Zwingermauerteile.

Abb. 55. A – Prag, Burg und Kleinseite. Westlicher Arm der gotischen Befestigung aus dem 13. Jahrhundert. An der Nordseite befindet sich der Graben auf dem 2. Burghof, in der Richtung nach Süden die Situation im Areal Nr.-Konskr. 192/III, in der Nerudova Gasse vorausgesetztes Ausmaß des Strahower Tors und Trassierung der Stadtmauer, an der Südseite **rot** – das bei der archäologischen Forschung im Hof des Hauses Nr.-Konskr. 249/III freigelegte Stadtmauerfundament.

B – Zusammendruck des historisierenden Plans von W. W. Tomek aus dem Jahr 1892 (sog. Karte zum J. 1348) – und der heutigen Katasterkarte mit ersichtlich gemachtem archäologischem Befund der Befestigung des 13. Jahrhunderts (d. h. mit Abb. **55A**). Die Rekonstruktion von Tomek ist abgelehnt (**gestrichen**).

C – Zusammendruck des Rekonstruktionsplans der südwestlichen Partie der Prager Burg zur Periode des 16. Jahrhunderts (ULČNÝ 2018, S. 27, Fig. 4) mit heutiger Katasterkarte mit ersichtlich gemachtem Befund der Befestigung des 13. Jahrhunderts (d. h. mit Abb. **55A**). Untere Schicht: heutiger Zustand – Umrisse **grau**, Gebäude **hellgrau**. Rekonstruierter Zustand in der Zeit Ferdinands II.: **schwarze Linie**, Graben (Nr. 4, 19) **grün**. Der Graben 19 ist fehlerhaft situiert, die Rekonstruktion besteht auch nicht.

Abb. 56. Michael Peterle/Jan Kozel, PRAGA BOHEMIAE METROPOLIS ACCVRATISSIME EXPRESA.1.5.6.2. Panoramatische Darstellung von Prag – sog. Breslauer Prospekt. Ausschnitt: Westteil der Kleinseite mit dem Strahower Tor.

Abb. 57. Prag 1-Kleinseite, Nerudova G., Parz.-Nr. 1001. Skizze der Mauerwerkabschnitte des Strahower Tors „bei der neuen Pflasterung der ganzen Straße im Frühjahr 1938“.

Übersetzung von Jindřich Noll

*Příspěvek vznikl v rámci dílčího cíle I.1 **Zpracování a vyhodnocení záchranných archeologických výzkumů NPÚ na vybraných nemovitých kulturních památkách, městských rezervacích, zónách a územích České republiky s dosud nechráněným archeologickým potenciálem** výzkumné oblasti VO I. Archeologie financované z institucionální podpory Ministerstva kultury na dlouhodobý koncepční rozvoj (IP DKRVO) a z rozpočtu NPÚ.*

PhDr. Jarmila ČIHÁKOVÁ, archeolog, cihakova.jarmila@npu.cz,
Národní památkový ústav, územní odborné pracoviště v Praze, Na Perštýně 356/12, CZ-110 00 Praha 1

Martin MÜLLER, geodet, muller.martin@npu.cz,
Národní památkový ústav, územní odborné pracoviště v Praze, Na Perštýně 356/12, CZ-110 00 Praha 1